

Conceitos Fundamentais - Um exemplo 1-D

1.1 Preliminares

Ingredientes do MEF para um PVC:

- # A formulação variacional (formulação fraca)
- # Forma aproximada da equação variacional através do uso de "funções de elementos finitos"

Exemplo

$$u_{,xx} + f = 0$$

$f: [0,1] \rightarrow \mathbb{R}$, f suficientemente suave

Condições de contorno (por exemplo):

$$\begin{aligned} u(1) &= g \\ -u_{,x}(0) &= h \end{aligned} \quad , \quad g, h \text{ constantes dadas.}$$

FORMA FORTE: $[0,1]$

Dado $f: \bar{\Omega} \rightarrow \mathbb{R}$, des g, h , ache $u: \bar{\Omega} \rightarrow \mathbb{R}$ tal que

$$u_{,xx} + f = 0$$

$$u(1) = g$$

$$-u_{,x}(0) = h$$

Soluc^o: $u(x) = g + (1-x)h + \int_x^1 \left\{ \int_0^y f(z) dz \right\} dy$

→ DIFERENÇAS FINITAS - aplicadas diretamente à forma forte!

1.2. Forma Variacional (Forma Fraca)

Necessário caracterizar 2 classes de funções:

Funções Teste (Candidatas)

• Satisfazem $u(1) = g$

• $\int_0^1 (u_x)^2 dx < \infty$, logo $u \in H^1$

Então

$$\mathcal{S} = \{ u \mid u \in H^1, u(1) = g \} \quad \text{"funções teste"}$$

Funções Peso (Variáveis)

$$\mathcal{V} = \{ w \mid w \in H^1, w(1) = 0 \}$$

Forma Fraca

Dado $f: \sqrt{2} \rightarrow \mathbb{R}$, des g, h , ache $u \in \mathcal{S}$ tal que $\forall w \in \mathcal{V}$

$$(W) \left\{ \int_0^1 w_x u_x dx = \int_0^1 w f dx + w(0) h \right.$$

Trabalhos virtuais, deslocamentos virtuais, etc.

Eqvao Variacional, Eqvao Trabalhos virtuais, etc.

1.3. Relação entre a Forma Forte e a Forma Fraca.

- Proposição:

a. Seja u solução de (S). Então u é solução de (W).

b. Seja u solução de (W). Então u é solução de (S).

- logo, (W) é equivalente a (S)!

Prova:

a. Assumindo que u é solução de (S),

$$0 = - \int_0^1 w(u, x_x + f) dx, \quad \forall w \in V$$

Integrando por partes,

$$0 = \int_0^1 w, x u, x dx - \int_0^1 w f dx - w u, x \Big|_0^1$$

Como $-u, x(0) = h$ e $w(1) = 0$

$$\int_0^1 w, x u, x dx = \int_0^1 w f dx + w(0) h.$$

Além disso, u é solução de (S) então $u(1) = g \Rightarrow u \in S$.

$\forall w \in V \Rightarrow u$ é solução de (W)!

b. Assumindo que u é solução de (W), $u \in S$ e

$u(1) = g$. logo,

$$\int_0^1 w, x u, x dx = \int_0^1 w f dx + w(0) h \quad \forall w \in V$$

Integrando por partes e lembrando que $w(1) = 0$,
tem-se:

$$0 = \int_0^1 w(u_{,xx} + f) dx + w(0) [u_{,x}(0) + h]$$

o que implica que:

i) $u_{,xx} + f = 0$ em Ω

ii) $u_{,x}(0) + h = 0$

Prova de i):

Definindo $w = \phi(u_{,xx} + f)$

ϕ suave; $\phi(x) > 0 \forall x \in \Omega =]0, 1[$, $\phi(0) = \phi(1) = 0$,
implica que $w(1) = 0 \Rightarrow w \in V$! Substituindo,

$$0 = \int_0^1 \underbrace{\phi(u_{,xx} + f)}_{0!}^2 dx + 0$$

Observações:

① $-u_{,x}(0) = h \rightarrow$ condição de contorno natural. Nas
aparecem em (W) .

$u(1) = g \rightarrow$ condição de contorno essencial

② $a(w, u) = \int_0^1 w_{,x} u_{,x} dx$

$(w, f) = \int_0^1 wf dx$

$a(w, u) = (w, f) + w(0)h$

onde $a(\cdot, \cdot)$ e (\cdot, \cdot) são formas BILINEARES e SIMÉTRICAS, isto é,

$$\begin{aligned} a(u, v) &= a(v, u) \\ (u, v) &= (v, u) \end{aligned} \quad \left. \vphantom{\begin{aligned} a(u, v) &= a(v, u) \\ (u, v) &= (v, u) \end{aligned}} \right\} \text{SIMETRIA}$$

$$\left. \begin{aligned} a(c_1 u_1 + c_2 u_2, w) &= c_1 a(u_1, w) + c_2 a(u_2, w) \\ (c_1 u_1 + c_2 u_2, w) &= c_1 (u_1, w) + c_2 (u_2, w) \end{aligned} \right\} \text{BILINEARIDADE}$$

3.4. Método Aproximado de Galerkin

$\left\{ \begin{aligned} S^h &\subset S \quad (\text{i.e., se } u^h \in S^h \Rightarrow u^h \in S) \\ V^h &\subset V \quad (\text{i.e., se } w^h \in V^h \Rightarrow w^h \in V) \end{aligned} \right\}$
 espaços de dimensão finita, associados a uma malha!

Logo, se $u^h \in S^h$ e $w^h \in V^h$ então:

$$u^h(1) = g \quad ; \quad w^h(1) = 0$$

As coleções S, V, S^h e V^h são ESPAÇOS DE FUNÇÕES.

$$\left\{ \begin{aligned} c_1, c_2 \text{ ctes; } v, w \in V &\Rightarrow c_1 v + c_2 w \in V \\ c_1, c_2 \text{ ctes, } v^h, w^h \in V^h &\Rightarrow c_1 v^h + c_2 w^h \in V^h \end{aligned} \right.$$

Entretanto esta propriedade não vale p/ S, S^h , devido a condição de contorno não homogênea.

Se $u_1, u_2 \in S$, $u_1 + u_2 \notin S$ já que

$$u_1(1) + u_2(1) = g + g = 2g \quad !!! \quad \text{O que viola a definição de } S!$$

Método de Galerkin

v^h dado. Então para cada $v^h \in V^h$ construímos uma função $u^h \in S^h$,

$$u^h = v^h + g^h$$

onde g^h é uma função dada satisfazendo a condição de contorno essencial, i.e.,

$$g^h(1) = g$$

Portanto $u^h(1) = v^h(1) + g^h(1) = 0 + g$. Logo, a menos da função g^h , S^h e V^h contêm as mesmas funções.

Forma variacional

$$a(w^h, u^h) = (w^h, f) + w^h(0)h$$

$$a(w^h, v^h + g^h) = (w^h, f) + w^h(0)h$$

$$a(w^h, v^h) = (w^h, f) + w^h(0)h - a(w^h, g^h)$$

Método de Galerkin

Dado f, g e h , ache $u^h = v^h + g^h$, $v^h \in V^h$ tal que, $\forall w^h \in V^h$

$$a(w^h, v^h) = (w^h, f) + w^h(0)h - a(w^h, g^h)$$

Observação

Outros métodos, por exemplo, PETROV-GALERKIN, $v^h \notin V^h$!

1.5. Forma Matricial - Matriz de Rigidez \tilde{K}

Definição de v^h

Suponha que

$$w^h = \sum_{A=1}^n c_A N_A = c_1 N_1 + c_2 N_2 + \dots + c_n N_n$$

onde N_A é uma função de interpolação (função de forma, base). Obviamente, $N_A: \bar{\Omega} \rightarrow \mathbb{R}$, e $N_A(1) = 0$, $A = 1, 2, \dots, n$.

Logo, $w^h(1) = 0$, como necessário.

O espaço V^h tem dimensão n .

Para definirmos S^h é necessário especificar g^h . Vamos introduzir outra função de interpolação,

$N_{n+1}: \bar{\Omega} \rightarrow \mathbb{R}$, tal que:

$$N_{n+1}(1) = 1$$

($N_{n+1} \notin V^h$!!!).

Logo:

$$g^h = g N_{n+1} \Rightarrow g(1) = g$$

$u^h \in S^h$ é:

$$u^h = v^h + g^h = \sum_{A=1}^n d_A N_A + g N_{n+1}$$

onde os d_A são des. Portanto

$$u(1) = g \quad (N_A(1) = 0, \forall A \text{ e } N_{n+1}(1) = 1 \text{ !})$$

Substituindo na equação de Galerkin,

$$a\left(\sum_{A=1}^n c_A N_A, \sum_{B=1}^n d_B N_B\right) = \left(\sum_{A=1}^n c_A N_A, f\right) + \left[\sum_{A=1}^n c_A N_A(0)\right] h \\ - a\left(\sum_{A=1}^n c_A N_A, g N_{n+1}\right)$$

Usando a bilinearidade de $a(\cdot, \cdot)$ e (\cdot, \cdot) , temos

$$0 = \sum_{A=1}^n c_A G_A$$

$$\text{onde } G_A = \sum_{B=1}^n a(N_A, N_B) d_B - (N_A, f) - N_A(0) h + \\ a(N_A, N_{n+1}) g$$

como todas as equações de Galerkin tem que ser
satisfeitas p/ $\forall w^h \in V^h \Rightarrow G_A, A=1, 2, \dots, n \equiv 0$
($c_A \equiv$ des arbitrárias!!)

$$\sum_{B=1}^n a(N_A, N_B) d_B = (N_A, f) + N_A(0) h - a(N_A, N_{n+1}) g$$

Em forma matricial

$$K_{AB} = a(N_A, N_B)$$

$$F_A = (N_A, f) + N_A(0)h - a(N_A, N_{n+1})g$$

ou

$$\sum_{B=1}^n K_{AB} d_B = F_A \quad , \quad A=1, 2, \dots, n$$

$$\underline{K} = [K_{AB}] = \begin{bmatrix} K_{11} & K_{12} & \dots & K_{1n} \\ K_{n1} & K_{n2} & \dots & K_{nn} \end{bmatrix}$$

$$\underline{F} = \{F_A\} = \{F_1, F_2, \dots, F_n\}^T$$

$$\underline{d} = \{d_B\} = \{d_1, d_2, \dots, d_n\}^T$$

$$\underline{K} \underline{d} = \underline{f}$$

$\underline{K} \equiv$ MATRIZ DE "RIGIDEZ"

$\underline{F} \equiv$ VETOR DE "FORÇAS"

$\underline{d} \equiv$ VETOR DE DESLOCAMENTOS

Forma matricial do Problema de Galerkin

Dados \underline{K} , \underline{F} ache \underline{d} tal que

$$(n) \left\{ \begin{array}{l} \underline{K} \underline{d} = \underline{F} \end{array} \right.$$

Soluc_oes : $\underline{d} = \underline{K}^{-1} \underline{F}$

$$u^h(x) = \sum_{A=1}^n d_A N_A(x) + g N_{n+1}(x)$$

Observa_oes

A soluc_oes de (W) e uma aproximac_oes da soluc_oes de (G). A qualidade da aproximac_oes depende da escolha de N_A e do n^o m_ultiplo n .

A matriz \underline{K} e simetrica :

$$\underline{K}_{AB} = a(N_A, N_B) = a(N_B, N_A) = \underline{K}_{BA}$$

$$\hookrightarrow \underline{K} = \underline{K}^T$$

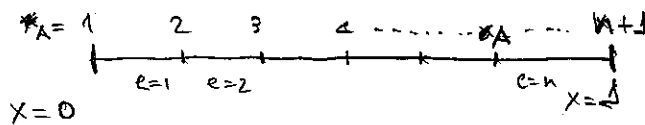
E conveniente na maioria das vezes escrever :

$$u^h(x) = \sum_{A=1}^{n+1} N_A(x) d_A$$

onde $d_{n+1} = g$

1.8. Espaços de Elementos Finitos - Funções lineares por partes

Seja o domínio $\bar{\Omega} = [0, 1]$. A malha de elementos finitos é definida como



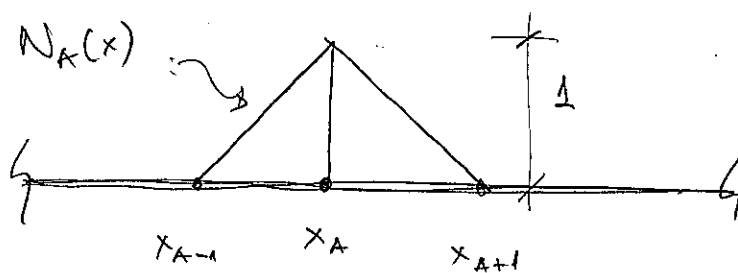
, $A=1, \dots, n+1 = \text{nos}$

$e = \text{elemento de tamanho}$

$$h_A = x_{A+1} - x_A$$

Funções de forma:

$$N_A(x) = \begin{cases} \frac{x - x_{A-1}}{h_{A-1}} & x_{A-1} \leq x \leq x_A \\ \frac{x_{A+1} - x}{h_A} & x_A \leq x \leq x_{A+1} \\ 0 & \text{elsewhere} \end{cases}$$

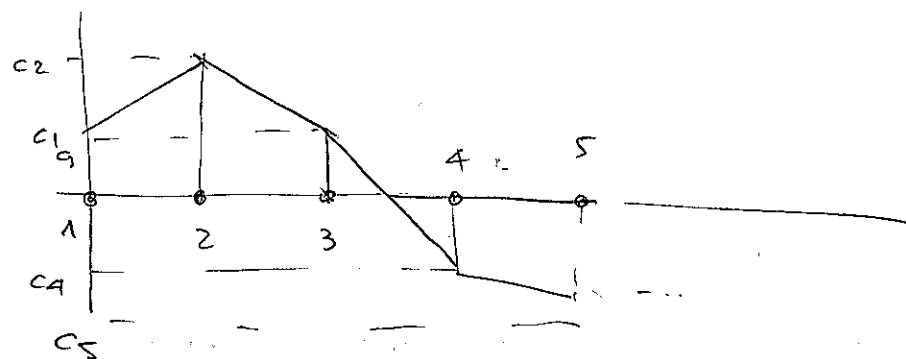


Note que $N_A(x_B) = \delta_{AB}$, ou seja

$$\begin{cases} N_A(x_B) = 1 & \text{se } A=B \\ N_A(x_B) = 0 & \text{se } A \neq B \end{cases}$$

Um membro típico de $w^h \in V^h$ tem a forma

$$\sum_{A=1}^n c_A N_A \text{ e pode ser representado por}$$



w^h é contínuo, porém tem derivada 1ª descontínua nos nós!

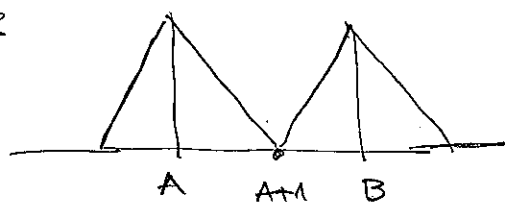
3.9. Propriedades de \underline{K}

Como as funções N_A , $A=1, 2, \dots, n+1$ são nulas fora dos vizinhos de A , muitos termos de \underline{K} são nulos.

Por exemplo:

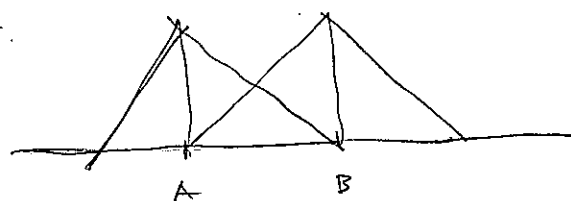
$$[K_{AB}] = \int_0^1 N_{A,x} N_{B,x} dx$$

Se



$$\Rightarrow [K_{AB}] = 0$$

Se



$$\Rightarrow [K_{AB}] \neq 0$$

13

Logo, \underline{K} tem a estrutura (caso 1-D !!!)

$$\underline{K} = \begin{bmatrix} k_{11} & k_{12} & & \\ k_{21} & k_{22} & k_{23} & \\ & k_{32} & k_{33} & \ddots \\ & & & \ddots & \ddots \end{bmatrix}$$

largura de Banda $LB=3$

Como veremos adiante, \underline{K} é uma matriz esparsa no caso geral, porém sempre com uma estrutura em banda. A largura de banda é obviamente o grau de esparsidade e funci da numeraçã dos nós da malha! Além disso, \underline{K} é positiva definida, ou seja,

$$i) \quad \underline{c}^T \underline{K} \underline{c} \geq 0 \quad \forall \underline{c} \in \mathbb{R}^n$$

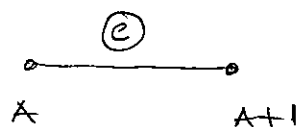
$$ii) \quad \underline{c}^T \underline{K} \underline{c} = 0 \Rightarrow \underline{c} = \underline{0}$$

Como consequência:

- 1) Uma matriz SPD possui uma única solução
- 2) Os autovalores de uma matriz PD são reais e positivos.

1.10. O Ponto de Vista do Elemento

O que é um elemento finito?



Elemento Finito 1D Linear - Descrição Global:

- (g1) Domínio $[x_A, x_{A+1}]$
- (g2) Nós $\{x_A, x_{A+1}\}$
- (g3) Graus de liberdade $\{d_A, d_{A+1}\}$
- (g4) Funções de Forma $\{N_A, N_{A+1}\}$
- (g5) Interpolação: $u^h(x) = N_A(x)d_A + N_{A+1}(x)d_{A+1}$,
 $x \in [x_A, x_{A+1}]$

Ou seja, um elemento finito 1D linear é apenas a restrição da função u^h (definida globalmente, isto é p/ todo o domínio) ao domínio do elemento. Sendo assim, pode-se introduzir uma descrição local do elemento, de forma a se padronizar os cálculos, com vistas à implementação computacional. Logo,

Descrição local :

- (l1) Domínio $[\xi_1, \xi_2]$
- (l2) Nos $\{\xi_1, \xi_2\}$
- (l3) Graus de liberdade $\{d_1, d_2\}$
- (l4) Funções de Forma $\{N_1, N_2\}$
- (l5) Função de interpolação

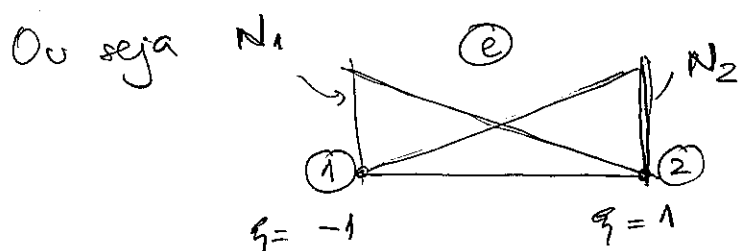
$$u^h(\xi) = N_1(\xi)d_1 + N_2(\xi)d_2$$

Onde existe a transformação entre

$$\xi: [x_A, x_{A+1}] \rightarrow [\xi_1, \xi_2] \text{ tal que}$$

$$\xi(x_A) = \xi_1 = -1$$

$$\xi(x_{A+1}) = \xi_2 = 1$$



Assumindo que ξ é dado por:

$$\xi(x) = c_1 + c_2 x$$

onde c_1, c_2 são constantes determinadas por,

$$\left\{ \begin{array}{l} -1 = c_1 + x_A c_2 \\ 1 = c_1 + x_{A+1} c_2 \end{array} \right. \Rightarrow \xi(x) = \frac{2x - x_A - x_{A+1}}{h_A}$$

$$x(\xi) = \frac{h_A \xi + x_A + x_{A+1}}{2}$$

~||~

Dai η frente

a, b, c, \dots	índices locais
A, B, C, \dots	índices globais
\odot^e	$\dots \rightarrow$ local

Na variável ξ , as funções de forma são:

$$N_a(\xi) = \frac{1}{2} (1 + \xi a \xi), \quad a = 1, 2$$

ou seja

$$N_1(\xi) = \frac{1}{2} (1 - \xi) \quad ; \quad N_2 = \frac{1}{2} (1 + \xi)$$

Por outro lado, é interessante notar que x pode ser escrito em função de N_a , isto é,

$$x^e(\xi) = \sum_{a=1}^2 N_a(\xi) x_a^e$$

~||~

$$\frac{1}{2} (1 - \xi) x_1 + \frac{1}{2} (1 + \xi) x_2 = \frac{1}{2} (x_1 - \xi x_1 + x_2 + \xi x_2) =$$

$$= \frac{1}{2} (x_1 + x_2 + \xi (x_2 - x_1)) = \frac{1}{2} (x_1 + x_2 + h \xi)$$

→ Note que:

$$u^h(\xi) = \sum_{a=1}^2 N_a(\xi) d_a !$$

X

17

1.11. Matriz de Rigidez do Elemento e Vetor de Forças

$$K_{AB} = a(N_A, N_B) = \int_0^1 N_{A,x} N_{B,x} dx \quad \Rightarrow \quad \underline{K} = [\underline{K}_{AB}]_{n \times n}$$

$$F_A = (N_A, f) + S_{A1} h - a(N_A, N_{n+1}) g =$$

$$= \int_0^1 N_A f dx + S_{A1} h - \int_0^1 N_{A,x} N_{n+1,x} dx g \Rightarrow \underline{F} = \{\underline{F}_A\}_{n \times 1}$$

$$\rightarrow (N_A(x_1) \equiv S_{A1})!$$

Entretanto, as integrais em $\bar{\Omega}$ podem ser feitas como uma soma das integrais nos domínios dos elementos, isto é,

$$\underline{K} = \sum_{e=1}^{nel} \underline{K}^e, \quad \underline{K}^e = [\underline{K}_{AB}^e]$$

$$\underline{F} = \sum_{e=1}^{nel} \underline{F}^e; \quad \underline{F}^e = \{\underline{F}_A^e\}$$

onde

$$K_{AB}^e = a(N_A, N_B)^e = \int_{\Omega^e} N_{A,x} N_{B,x} dx$$

$$F_A^e = \int_{\Omega^e} N_A f dx + S_{e1} S_{A1} h - \int_{\Omega^e} N_{A,x} N_{n+1,x} dx g$$

onde $\Omega^e = [x_1^e, x_2^e] \equiv$ domínio do elemento.

Logo, agora podemos definir a matriz de rigidez do elemento, \underline{k}^e e o vetor de forças do elemento, \underline{f}^e :

$$\underline{k}^e = [k_{ab}^e]_{2 \times 2}; \quad \underline{f}^e = \{f_a^e\}_{2 \times 1}$$

$$k_{ab}^e = a(N_a, N_b)^e = \int_{\Omega^e} N_{a,x} N_{b,x} dx$$

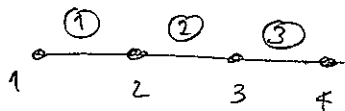
$$f_a^e = \int_{\Omega^e} N_a f dx + \begin{cases} \delta a_1 h & e=1 \\ 0 & e=2, 3, \dots, n_{el}-1 \\ -k_{a2}^e g & e=n_{el} \end{cases}$$

1.12. Montagem da Matriz de Rigidez Global e do Vetor de Forças Global; O anexo LM.

Em um programa de elementos finitos, existe uma rotina responsável por gerar as matrizes de rigidez e o vetor de forças dos elementos, e gerar os dados necessários à montagem da matriz de rigidez global e do vetor de forças global. Para tanto, é necessário um "mapa" das informações locais \leftrightarrow globais, isto é, uma matriz de localização, definida como,

$$A = LM(\underline{e}, a) = \begin{cases} e & \text{se } a=1 \\ e+1 & \text{se } a=2 \end{cases}$$

Example:



Elemento	No1	No2
1	1	2
2	2	3
3	3	4

} LM

$$\underline{k}^1, \underline{k}^2, \underline{k}^3, \underline{f}^1, \underline{f}^2, \underline{f}^3$$

$$\underline{K} = \begin{bmatrix} & 1 & 2 & 3 & 4 \\ 1 & k_{11}^1 & k_{12}^1 & & \\ 2 & k_{21}^1 & k_{22}^1 + k_{11}^2 & k_{12}^2 & \\ 3 & & k_{21}^2 & k_{22}^2 + k_{11}^3 & k_{12}^3 \\ 4 & & & k_{21}^3 & k_{22}^3 \end{bmatrix} \Rightarrow \underline{K} = \underset{e=1}{\overset{nel}{A}}(\underline{k}^e)$$

$$\underline{F} = \begin{bmatrix} 1 & f_1^1 \\ 2 & f_2^1 + f_1^2 \\ 3 & f_2^2 + f_1^3 \\ 4 & f_2^3 \end{bmatrix} \Rightarrow \underline{F} = \underset{e=1}{\overset{nel}{A}}(\underline{f}^e)$$

1.13. Cálculo da Matriz de Rigidez e do Vetor de Forças dos Elementos.

→ Troca de variáveis

$$\int_{x_1}^{x_2} f(x) dx = \int_{\xi_1}^{\xi_2} f(x(\xi)) x_{,\xi} d\xi \quad , \quad x_{,\xi} \equiv \text{Jacobiano da Transformação}$$

→ Regra da Cadeia

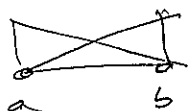
$$\frac{\partial f}{\partial \xi} = f_{,x} x_{,\xi} = \frac{\partial f}{\partial x} \frac{\partial x}{\partial \xi}$$

Com esses dois ingredientes,

$$k_{ab}^e = \int_{\Omega^e} N_{a,x} N_{b,x} dx = \int_{-1}^1 N_{a,x}(\xi) N_{b,x}(\xi) x_{,\xi} d\xi =$$

$$= \int_{-1}^1 \frac{N_{a,\xi}(\xi)}{x_{,\xi}} \frac{N_{b,\xi}(\xi)}{x_{,\xi}} x_{,\xi} d\xi = \int_{-1}^1 N_{a,\xi} N_{b,\xi} \frac{1}{x_{,\xi}} d\xi$$

lembrando que,



$$N_a = \frac{1}{2}(1-\xi) \quad ; \quad N_b = \frac{1}{2}(1+\xi)$$

$$N_{a,\xi} = -\frac{1}{2} \quad ; \quad N_{b,\xi} = \frac{1}{2}$$

$$x_{,\xi} = \frac{h^e}{2}$$

Logo,

$$k_{11}^e = \int_{-1}^1 N_{1,\xi} N_{1,\xi} \cdot \frac{2}{h^e} d\xi = \int_{-1}^1 \left(-\frac{1}{2}\right) \left(-\frac{1}{2}\right) \cdot \frac{2}{h^e} dx = \frac{1}{h^e}$$

$$k_{12}^e = \int_{-1}^1 N_{1,\xi} N_{2,\xi} \cdot \frac{2}{h^e} d\xi = \int_{-1}^1 \left(\frac{1}{2}\right) \left(-\frac{1}{2}\right) \frac{2}{h^e} dx = -\frac{1}{h^e}$$

$$k_{21}^e = \int_{-1}^1 N_{2,\xi} N_{1,\xi} \frac{2}{h^e} d\xi = -\frac{1}{h^e}$$

$$k_{22}^e = \int_{-1}^1 N_{2,\xi} N_{2,\xi} \frac{2}{h^e} d\xi = \frac{1}{h^e}$$

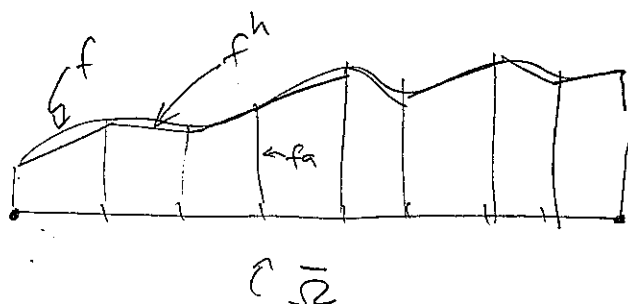
$$\underline{k}^e = \frac{1}{h^e} \begin{bmatrix} 1 & -1 \\ -1 & 1 \end{bmatrix}$$

É interessante notar que $N_{a,\xi}, N_{b,\xi}$ NÃO dependem dos dados do elemento, uma vez que $N_a = N_a(\xi)$. Tal nos ocorre com as "derivadas" $x',_\xi$ e ξ, x que dependem do elemento em questão.

O cálculo de f^e não pode ser efetuado sem se conhecer a forma de $f(x)$. Entretanto, na prática é comum aproximar-se a função $f(x)$. A forma mais simples é:

$$f^h = \sum_{a=1}^2 f_a N_a \quad , \quad f_a = f(x(\xi_a))$$

isto nos conduz a,



onde agora apenas os valores nodais de f (f_a 's) se necessáries. Portanto,

$$[f^e]_x = f_a \int_{\Omega^e} N_a N_b dx = f_a \int_{-1}^1 N_a(\xi) N_b(\xi) x_{, \xi} d\xi \quad a, b = 1, 2$$

$$f^e = \frac{h^e}{6} \begin{bmatrix} 2 & 1 \\ 1 & 2 \end{bmatrix} \begin{Bmatrix} f_1 \\ f_2 \end{Bmatrix} = \frac{h^e}{6} \begin{Bmatrix} 2f_1 + f_2 \\ f_1 + 2f_2 \end{Bmatrix} + \text{termos do contorno.}$$

→ Solução do Sistema de Equações: Eliminação de Gauss.

⇒ Lista de exercícios:

(i) $\frac{d^2 u}{dx^2} + u + 1 = 0$, $\bar{\Omega} = [0, 1]$
 $u(0) = 0$; $du/dx|_{x=1} = 1$; $h_1 = h_2 = h_3 = 1/3$

(ii) $\frac{d^2 u}{dx^2} + u + 1 = 0$; $\bar{\Omega} = [0, 1]$
 $u(0) = 0$; $\frac{du}{dx}|_{x=1} = -u$; $h_1 = h_2 = h_3 = 1/3$

(iii) $k(x) \frac{d^2 u}{dx^2} = 0$; $\bar{\Omega} = [0, 1]$
 $u(0) = 0$; $u(1) = 1$; $k(x) = \begin{cases} 1 & ; x < 1/2 \\ 2 & ; x > 1/2 \end{cases}$
 $h_1 = h_2 = h_3 = h_4 = 1/4$

$$(iv) \quad \frac{du}{dx} + \varepsilon \frac{d^2 u}{dx^2} + \sigma u = 0, \quad \bar{\Omega} = [0, 1]$$

$$u(0) = 0, \quad u(1) = 1$$

$$\varepsilon \ll 1, \quad \begin{cases} \sigma = O(1), \sigma > 0 \\ \sigma = 0 \\ \sigma = O(1), \sigma < 0 \end{cases}$$

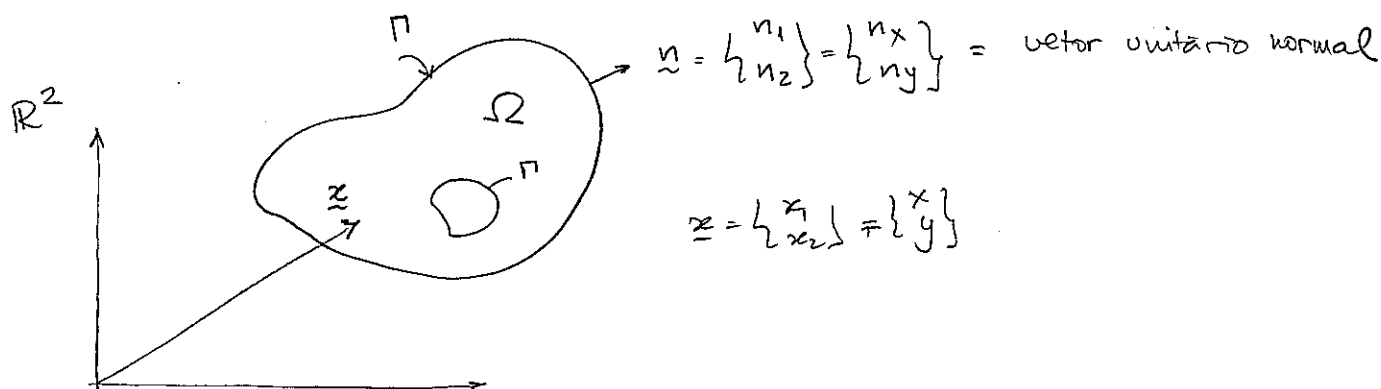
Escolher (i) / (ii)

(iii) + (iv)

2. Formulação de PVC em 2 e 3 Dimensões - Condução de Calor

2.1. Preliminares

$n_{sd} = 2, 3 \rightarrow$ número de dimensões



$$\Omega \subset \mathbb{R}^{n_{sd}}$$

Γ : contorno de Ω

$$\hookrightarrow \Gamma = \overline{\Gamma_g \cup \Gamma_h} ; \Gamma_g \cap \Gamma_h = \emptyset$$

(A barra significa conjunto fechado) $\Rightarrow \bar{\Omega} = \Omega \cup \Gamma$

$$\parallel u_{,i} = u_{,i} = \frac{\partial u}{\partial x_i}$$

$$\parallel u_{,ii} = u_{,11} + u_{,22} + u_{,33} = \frac{\partial^2 u}{\partial x^2} + \frac{\partial^2 u}{\partial y^2} + \frac{\partial^2 u}{\partial z^2}$$

Teorema da Divergência

seja $f: \bar{\Omega} \rightarrow \mathbb{R}$, f de classe C^1 (1° derivada contínua), então

$$\boxed{\int_{\Omega} f_{,i} d\Omega = \int_{\Gamma} f n_i d\Gamma}$$

Integração por Partes

Seja f como antes, e $g: \bar{\Omega} \rightarrow \mathbb{R}$, g também C^1 , então

$$\boxed{\int_{\Omega} f_{,i} g \, d\Omega = - \int_{\Omega} f g_{,i} + \int_{\Gamma} f g n_i \, d\Gamma}$$

————//————

$$(fg)_{,i} = f_{,i} g + f g_{,i}$$

$$\text{Integrando} \rightarrow \underbrace{\int_{\Omega} (fg)_{,i} \, d\Omega}_{=} = \int_{\Omega} f_{,i} g \, d\Omega + \int_{\Omega} f g_{,i} \, d\Omega$$

$$\underbrace{\int_{\Gamma} f g n_i \, d\Gamma}_{=}$$

2.2. Condução de Calor - Forma Forte e Fraca.

$$\begin{cases} q_i \rightarrow \text{componentes cartesianas do vetor de fluxo de calor} \\ u \rightarrow \text{temperaturas} \\ f \rightarrow \text{calor aplicado por unidade de volume} \end{cases}$$

Lei de Fourier Generalizada:

$$\boxed{q_i = -k_{ij} u_{,j}} \quad , \quad k_{ij} = k_{ji} \quad (\text{simetria})$$

↳ EQUAÇÃO CONSTITUTIVA, EQUAÇÃO DE ESTADO

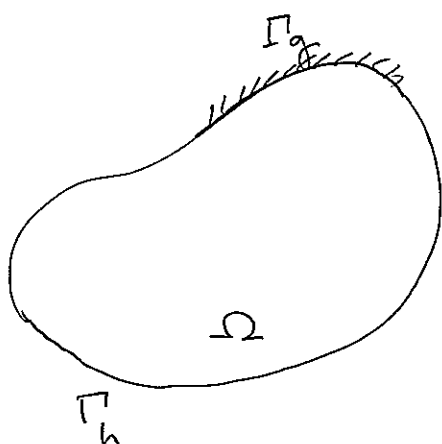
$k_{ij} = k_{ij}(\underline{x}) = \text{condutividades térmicas}$

$$\begin{cases} \text{se } k_{ij} \text{ é cte em } \Omega \Rightarrow \text{material homogêneo} \\ \text{se } k_{ij} = k(\underline{x}) \delta_{ij} \text{ em } \Omega \Rightarrow \text{material isotrópico} \end{cases}$$

Forma Forte

(S) Dado $f: \Omega \rightarrow \mathbb{R}$, $g: \Gamma_g \rightarrow \mathbb{R}$ e $h: \Gamma_h \rightarrow \mathbb{R}$, ache $u: \bar{\Omega} \rightarrow \mathbb{R}$, tal que:

$$\begin{aligned} q_{i,i} &= f \text{ em } \Omega && \text{(equação do calor)} && (a) \\ u &= g \text{ em } \Gamma_g && && (b) \\ -q_i n_i &= h \text{ em } \Gamma_h && && (c) \end{aligned}$$



g - temperaturas prescritas no contorno

h - fluxos de calor prescritos no contorno

Em uma outra terminologia, temos

- (a) Equação de Poisson generalizada
- (b) Condição de contorno de Dirichlet
- (c) Condição de contorno de Neumann.

Exemplo: Caso homogêneo e isotrópico:

$$q_x = -k \frac{\partial u}{\partial x} ; \quad q_y = -k \frac{\partial u}{\partial y}$$

$$q_{i,x} = -k \frac{\partial^2 u}{\partial x^2} ; \quad q_{i,y} = -k \frac{\partial^2 u}{\partial y^2}$$

$$q_{i,i} = q_{x,x} + q_{y,y} = -k \frac{\partial^2 u}{\partial x^2} - k \frac{\partial^2 u}{\partial y^2} = f$$

$$\boxed{\frac{\partial^2 u}{\partial x^2} + \frac{\partial^2 u}{\partial y^2} + \frac{f}{k} = 0} \quad \text{ou} \quad \boxed{-\nabla^2 u = f}$$

Forma Fraca

A construção da forma fraca é feita da mesma forma que no caso 1-D. Em particular, as condições de contorno de Dirichlet e Neumann serão tratadas respectivamente como condições essenciais e naturais da formulação variacional.

$$\left\{ \begin{array}{l} S \rightarrow \text{espaço das funções teste} \\ V \rightarrow \text{espaço das funções peso} \end{array} \right. \Rightarrow \text{definidas em } \bar{\Omega}$$

Logo, $\forall u \in S$, $u = g$ em Γ_g

$\forall w \in V$, $w = 0$ em Γ_g

Dado $f: \Omega \rightarrow \mathbb{R}$, $g: \Gamma_g \rightarrow \mathbb{R}$ e $h: \Gamma_h \rightarrow \mathbb{R}$, ache $u \in S$, tal que, $\forall w \in V$,

(W)

$$-\int_{\Omega} w_{,i} q_i d\Omega = \int_{\Omega} w f d\Omega + \int_{\Gamma_h} w h d\Gamma$$

ou, substituindo a Lei de Fourier,

$$\int_{\Omega} \underbrace{w_{,i} k_{ij} u_{,j}}_{a(w,u)} d\Omega = \int_{\Omega} \underbrace{w f}_{(w,f)} d\Omega + \int_{\Gamma_h} \underbrace{w h}_{(w,h)_{\Gamma}} d\Gamma$$

$$a(w,u) = (w,f) + (w,h)_{\Gamma}$$

Exercício 1 - Hughes
 ← Prove que as formas são bilineares e simétricas!

Notação matricial ($n_{sd}=2$)

$$\nabla u = \{u_{,i}\} = \begin{Bmatrix} u_{,1} \\ u_{,2} \end{Bmatrix} \equiv \text{gradiente} = \begin{Bmatrix} \partial/\partial x \\ \partial/\partial y \end{Bmatrix}$$

$$\nabla w = \{w_{,i}\} = \begin{Bmatrix} w_{,1} \\ w_{,2} \end{Bmatrix}$$

$$[k_{ij}] = \underline{k} = \begin{bmatrix} k_{11} & k_{12} \\ k_{21} & k_{22} \end{bmatrix} \quad (\text{simétrica} \rightarrow k_{12} = k_{21})$$

• Isotrópico: $\underline{k} = k \begin{bmatrix} 1 & 0 \\ 0 & 1 \end{bmatrix}$

• Ortotrópico: $\underline{k} = \begin{bmatrix} k_1 & 0 \\ 0 & k_2 \end{bmatrix}$

$$w_{,i} k_{ij} u_{,j} = (\nabla w)^T \underline{k} \nabla u$$

1x2 2x2 2x1

$$w_{,1} k_{11} u_{,1} + w_{,1} k_{12} u_{,2} + w_{,2} k_{21} u_{,1} + w_{,2} k_{22} u_{,2}$$

$$\underline{k} \nabla u = \begin{Bmatrix} k_{11} u_{,1} + k_{12} u_{,2} \\ k_{21} u_{,1} + k_{22} u_{,2} \end{Bmatrix}$$

$$(\nabla w)^T \underline{k} \nabla u = w_{,1} k_{11} u_{,1} + w_{,1} k_{12} u_{,2} + w_{,2} k_{21} u_{,1} + w_{,2} k_{22} u_{,2}$$

Portanto:

$$a(w, u) = \int_{\Omega} (\nabla w)^T \underline{k} \nabla u \, d\Omega$$

Exercício 2 - pg. 64!

2.3. Condução de Calor: Formulação de Galerkin; 28

\underline{K} - matriz SPD.

Sejam $S^h \subset S$ e $V^h \subset V$ espaços de dimensão finita. Assume-se que $\forall w^h \in V^h$, $w^h = 0$ em Γ_g de forma exata, ou ao menos, aproximada. Assume-se também que $\forall u^h \in S^h$,

$$u^h = v^h + g^h$$

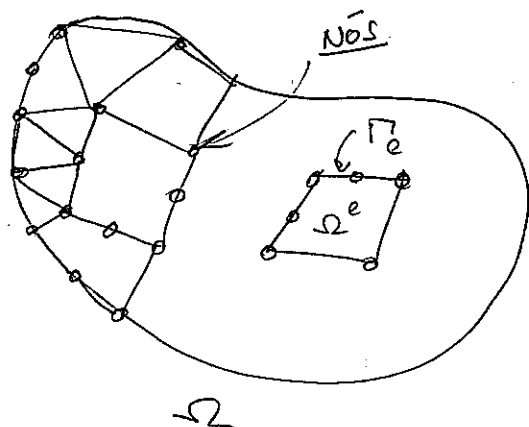
onde $v^h \in V^h$ e g^h satisfaz, ao menos aproximadamente a condição de contorno $u = g$ em Γ_g .

A formulação de Galerkin é,

Dados f, g e h como em (W), ache $u^h = v^h + g^h \in S^h$, tal que, $\forall w^h \in V^h$,

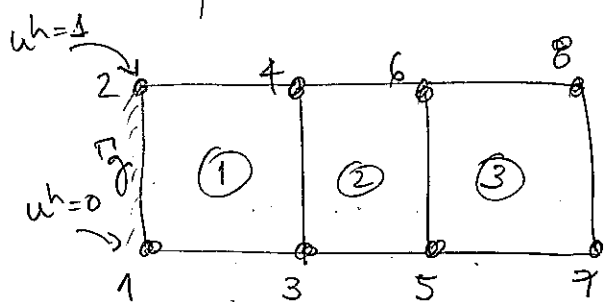
$$a(w^h, v^h) = (w^h, f) + (w^h, h)_\Gamma - a(w^h, g^h)$$

onde agora o domínio Ω é discretizado em elementos Ω^e , tal que $\bigcup_{e=1}^{nel} \Omega^e \equiv \Omega$, $\Omega_i^e \cap \Omega_j^e = \emptyset$



Seja $\eta = \{1, 2, \dots, n_{\eta}\} \rightarrow$ conjunto de número de nós e
 um g -nó, um nó tal que $u^h = g$, ou seja, um nó
 com uma condição de contorno de temperatura específica.
 Logo, o conjunto de g -nós é $n_g \subset \eta$. O complemento
 de n_g em η , $\eta - n_g$, é o conjunto de nós para
 o qual u^h deve ser determinado. O número de
 nós em $\eta - n_g$ é igual a n_{η} , o número de equações.

Exemplo:



$$\eta = \{1, 2, 3, 4, 5, 6, 7, 8\}$$

$$n_g = \{1, 2\}$$

$$\eta - n_g = \{3, 4, 5, 6, 7, 8\} \Rightarrow n_{\eta} = 6$$

~||~

Um membro típico de v^h tem a forma,

$$w^h(x) = \sum_{A \in \eta - n_g} N_A(x) c_A$$

onde $N_A \equiv$ função de forma \forall o nó A e $c_A = \text{cte.}$

$w^h = 0$ se e somente se $c_A = 0 \forall A \in \eta - n_g$.

De forma semelhante,

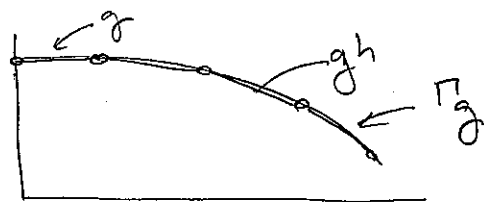
$$w^h(\underline{x}) = \sum_{A \in \eta - \eta_g} N_A(\underline{x}) d_A$$

onde d_A é a incógnita nodal no nó A (ou seja, a temperatura nodal), e,

$$g^h(\underline{x}) = \sum_{A \in \eta_g} N_A(\underline{x}) g_A$$

$$g_A = g(\underline{x}_A)$$

onde a função prescrita no contorno foi aproximada da mesma forma que w^h . Isto implica que a condição de contorno será satisfeita de forma aproximada



Substituindo as expressões no problema (G),

$$\sum_{B \in \eta - \eta_g} a(N_A, N_B) d_B = (N_A, f) + (N_A, h)_{\Gamma} - \sum_{B \in \eta_g} a(N_A, N_B) g_B$$

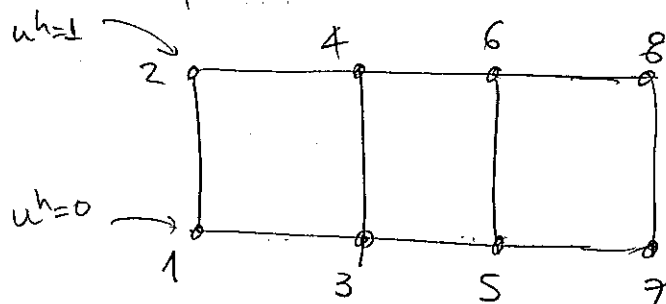
$$A \in \eta - \eta_g$$

De maneira a definir a matriz: de rigidez global e o vetor de forças, é necessário especificar uma numeração global para as equações. Com esse propósito, introduzimos o arranjo ID, frequentemente chamado de arranjo de "destinação" (destination array), que atribui ao nó A sua correspondente equação global, isto é,

$$ID(A) = \begin{cases} D & \text{se } A \in \eta - \eta_g \\ 0 & \text{se } A \in \eta_g \end{cases}$$

← número da equação global

Exemplo:



$$\eta = \{1, 2, 3, 4, 5, 6, 7, 8\}$$

$$\eta_g = \{1, 2\}$$

$$\eta - \eta_g = \{3, 4, 5, 6, 7, 8\}, \quad n_{\eta} = 6$$

η	Equação Global	$\equiv ID(n_{\eta})$
1	0	
2	0	
3	1	
4	2	
5	3	
6	4	
7	5	
8	6	

Logo, g-nos. nos são "ativos", isto é, suas equações são 0!

De forma matricial as expressões de Galerkin ficam,

$$\boxed{\underline{K} \underline{d} = \underline{f}}$$

$$\begin{cases} \underline{K} = [K_{PQ}] = a(N_A, N_B) \\ \underline{d} = \{d_\alpha\} \\ \underline{F} = \{F_P\} = (N_A, f) + (N_A, h) \Pi - \sum_{B \in \eta_g} a(N_A, N_B) g_B \end{cases}$$

$$P = \text{ID}(A) ; Q = \text{ID}(B)$$

Novamente, \underline{K} é SPD!

(i) Simetria

$$K_{PQ} = a(N_A, N_B) = a(N_B, N_A) = K_{QP}$$

$$(ii) \text{ PD. } \begin{cases} \underline{c}^T \underline{K} \underline{c} \geq 0 \\ \underline{c}^T \underline{K} \underline{c} = 0, \quad \underline{c} = \underline{0} \end{cases}$$

Observação:

\underline{K} é PD como consequência de que \underline{K} , a matriz constitutiva, é PD!

2.4. Condução de Calor: Matriz de Rigidez de Elemento e Vetor de Forças. 33

Como anteriormente,

$$\underline{K} = \sum_{e=1}^{nel} \underline{K}^e ; \quad \underline{K}^e = [K_{PQ}^e] \quad \begin{matrix} P=ID(A) \\ Q=ID(B) \end{matrix}$$

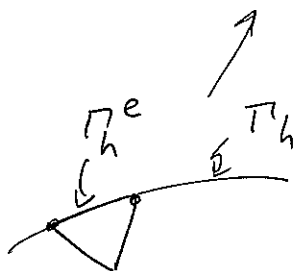
$$\underline{F} = \sum_{e=1}^{nel} \underline{F}^e ; \quad \underline{F}^e = \{F_P^e\}$$

onde,

$$K_{PQ}^e = a(N_A, N_B)^e = \int_{\Omega^e} (\nabla N_A)^T \underline{K} (\nabla N_B) d\Omega$$

$$F_P^e = (N_A, f)^e + (N_A, h)_{\Gamma^e} - \sum_{B \in \eta_f} a(N_A, N_B)^e g_B =$$

$$= \int_{\Omega^e} N_A f d\Omega + \int_{\Gamma_h^e} N_A h d\Gamma - \sum_{B \in \eta_f} a(N_A, N_B)^e g_B$$



Das equações acima, podemos deduzir as expressões para a matriz de rigidez dos elementos e do vetor de forças:

$$\underline{k}^e = [k_{ab}^e] \quad \underline{f}^e = \{f_a^e\}, \quad 1 \leq a, b \leq n_{en}$$

$$k_{ab}^e = a(N_a, N_b)^e = \int_{\Omega^e} (\nabla N_a)^T \underline{k} (\nabla N_b) d\Omega$$

$$f_a^e = \int_{\Omega^e} N_a f d\Omega + \int_{\Gamma_h^e} N_a h d\Gamma - \sum_{b=1}^{n_{en}} k_{ab}^e g_b^e$$

onde $n_{en} \equiv$ número de nós do elemento e

$g_b^e = g(\underline{x}_b^e)$ se g é prescrita no nó b , e $= 0$ em caso contrário. De maneira equivalente, a matriz global pode ser escrita da contribuição dos elementos através do "assembly",

$$\underline{K} = \sum_{e=1}^{n_{el}} \underline{A}^e \underline{k}^e; \quad \underline{F} = \sum_{e=1}^{n_{el}} \underline{A}^e \underline{f}^e$$

A matriz de rigidez do elemento pode também ser escrita na forma,

$$\underline{k}^e = \int_{\Omega^e} \underline{B}^T \underline{D} \underline{B} d\Omega$$

onde, no caso, $\underline{D} = \underline{k}$ de ordem $n_{sd} \times n_{sd}$ e,

$$\underline{B} = [\underline{B}_1, \underline{B}_2, \dots, \underline{B}_{n_{en}}] \quad ; \quad \underline{B}_a = \nabla N_a$$

$n_{sd} \times 1$

$n_{sd} \times n_{en}$

↗ Verifique!!

2.5. Condução de Calor : Arranjos de Dados - ID, IEN, LM.

Os dados dos elementos são armazenados no arranjo IEN - arranjo de nós do elemento, ou arranjo de incidências, ou arranjo de conectividades.

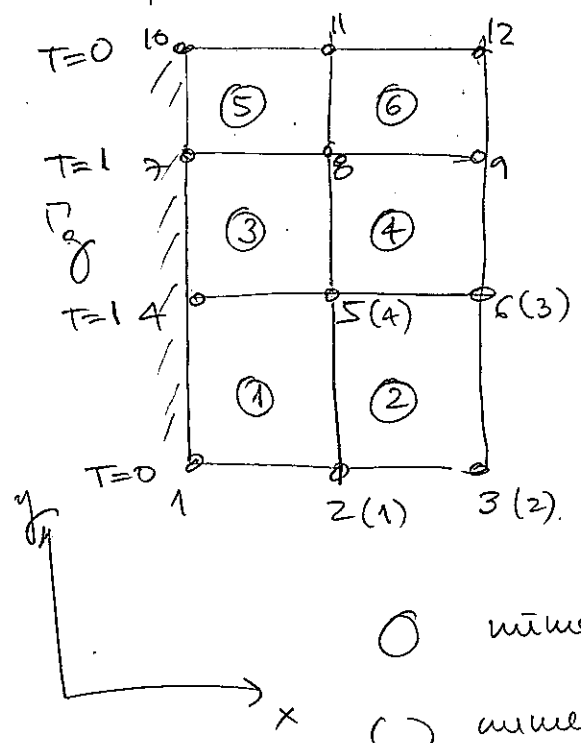
$$IEN(e, a) = A$$

\uparrow número do elemento \uparrow número local do nó \leftarrow número global do nó

A matriz de localização é agora construída da relação:

$$LM(e, a) = ID(IEN(a, e))$$

Exemplo 1.



$$\eta = \{ 1, 2, \dots, 12 \}$$

$$\eta_g = \{ 1, 4, 7, 10 \}$$

- O número dos elementos
- () numeração local dos nós do elemento

Arrayo ID - leitura dos nós

No	ID	X	Y
1	1	x_1	y_1
2	0	x_2	y_2
3	0	x_3	y_3
4	-1	x_4	y_4
5	0	x_5	y_5
6	0	x_6	y_6
7	-1	x_7	y_7
8	0	x_8	y_8
9	0	x_9	y_9
10	1	x_{10}	y_{10}
11	0	x_{11}	y_{11}
12	0	x_{12}	y_{12}

ID = 0 não livre

ID = 1 não permitido

Internamente

	1	2	3	4	5	6	7	8	9	10	11	12
ID ⁺ =	0	1	2	0	3	4	0	5	6	0	7	8

$n_{up} = 12$

$n_{eq} = 8$

Arrayo IEN

elemento	numeração	local
	N01	N02
1	1	2
2	2	3
3	4	5
4	5	6
5	7	8
6	8	9

IEN(6,4)

Arranjo LM

elemento numeracao local

 No1 No2 No3 No4

1	0	1	3	0
2	1	2	4	3
3	0	3	5	0
4	3	4	6	5
5	6	5	7	6
6	5	6	8	7

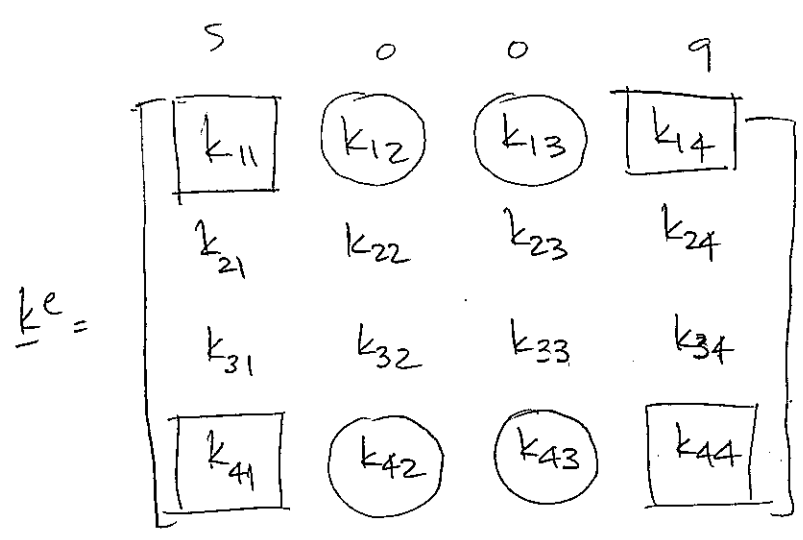
LM(6,4)

$$g_a^e = \begin{cases} 0 & \text{se } LM(e,a) \neq 0 \\ g_a & \text{se } LM(e,a) = 0, A = 1 \in N(e,a) \end{cases}$$

Exemplo 2. Assemblying.

Fazer Equacao 1 pg. 75!

$$LM(e,4) \equiv \begin{bmatrix} 5 & 0 & 0 & 9 \end{bmatrix}$$



$\underline{f}^e =$

$$\begin{bmatrix} \langle f_1^e \rangle \\ f_2^e \\ f_3^e \\ \langle f_4^e \rangle \end{bmatrix}$$

\square contribuem p/ \underline{K} $\langle \rangle$ contribuem p/ \underline{F}

\bigcirc contribuem p/ $\underline{F} \rightarrow -k_{ab} g_b^e$

2-6. Sumário

2. Condução de calor clássica

$$(S) \quad \left\{ \begin{array}{l} q_{i,i} = f \quad \text{em } \Omega \\ u = g \quad \text{em } \Gamma_g \\ -q_{i,n_i} = h \quad \text{em } \Gamma_h \\ \text{onde } q_i = k_{ij} u_{,j} \end{array} \right.$$

$$(w) \quad \left\{ \begin{array}{l} \text{Ache } u \in S, \text{ tal que } \forall w \in V \\ a(w, u) = (w, f) + (w, h)_\Gamma \\ \text{onde} \\ a(w, u) = \int_{\Omega} w_{,i} k_{ij} u_{,j} d\Omega \\ (w, f) = \int_{\Omega} w f \\ (w, h)_\Gamma = \int_{\Gamma} w h d\Gamma \end{array} \right.$$

$$(G) \quad \left\{ \begin{array}{l} \text{Ache } v^h \in S^h, \text{ tal que } \forall w^h \in V^h \\ a(w^h, v^h) = (w^h, f) + (w^h, h)_\Gamma - a(w^h, g^h) \end{array} \right.$$

$$(M) \quad \left\{ \begin{array}{l} \underline{K} \underline{d} = \underline{F}, \text{ onde } \underline{K} = \sum_{e=1}^{nen} \underline{A}^e \underline{k}^e; \underline{F} = \underline{F}_{nodal} + \sum_{e=1}^{nen} \underline{A}^e (\underline{f}^e) \\ \underline{k}^e = \int_{\Omega} \underline{B}^T \underline{D} \underline{B} d\Omega; \\ [\underline{f}^e]_a = \int_{\Omega^e} \underline{N}_a f d\Omega + \int_{\Gamma_h^e} \underline{N}_a h d\Gamma - \sum_{b=1}^{nen} k_{ab}^e g_b^e \end{array} \right.$$

3. Elementos Isoparamétricos e Conceitos de Programação de Elementos

3.1. Preliminares

- Funções de interpolação N tem que ser tais que:

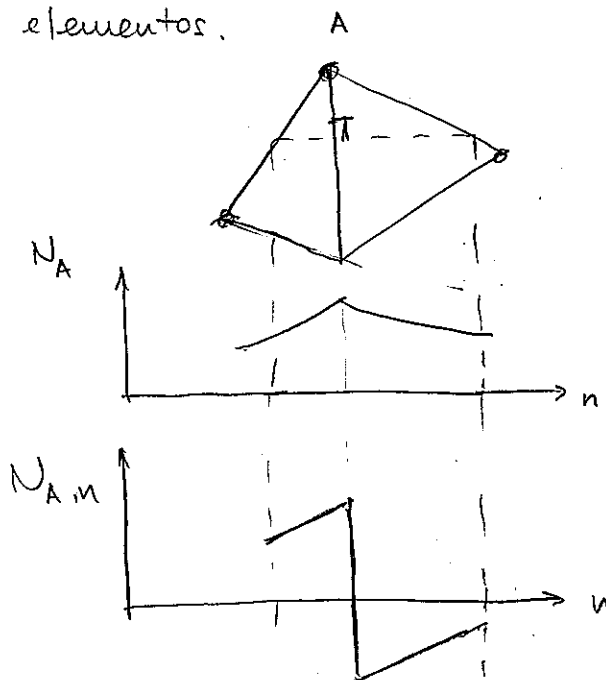
$$h \rightarrow 0 \Rightarrow u^h \rightarrow u !$$

- Condições suficientes:

- C1. N_a tem que ser suave (ao menos C^1) em Ω^e .
- C2. N_a tem que ser contínua em Γ^e .
- C3. N_a tem que ser COMPLETA.

Observações

1. As condições C1-C3 podem ser violadas. Existem elementos, chamados NAO-CONFORMES que violam estas condições e são convergentes.
2. As condições C1 e C2 garantem que $N_{,i}$ tem, no pior caso, um salto finito na interface dos elementos.



Portanto, as integrais que envolvem N_A são bem definidas.

3. As funções N_A que satisfazem C1 e C2 são de classe $C^0(\bar{\Omega})$. Elementos finitos construídos com estas funções são elementos C^0 .
4. Se os integrandos envolvem derivadas de ordem m , a condição C1 implica em continuidade C^m em Ω^e e a condição C2 implica em continuidade C^{m-1} ao longo de Γ^e . Elementos finitos que satisfazem esta propriedade são ditos CONFORMES ou COMPATÍVEIS.

Completude

Seja a interpolação no e -ésimo elemento

$$u^h = \sum_{a=1}^{n_{en}} N_a d_a^e$$

onde $d_a^e = u^h(x_a^e)$, temperaturas nodais. Para o caso de $n_{en} = 3$, as funções de interpolação são ditas completas se,

$$d_a^e = c_0 + c_1 x_a^e + c_2 y_a^e + c_3 z_a^e$$

implica em

$$u^h(\mathbf{x}) = c_0 + c_1 x + c_2 y + c_3 z$$

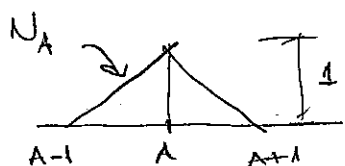
onde c_0, \dots, c_3 são constantes arbitrárias. Em outras

palavras, a completude requer que a interpolação no interior do elemento é capaz de representar exatamente um campo linear. Ou seja, as funções de forma devem conter todos os monômios constantes e lineares (Em mecânica dos sólidos significa que o elemento deve representar exatamente os movimentos de corpo rígido!).

Observação

5. Em teorias que envolvem derivadas de ordem m nas integrais, a completude deve ser satisfeita por polinômios de ordem m.

Exemplo 1: Funções Lineares em 1-D.



C1, C2 → satisfeitas na definição de N_A .

C3: $da^e = c_0 + c_1 x_a^e$

$$u^h = \sum_{a=1}^2 N_a da^e = \sum_{a=1}^2 N_a (c_0 + c_1 x_a^e) =$$

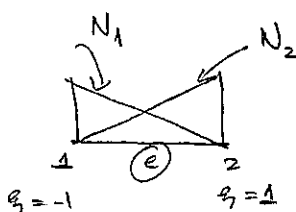
$$= \left(\sum_{a=1}^2 N_a \right) c_0 + \left(\sum_{a=1}^2 N_a x_a^e \right) c_1$$

(I)

(II)

(I) $\sum_{a=1}^2 N_a = 1$

(II) $\sum_{a=1}^2 N_a x_a^e = x$



$$N_1 = \frac{1}{2}(1 - \xi)$$

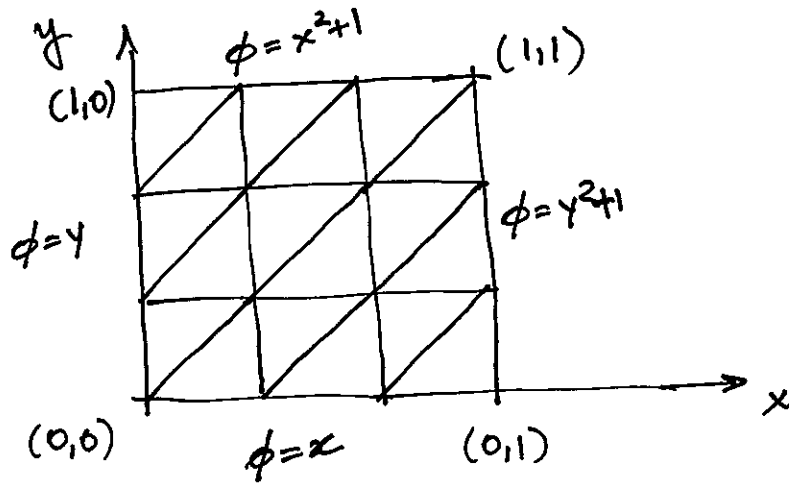
$$N_2 = \frac{1}{2}(1 + \xi)$$

↑
já foi def. antes.

$$N_1 + N_2 = \frac{1}{2}(1 - \xi) + \frac{1}{2}(1 + \xi) = \frac{1}{2}(1 - \xi + 1 + \xi) = 1$$

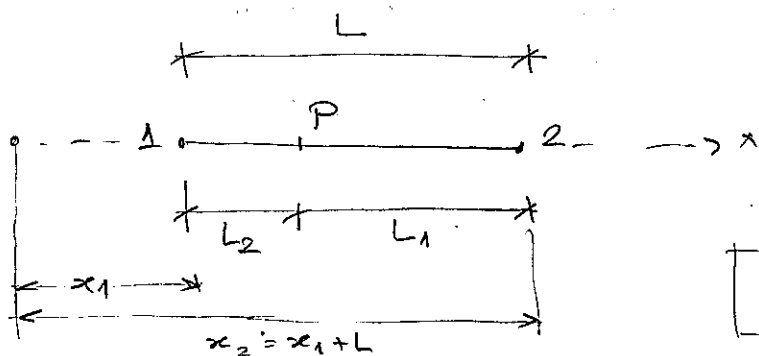
Exercício

Obtenha a distribuição de temperaturas em regime permanente para o problema abaixo:



3.2 Elementos Triangulares de Lado Reto.

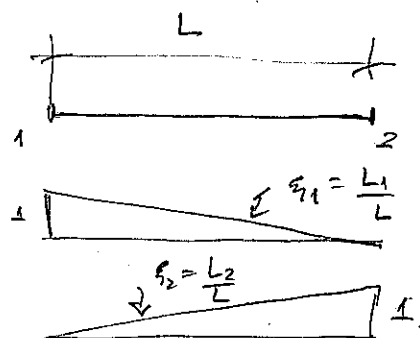
(a) Coordenadas Naturais em 1-D.



$$x_p = \xi_1 x_1 + \xi_2 x_2$$

$$\left\{ \begin{array}{l} \xi_1 = \frac{L_1}{L} ; \quad \xi_2 = \frac{L_2}{L} \\ \xi_1 + \xi_2 = 1 \end{array} \right.$$

\Rightarrow



Em forma matricial,

$$\begin{Bmatrix} 1 \\ x \end{Bmatrix} = \begin{bmatrix} 1 & 1 \\ x_1 & x_2 \end{bmatrix} \begin{Bmatrix} \xi_1 \\ \xi_2 \end{Bmatrix} \quad \text{e} \quad \begin{Bmatrix} \xi_1 \\ \xi_2 \end{Bmatrix} = \frac{1}{L} \begin{bmatrix} x_2 & -1 \\ -x_1 & 1 \end{bmatrix} \begin{Bmatrix} 1 \\ x \end{Bmatrix}$$

$$u^h = \sum_{a=1}^2 N_a d_a^e \quad \text{ou} \quad u^h = \underline{N} \underline{d} \quad ; \quad \underline{N} = [N_1, N_2] \quad ; \quad \underline{d} = \begin{Bmatrix} d_1^e \\ d_2^e \end{Bmatrix}$$

Se tomarmos $N_a = \xi_1$ e $N_2 = \xi_2$, a matriz por elemento

1-D, torna-se:

$$\underline{B}_{1D} = [N_{1,x} \quad N_{2,x}] \quad ; \quad \underline{D} = \underline{\mathbb{I}}_{2 \times 2}$$

$$\underline{K} = \int_{\Omega} \underline{B}^T \underline{D} \underline{B} d\Omega$$

$$\frac{dN_1}{dx} = \frac{dN_1}{d\xi} \frac{d\xi}{dx} = -\frac{1}{L}$$

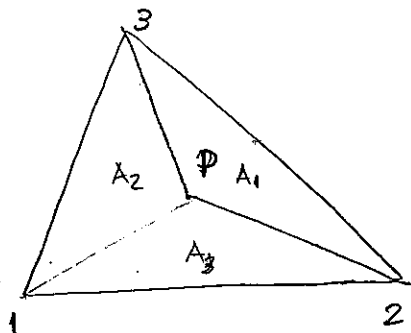
$$\frac{dN_2}{dx} = \frac{dN_2}{d\xi} \frac{d\xi}{dx} = \frac{1}{L}$$

$$\Rightarrow \underline{B}_{1D} = \left[-\frac{1}{L} \quad \frac{1}{L} \right]$$

$$\int_L \xi_1^k \xi_2^l dL = L \frac{k! l!}{(1+k+l)!}$$

$$\underline{K} = \int_L \left[\begin{matrix} -\frac{1}{L} \\ \frac{1}{L} \end{matrix} \right] \left[-\frac{1}{L} \quad \frac{1}{L} \right] dL = \left[\begin{matrix} \frac{1}{L^2} & -\frac{1}{L^2} \\ -\frac{1}{L^2} & \frac{1}{L^2} \end{matrix} \right] \int_L dL = \frac{1}{L} \left[\begin{matrix} 1 & -1 \\ -1 & 1 \end{matrix} \right] !$$

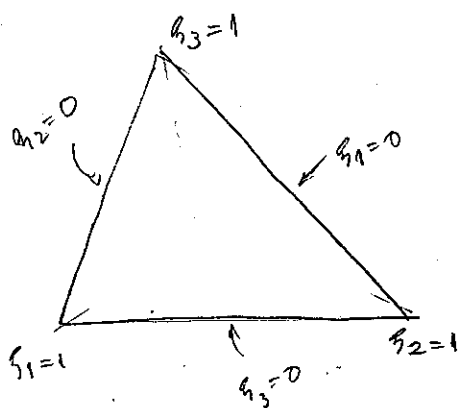
(b) Coordenadas de Área e Volume



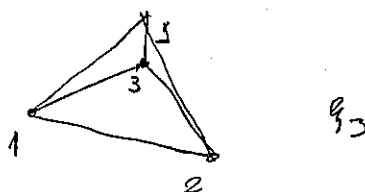
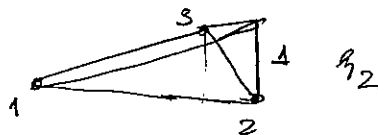
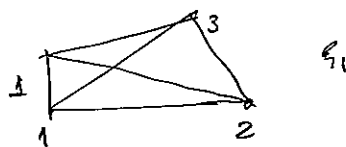
$$\xi_1 = \frac{A_1}{A} ; \xi_2 = \frac{A_2}{A} ; \xi_3 = \frac{A_3}{A}$$

$A = \text{area do } \Delta \text{ 1-2-3}$

$$A = A_1 + A_2 + A_3 \Rightarrow \xi_1 + \xi_2 + \xi_3 = 1$$



ou seja



Transformação de Coordenadas

$$\begin{Bmatrix} 1 \\ x \\ y \end{Bmatrix} = \underline{A} \begin{Bmatrix} \xi_1 \\ \xi_2 \\ \xi_3 \end{Bmatrix} \quad \text{e} \quad \begin{Bmatrix} \xi_1 \\ \xi_2 \\ \xi_3 \end{Bmatrix} = \underline{A}^{-1} \begin{Bmatrix} 1 \\ x \\ y \end{Bmatrix}$$

onde, com $x_{ij} = x_i - x_j$ e $y_{ij} = y_i - y_j$

$$\underline{A} = \begin{bmatrix} 1 & 1 & 1 \\ x_1 & x_2 & x_3 \\ y_1 & y_2 & y_3 \end{bmatrix} \quad \text{e} \quad \underline{A}^{-1} = \frac{1}{2A} \begin{bmatrix} x_2 y_3 - x_3 y_2 & y_{23} & x_{32} \\ x_3 y_1 - x_1 y_3 & y_{31} & x_{13} \\ x_1 y_2 - x_2 y_1 & y_{12} & x_{21} \end{bmatrix}$$

$$2A = \det \underline{A} = x_{21}y_{31} - x_{31}y_{21}$$

Se a numeração dos nós for no sentido horário

$\Rightarrow 2A$ é negativo!

A formulação de matrizes de elemento requer que uma função de interpolação, expressa em coordenadas da área seja diferenciada com respeito a coordenadas cartesianas. Portanto,

$$N_a = N_a(\xi_1, \xi_2, \xi_3).$$

$$\left\{ \begin{array}{l} \frac{\partial N_a}{\partial x} = \frac{\partial N_a}{\partial \xi_1} \frac{\partial \xi_1}{\partial x} + \frac{\partial N_a}{\partial \xi_2} \frac{\partial \xi_2}{\partial x} + \frac{\partial N_a}{\partial \xi_3} \frac{\partial \xi_3}{\partial x} \\ \frac{\partial N_a}{\partial y} = \frac{\partial N_a}{\partial \xi_1} \frac{\partial \xi_1}{\partial y} + \frac{\partial N_a}{\partial \xi_2} \frac{\partial \xi_2}{\partial y} + \frac{\partial N_a}{\partial \xi_3} \frac{\partial \xi_3}{\partial y} \end{array} \right.$$

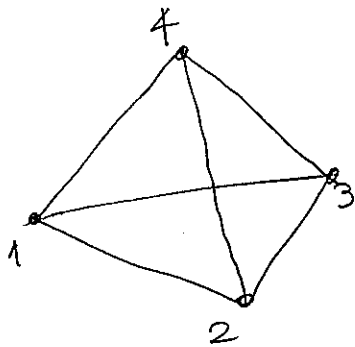
A partir da relação entre os ξ_i e x, y temos:

$$\left\{ \begin{array}{l} \frac{\partial \xi_1}{\partial x} = \frac{y_{23}}{2A} ; \quad \frac{\partial \xi_2}{\partial x} = \frac{y_{31}}{2A} ; \quad \frac{\partial \xi_3}{\partial x} = \frac{y_{12}}{2A} \\ \frac{\partial \xi_1}{\partial y} = \frac{x_{32}}{2A} ; \quad \frac{\partial \xi_2}{\partial y} = \frac{x_{13}}{2A} ; \quad \frac{\partial \xi_3}{\partial y} = \frac{x_{21}}{2A} \end{array} \right.$$

A integração de polinômios em ξ_1, ξ_2 e ξ_3 na área do triângulo é dada por

$$\int_A \xi_1^k \xi_2^l \xi_3^m dA = 2A \frac{k!l!m!}{(2+k+l+m)!}$$

Para o tetraedro abaixo



$$\xi_i = \frac{V_i}{V} \quad ; \quad \sum \xi_i = 1 \quad , \quad i=1, \dots, 4$$

$$\begin{Bmatrix} 1 \\ x \\ y \\ z \end{Bmatrix} = \begin{bmatrix} 1 & 1 & 1 & 1 \\ x_1 & x_2 & x_3 & x_4 \\ y_1 & y_2 & y_3 & y_4 \\ z_1 & z_2 & z_3 & z_4 \end{bmatrix} \begin{Bmatrix} \xi_1 \\ \xi_2 \\ \xi_3 \\ \xi_4 \end{Bmatrix}$$

\underline{A}

$$\det \underline{A} = 6V > 0 \quad \text{na numeração dada}$$

$$\int_V \xi_1^k \xi_2^l \xi_3^m \xi_4^n dV = 6V \frac{k! l! m! n!}{(3+k+l+m+n)!}$$

o ξ_i define as coordenadas de volume.

(c) Funções de Interpolação para Triângulos de Lados Retos:

$$\begin{cases} N_a = N_a(\xi_1, \xi_2, \xi_3) \\ u^h = \sum_{a=1}^{nen} N_a d_a^e \end{cases}$$

Considere então uma função $\phi = \phi(\xi_1, \xi_2, \xi_3) = \phi(x, y)$ tal que,

$$\phi = \sum_{i=1}^n c_i \xi_1^q \xi_2^r \xi_3^s$$

nos quais q, r, s são inteiros não negativos que fornecem todas as combinações possíveis, tais que $q+r+s = p$ (ordem do polinômio de aproximação).

Triângulo de Pascal

p

n

Elemento Triangular

1

0

1

x y

1 (linear)

3

 x^2 xy y^2

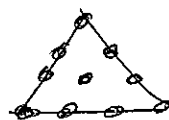
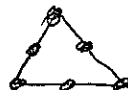
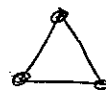
2 (quadrático)

6

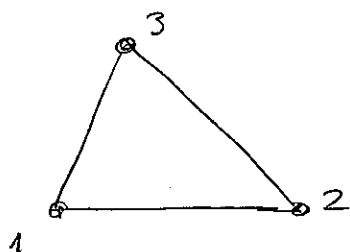
 x^3 x^2y xy^2 y^3

3 (cúbico)

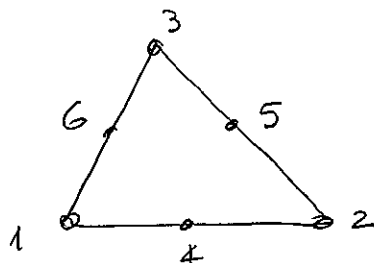
16



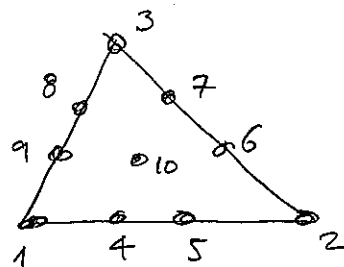
Esta referência gera polinômios completos do grau p que podem gerar funções de interpolação CONFORMES (verifique!)



LINEAR



QUADRÁTICO



No 10 - $\xi_1 = \frac{1}{3}$; $\xi_2 = \frac{1}{3}$; $\xi_3 = \frac{1}{3}$
(centróide!)

FUNÇÕES DE FORMA

$$N_1 = \xi_1$$

$$N_1 = \xi_1(2\xi_1 - 1)$$

$$N_i = \frac{1}{2} \xi_i (3\xi_i - 1) (3\xi_i - 2) \quad i=1, 2, 3$$

$$N_2 = \xi_2$$

$$N_2 = \xi_2(2\xi_2 - 1)$$

$$N_4 = \frac{9}{2} \xi_2 \xi_1 (3\xi_1 - 1)$$

$$N_3 = \xi_3$$

$$N_3 = \xi_3(2\xi_3 - 1)$$

$$N_5 = \frac{9}{2} \dots$$

$$N_4 = 4\xi_1 \xi_2$$

$$N_5 = 4\xi_2 \xi_3$$

$$N_9 = \frac{9}{2} \dots$$

$$N_6 = 4\xi_3 \xi_1$$

$$N_{10} = 27 \xi_1 \xi_2 \xi_3$$

(c) O elemento triangular linear

$$u^h(\xi) = \sum_{a=1}^{nen} N_a(\xi) d_a^e ; \quad N_a(\xi) = \xi a$$

$$\underline{B}_a = \nabla N_a = \begin{bmatrix} N_{a,x} \\ N_{a,y} \end{bmatrix}$$

$$\underline{B} = \begin{bmatrix} N_{1,x} & N_{2,x} & N_{3,x} \\ N_{1,y} & N_{2,y} & N_{3,y} \end{bmatrix} = \frac{1}{2A} \begin{bmatrix} y_{23} & y_{31} & y_{12} \\ x_{32} & x_{13} & x_{21} \end{bmatrix}_{2 \times 3}$$

Logo,

$$\underline{K}^e = \int_{\Omega^e} \underline{B}^T \underline{D} \underline{B} d\Omega = \int_{A_e} \frac{1}{2A_e} \begin{bmatrix} y_{23} & x_{32} \\ y_{31} & x_{13} \\ y_{12} & x_{21} \end{bmatrix}_{3 \times 2} \overset{\text{ORTOTROPIA!}}{\downarrow} \begin{bmatrix} k_x & 0 \\ 0 & k_y \end{bmatrix}_{2 \times 2} \frac{1}{2A_e} \begin{bmatrix} y_{23} & y_{31} & y_{12} \\ x_{32} & x_{13} & x_{21} \end{bmatrix}_{2 \times 3} d\Omega =$$

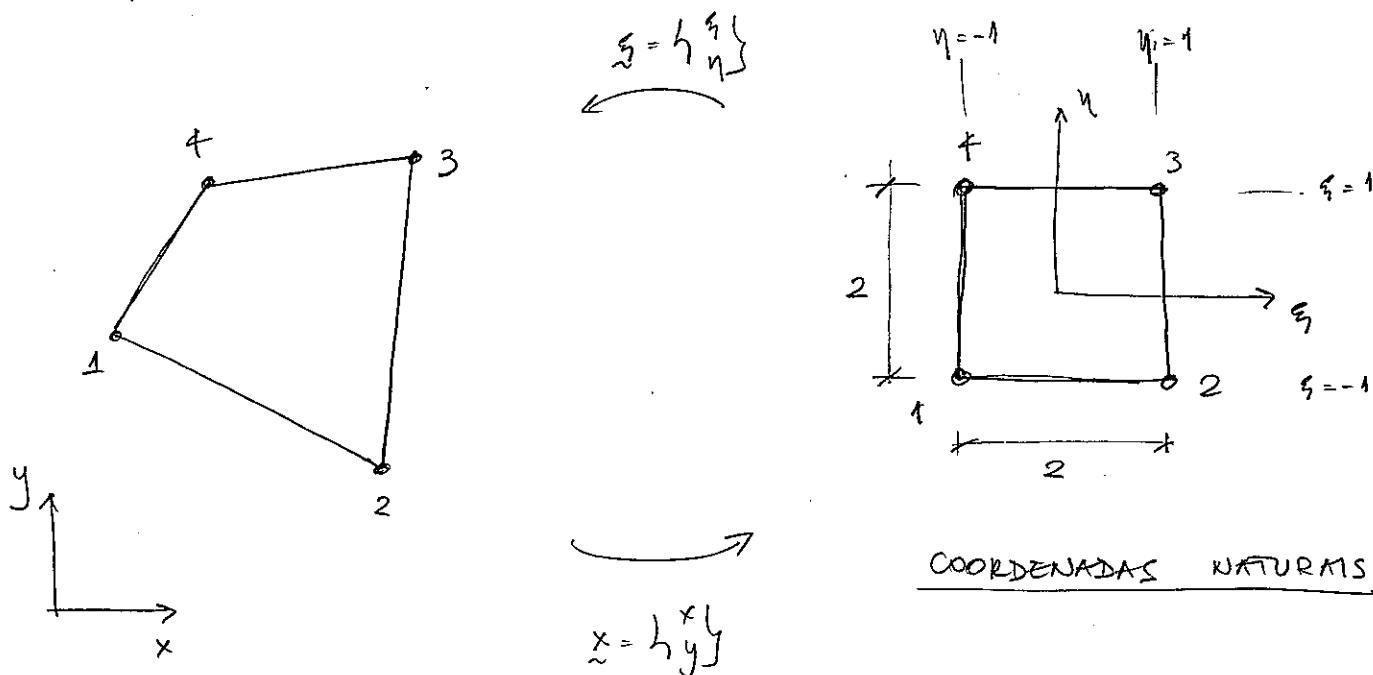
onde t^e é a espessura do elemento

$$\underline{K}^e_{3 \times 3} = \frac{t^e}{4A_e} \begin{bmatrix} y_{23} k_x y_{23} + x_{32} k_y x_{32} & y_{23} k_x y_{31} + x_{32} k_y x_{13} & y_{23} k_x y_{12} + x_{32} k_y x_{21} \\ y_{31} k_x y_{23} + x_{13} k_y x_{32} & y_{31} k_x y_{31} + x_{13} k_y x_{13} & y_{31} k_x y_{12} + x_{13} k_y x_{21} \\ y_{12} k_x y_{23} + x_{21} k_y x_{32} & y_{12} k_x y_{31} + x_{21} k_y x_{13} & y_{12} k_x y_{12} + x_{21} k_y x_{21} \end{bmatrix}$$

\underline{K}^e é simétrica!

Lista -> Zienkiewicz & Morgan Ex-3.13 pg. 146 -> ATLAS

3.3. O Elemento Quadrilátero Bilinear



$$\begin{cases} x(\xi, \eta) = \sum_{a=1}^4 N_a(\xi, \eta) x_a^e \\ y(\xi, \eta) = \sum_{a=1}^4 N_a(\xi, \eta) y_a^e \end{cases} \quad \text{ou} \quad \tilde{x} = \begin{bmatrix} N_a(\xi) x_a^e \\ N_a(\eta) y_a^e \end{bmatrix}$$

Assumindo que as expansões bilineares,

$$\begin{cases} x(\xi, \eta) = \alpha_0 + \alpha_1 \xi + \alpha_2 \eta + \alpha_3 \xi \eta \\ y(\xi, \eta) = \beta_0 + \beta_1 \xi + \beta_2 \eta + \beta_3 \xi \eta \end{cases}$$

onde os α e β são constantes a serem determinadas, e impondo as condições,

$$\begin{cases} x_a(\xi_a, \eta_a) = x_a^e \\ y_a(\xi_a, \eta_a) = y_a^e \end{cases}$$

que restringem as funções N_a .

$$N_a(\xi_b, \eta_b) = \delta_{ab}$$

a	ξ_a	η_a
1	-1	-1
2	1	-1
3	1	1
4	-1	1

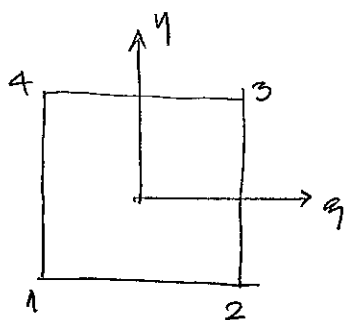
Em forma matricial

$$\begin{Bmatrix} x_1^e \\ x_2^e \\ x_3^e \\ x_4^e \end{Bmatrix} = \begin{bmatrix} 1 & -1 & -1 & 1 \\ 1 & 1 & -1 & -1 \\ 1 & 1 & 1 & 1 \\ 1 & -1 & 1 & -1 \end{bmatrix} \begin{Bmatrix} d_0 \\ d_1 \\ d_2 \\ d_3 \end{Bmatrix}$$

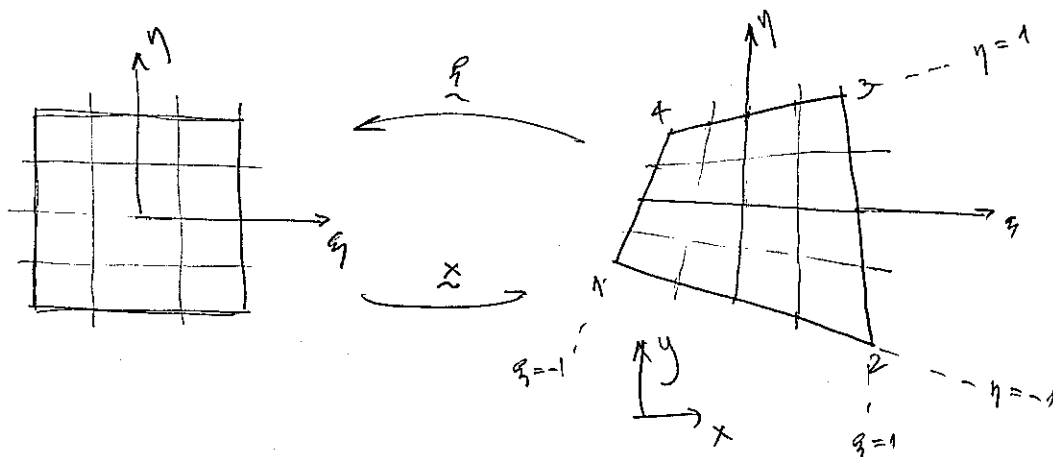
$$\begin{Bmatrix} y_1^e \\ y_2^e \\ y_3^e \\ y_4^e \end{Bmatrix} = \begin{bmatrix} \\ \\ \\ \end{bmatrix} \begin{Bmatrix} \beta_0 \\ \beta_1 \\ \beta_2 \\ \beta_3 \end{Bmatrix}$$

Substituindo-se para os d 's e β 's e substituindo-se os resultados em na expansões de x e y , podemos deduzir a forma das funções N .

$$N_a(\xi) = N_a(\xi, \eta) = \frac{1}{4} (1 + \xi a \xi) (1 + \eta a \eta)$$



$$\begin{cases} N_1(\xi, \eta) = \frac{1}{4} (1 - \xi)(1 - \eta) \\ N_2(\xi, \eta) = \frac{1}{4} (1 + \xi)(1 - \eta) \\ N_3(\xi, \eta) = \frac{1}{4} (1 + \xi)(1 + \eta) \\ N_4(\xi, \eta) = \frac{1}{4} (1 - \xi)(1 + \eta) \end{cases}$$



Agora, ASSUMINDO que a interpolação das grandezas no interior do elemento é feita de forma semelhante ao mapeamento da geometria,

$$u^h(\underline{\xi}) = \sum_{a=1}^4 N_a(\underline{\xi}) d_a^e$$

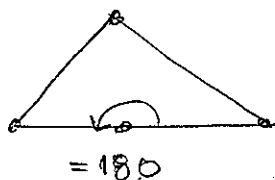
— Critérios de convergência:

(C1) Suavidade em Ω^e .

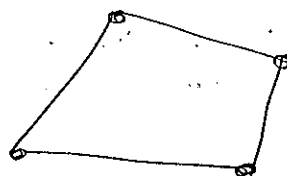
Pode-se mostrar que N_a é uma função suave de x, y se todos os ângulos interiores do quadrilátero formados por lados adjacentes forem $< 180^\circ$



N_a não é suave



N_a não é suave

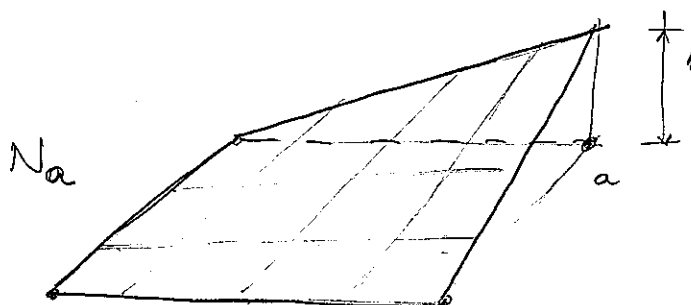
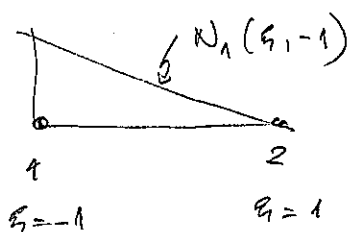
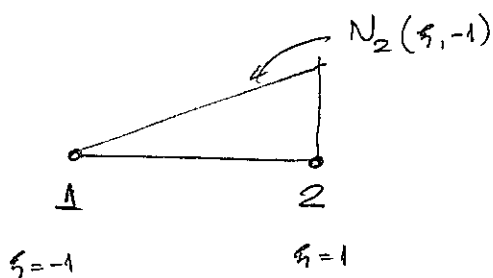


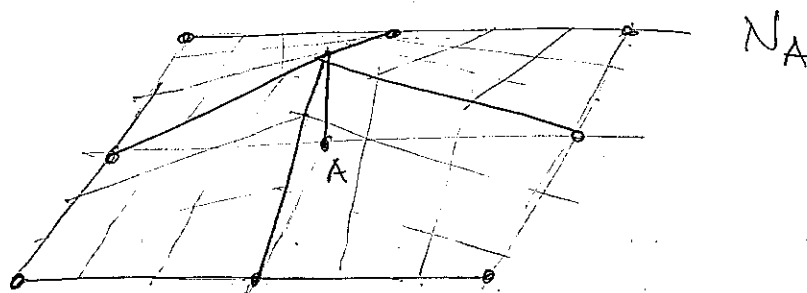
N_a suave!

(C2) Continuidade em Γ^e

$$N_{1-2}^1 = N_a(\xi, -1) = \frac{1 + \xi a \xi}{2} \quad a=1,2$$

Lado
1-2

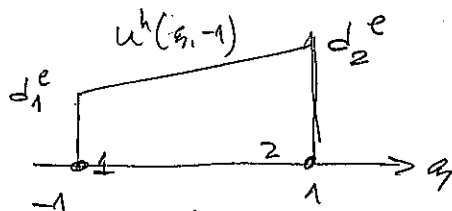




De outra forma, ao longo do lado $\underline{x}_1^e - \underline{x}_2^e$,

$$u^h(\xi, -1) = \sum_{a=1}^2 \frac{1}{2} (1 + \xi a \xi) d_a^e$$

- u^h ao longo de $[\underline{x}_1^e, \underline{x}_2^e]$ é determinado somente pelos valores nodais de u^h nos nós 1 e 2
- a variável de u^h é linear na coordenada natural ξ



As mesmas conclusões podem ser tiradas de qualquer outro elemento que contenha o lado 1-2 \Rightarrow a continuidade de u^h ao longo de Γ^h é satisfeita.

(C3) Completude

$$u^h = \sum_{a=1}^{n_{en}} N_a d_a^e = \sum_{a=1}^{n_{en}} N_a (c_0 + c_1 x_a^e + c_2 y_a^e) =$$

$$= \left(\sum_{a=1}^{n_{en}} N_a \right) c_0 + \underbrace{\left(\sum_{a=1}^{n_{en}} N_a x_a^e \right)}_x c_1 + \underbrace{\left(\sum_{a=1}^{n_{en}} N_a y_a^e \right)}_y c_2$$

$$\sum_{a=1}^{n_{en}} N_a = \frac{1}{4} (1-\xi)(1-\eta) + \frac{1}{4} (1-\xi)(1+\eta) + \frac{1}{4} (1+\xi)(1+\eta) + \frac{1}{4} (1+\xi)(1-\eta) = \frac{1}{4} [(1-\xi)(1-\eta+1+\eta) + (1+\xi)(1-\eta+1+\eta)] = \frac{1}{4} [2(1-\xi) + 2(1+\xi)] = \frac{1}{4} [2+2] = 1 //$$

3.4. Elementos Isoparamétricos.

Seja \square um elemento "pai" no espaço- ξ (o quadrado de lado 2, no \mathbb{R}^2),

Definição 1: Seja $\underline{x}: \square \rightarrow \overline{\Omega}^e$ da forma

$$\underline{x}(\underline{\xi}) = \sum_{a=1}^{n_{en}} N_a(\underline{\xi}) \underline{x}_a^e$$

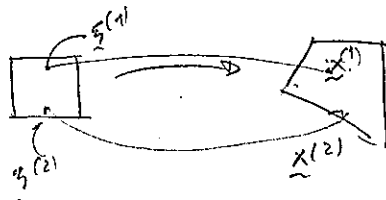
Se a interpolação de u^h no interior do elemento for da forma

$$u^h(\underline{\xi}) = \sum_{a=1}^{n_{en}} N_a(\underline{\xi}) d_a^e$$

o elemento é dito ISOPARAMÉTRICO.

Condição de Convergência (C1)

Definição 2: Um mapeamento $\underline{x}: \square \rightarrow \overline{\Omega}^e \subset \mathbb{R}^{n_{sd}}$ é dito ^(INJETOR) UM-PARA-UM se, para cada par de pontos $\underline{\xi}^{(1)}, \underline{\xi}^{(2)} \in \square$ tal que $\underline{\xi}^{(1)} \neq \underline{\xi}^{(2)}$, então $\underline{x}(\underline{\xi}^{(1)}) \neq \underline{x}(\underline{\xi}^{(2)})$.



Definição 3 : $\underline{x} : \square \rightarrow \bar{\Omega}^e$ é dita SOBREJETORA se

$\bar{\Omega}^e = \underline{x}(\square)$, isto é, cada pto em $\bar{\Omega}^e$ é a imagem de um ponto em \square sob o mapa \underline{x} .

Definição 4 : Seja $\underline{x} : \square \rightarrow \bar{\Omega}^e$ um mapeamento diferenciável. O determinante da derivada, $j = \det(\partial \underline{x} / \partial \xi)$, é chamado de Jacobiano da transformação.

$$j = \det \begin{bmatrix} x, \xi & x, \eta \\ y, \xi & y, \eta \end{bmatrix}, \text{ se } \Omega^e \subset \mathbb{R}^2$$

$$j = \det \begin{bmatrix} x, \xi & x, \eta & x, \zeta \\ y, \xi & y, \eta & y, \zeta \\ z, \xi & z, \eta & z, \zeta \end{bmatrix}, \text{ se } \Omega^e \subset \mathbb{R}^3$$

Como consequência, se \underline{x} é :

- (i) UM-PARA-UM (INJETORA)
 - (ii) SOBREJETORA
 - (iii) C^k , $k \geq 1$
 - (iv) $j(\xi) > 0$, $\forall \xi \in \square$
- } BIUNÍVOCO

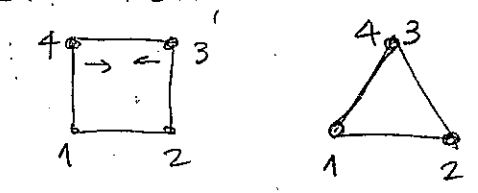
então o mapeamento inverso $\underline{\xi} = \underline{x}^{-1} : \bar{\Omega}^e \rightarrow \square$ existe e é C^k .

Proposição 1 Seja o mapeamento definido anteriormente ($\underline{x}: \square \rightarrow \bar{\Omega}^e$), satisfazendo (i) \rightarrow (iv). Logo, a condição de suavidade C^1 é satisfeita.

Prova: Hipótese: $N_a = N_a(\underline{x})$ também é de classe $C^1 \Rightarrow \underline{\xi} = \underline{\xi}(\underline{x})$ é também C^1 . Portanto, $N_a(\underline{x}) = N_a(\underline{\xi}(\underline{x}))$ é uma função C^1 de \underline{x} .

Observações

Na prática, os mapeamentos $\underline{x}: \square \rightarrow \bar{\Omega}^e$ satisfazem condições (i) à (iv). Entretanto, existe uma única exceção — a técnica de degeneração dos elementos.



Ao longo da linha 4-3 $J=0$! fora $J>0$.

Também na prática monitora-se o sinal do Jacobiano para garantir a condição (iv). Se um valor negativo ou zero é encontrado, termina-se os cálculos. De maneira geral, esta é uma indicação de erro de dados, ou de um elemento muito distorcido.

→ Exercício 1 pg. 123.

Condição de Convergência (C3)

Proposição 2 : Se $\sum_{a=1}^{n_{en}} N_a = 1 \Rightarrow$ completude.

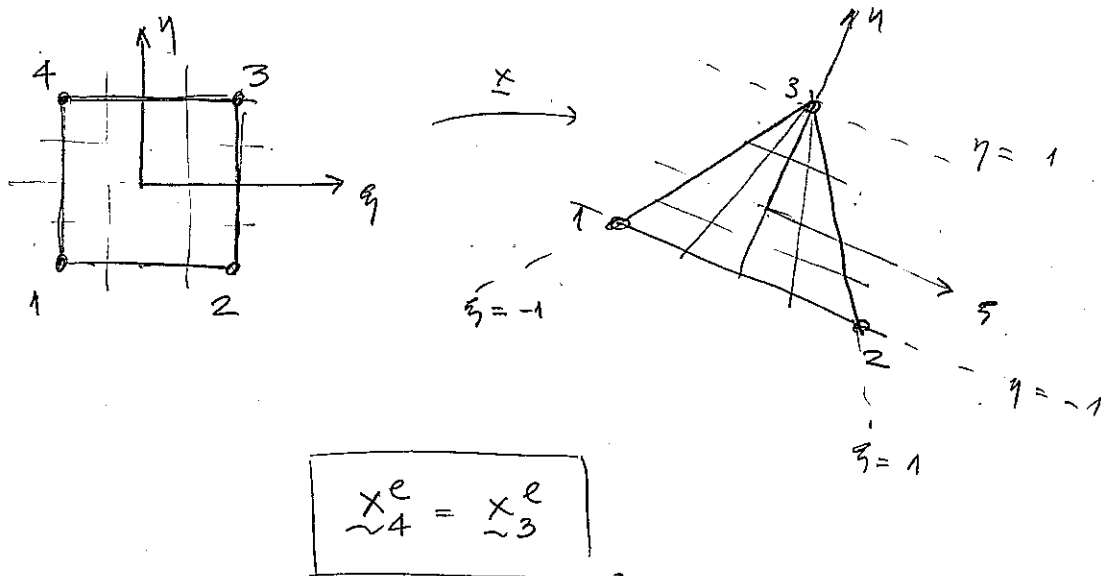
$$\begin{aligned} u^h &= \sum_{a=1}^{n_{en}} N_a d_a^e = \sum_{a=1}^{n_{en}} N_a (c_0 + c_1 x_a^e + c_2 y_a^e + c_3 z_a^e) = \\ &= \left(\sum_{a=1}^{n_{en}} N_a \right) c_0 + \underbrace{\left(\sum_{a=1}^{n_{en}} N_a x_a^e \right)}_{x} c_1 + \underbrace{\left(\sum_{a=1}^{n_{en}} N_a y_a^e \right)}_{y} c_2 + \underbrace{\left(\sum_{a=1}^{n_{en}} N_a z_a^e \right)}_{z} c_3 \end{aligned}$$

Condição de Convergência (C2)

Verificada da mesma forma que no elemento quadrilátero bilinear.

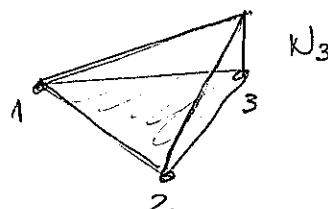
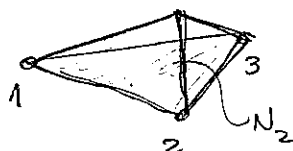
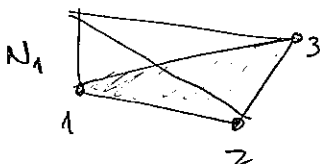
RESULTADO: Elementos Isoparamétricos são CONFORMES!

3.5. Elemento Triangular linear; Um exemplo de DEGENERACÃO.

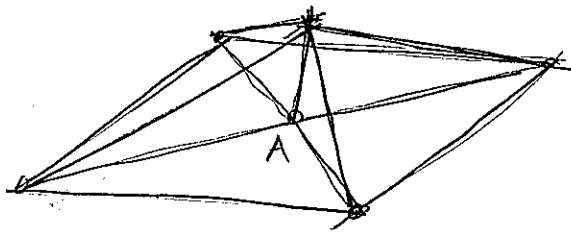


$$\underline{x} = \sum_{a=1}^4 N_a x_a^e = N_1 x_1^e + N_2 x_2^e + (N_3 + N_4) x_3^e = \sum_{a=1}^3 N'_a x_a^e$$

$$N'_a = \begin{cases} N_a = \frac{1}{4} [1 + (-1)^a \xi] (1 - \eta) & , a=1,2 \\ N_3 + N_4 = \frac{1}{2} (1 + \eta) & , a=3 \end{cases}$$

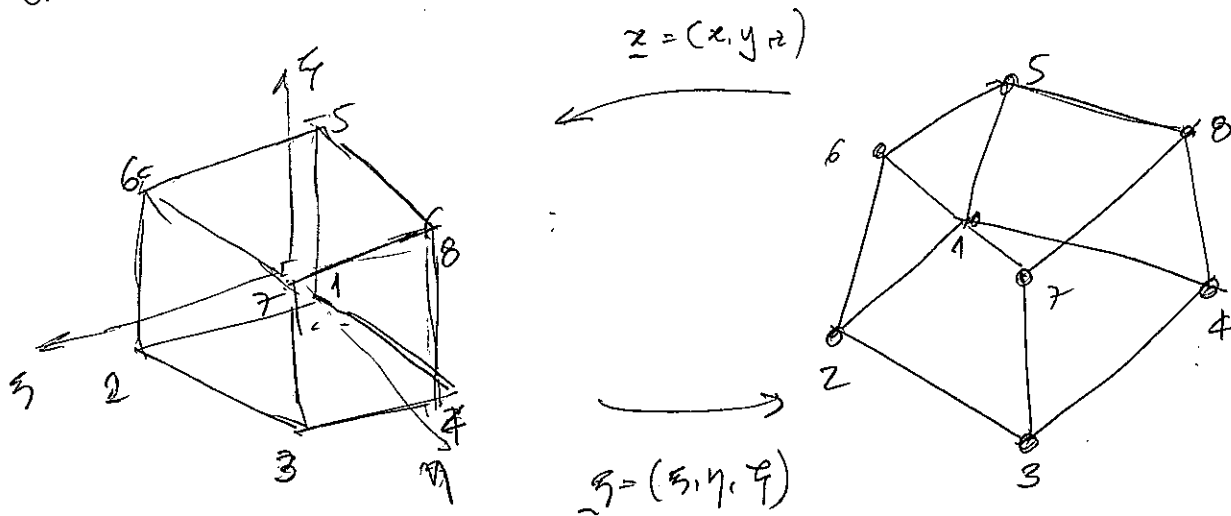


Neste caso, o mapeamento φ é um-para-um, já que (JB) o segmento do contorno 3-4 ($\xi \in [-1, 1], \eta = 1$) no espaço ξ é todo mapeado em \underline{x}_3^e . Isto implica que o jacobiano é zero em \underline{x}_3^e . Entretanto, as derivadas com respeito a x e y são constantes, logo, suaves \Rightarrow condição (C1) é satisfeita. A condição (C2) também é satisfeita.



A condição (C3) é automaticamente satisfeita.

3.6. Elemento Hexaedro trilinear



$$\begin{aligned}
 x(\underline{\xi}) &= \alpha_0 + \alpha_1 \xi + \alpha_2 \eta + \alpha_3 \zeta + \alpha_4 \xi \eta + \alpha_5 \eta \zeta + \alpha_6 \xi \zeta + \alpha_7 \xi \eta \zeta \\
 y(\underline{\xi}) &= \\
 z(\underline{\xi}) &=
 \end{aligned}$$

$\rightarrow \begin{cases} x(\underline{\xi}_a) = x_a^e, & a=1, \dots, 8 \\ y \\ z \end{cases}$

a	ξ	η	ζ
1	-1	-1	-1
2	1	-1	-1
3	1	1	-1
4	-1	1	-1
5	-1	-1	1
6	1	-1	1
7	1	1	1
8	-1	1	1

$$\tilde{x}(\underline{\xi}) = \sum_{a=1}^8 N_a(\underline{\xi}) \tilde{x}_a^e$$

$$N_a(\xi, \eta, \zeta) = \frac{1}{8} (1 + \xi_a \xi) (1 + \eta_a \eta) (1 + \zeta_a \zeta)$$

$$\begin{aligned} N_1 &= \frac{1}{8} (1 - \xi) (1 - \eta) (1 - \zeta) \\ N_2 &= \frac{1}{8} (1 + \xi) (1 - \eta) (1 - \zeta) \\ N_3 &= \frac{1}{8} (1 + \xi) (1 + \eta) (1 - \zeta) \\ N_4 &= \frac{1}{8} (1 - \xi) (1 + \eta) (1 - \zeta) \\ N_5 &= \frac{1}{8} (1 - \xi) (1 - \eta) (1 + \zeta) \\ N_6 &= \frac{1}{8} (1 + \xi) (1 - \eta) (1 + \zeta) \\ N_7 &= \frac{1}{8} (1 + \xi) (1 + \eta) (1 + \zeta) \\ N_8 &= \frac{1}{8} (1 - \xi) (1 + \eta) (1 + \zeta) \end{aligned}$$

$$u^h = \sum_{a=1}^8 N_a(\underline{\xi}) d_a^e$$

3.7. Elementos de Ordem Superior - Polinômios de Lagrange

Polinômios de Lagrange

$$l_a^{n-1}(\xi) = \frac{\prod_{\substack{b=1 \\ b \neq a}}^{n-1} (\xi - \xi_b)}{\prod_{\substack{b=1 \\ b \neq a}}^{n-1} (\xi_a - \xi_b)}$$

$$l_a^{n-1}(\xi) = \frac{(\xi - \xi_1)(\xi - \xi_2) \dots (\xi - \xi_{a-1})(\xi - \xi_{a+1}) \dots (\xi - \xi_{n-1})}{(\xi_a - \xi_1)(\xi_a - \xi_2) \dots (\xi_a - \xi_{a-1})(\xi_a - \xi_{a+1}) \dots (\xi_a - \xi_{n-1})}$$

$$l_a(\xi_b) = \delta_{ab}$$



$$N_a = l_a^{n-1}$$

Exemplo 1

$$\xi_1 = -1 \quad \xi_2 = 1$$

1 2

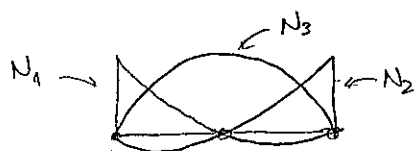
• Funções Lineares: $N_1 = l_1^1(\xi) = \frac{(\xi - \xi_2)}{(\xi_1 - \xi_2)} = \frac{\xi - 1}{-1 - (1)} = \frac{1}{2}(1 - \xi)$

$$N_2 = l_2^1(\xi) = \frac{\xi - \xi_1}{(\xi_2 - \xi_1)} = \frac{\xi + 1}{1 - (-1)} = \frac{1}{2}(1 + \xi)$$

• Funções Quadráticas em 1D

$$\xi_1 = -1 \quad \xi_2 = 0 \quad \xi_3 = 1$$

1 3 2

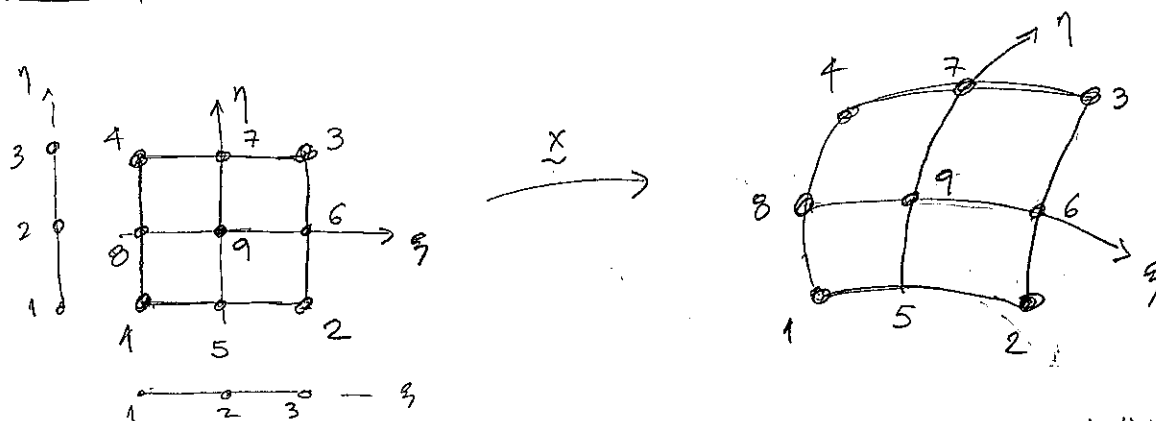


$$N_1 = l_1^2(\xi) = \frac{(\xi - \xi_2)(\xi - \xi_3)}{(\xi_1 - \xi_2)(\xi_1 - \xi_3)} = \frac{(\xi - 0)(\xi - 1)}{(-1 - 0)(-1 - 1)} = \frac{1}{2}\xi(\xi - 1)$$

$$N_2 = l_2^2(\xi) = \frac{(\xi - \xi_1)(\xi - \xi_3)}{(\xi_2 - \xi_1)(\xi_2 - \xi_3)} = \frac{(\xi + 1)(\xi - 1)}{(1 - (-1))(1 - 0)} = \frac{1}{2}\xi(\xi + 1)$$

$$N_3 = l_3^2(\xi) = \frac{(\xi - \xi_1)(\xi - \xi_2)}{(\xi_3 - \xi_1)(\xi_3 - \xi_2)} = \frac{(\xi + 1)(\xi - 0)}{(-1 - (-1))(-1 - 0)} = 1 - \xi^2$$

Exemplo 4 Elemento Quadrático em 2-D - Lagrangian



Funções de Interpolação \Rightarrow produtos de polinômios de Lagrange de 2º grau.

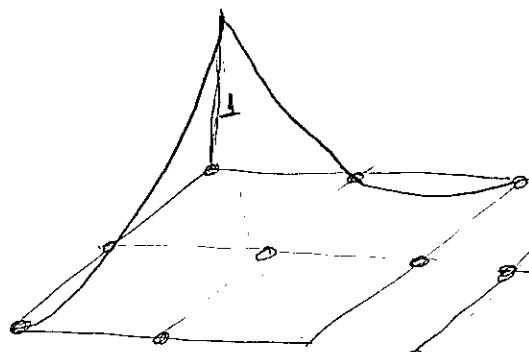
$$N_a(\xi, \eta) = l_b^2(\xi) \cdot l_c^2(\eta)$$

a	b	c
1	1	1
2	3	1
3	3	3
4	1	3
5	2	1
6	3	2
7	2	3
8	1	2
9	2	2

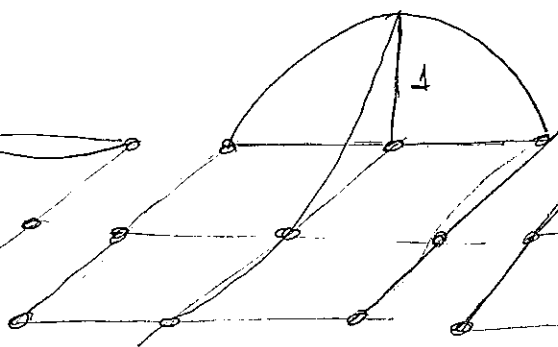
$$N_1(\xi, \eta) = l_1^2(\xi) l_1^2(\eta) = \frac{1}{4} \xi \eta (\xi - 1) (\eta - 1)$$

$$N_5(\xi, \eta) = l_2^2(\xi) l_1^2(\eta) = \frac{1}{2} \eta (1 - \xi^2) (\eta - 1)$$

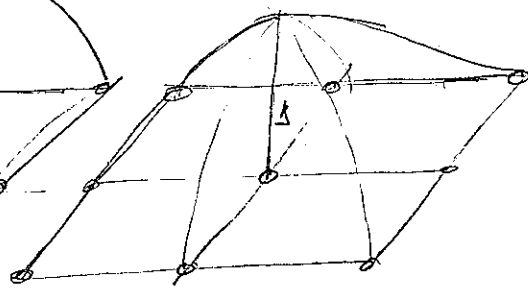
$$N_9(\xi, \eta) = l_2^2(\xi) l_2^2(\eta) = (1 - \xi^2) (1 - \eta^2)$$



N_1, N_2, N_3, N_4



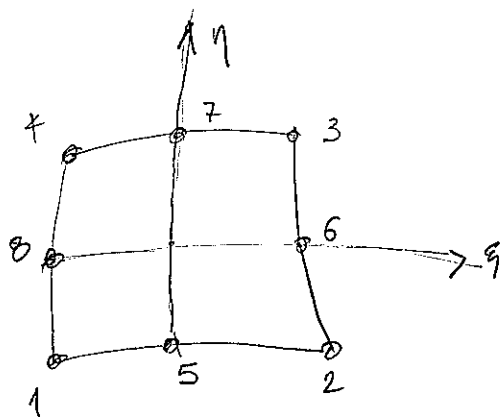
N_5, N_6, N_7, N_8



N_9

\rightarrow Exercício 4. p. 130

3.8 Elementos com Números de Nós Variável



$$N_1 = \frac{1}{4}(1-\xi)(1-\eta)$$

$$N_2 = \frac{1}{4}(1+\xi)(1-\eta)$$

$$N_3 = \frac{1}{4}(1+\xi)(1+\eta)$$

$$N_4 = \frac{1}{4}(1-\xi)(1+\eta)$$

$$N_5 = \frac{1}{2}(1-\xi^2)(1-\eta)$$

$$N_6 = \frac{1}{2}(1+\xi)(1-\eta^2)$$

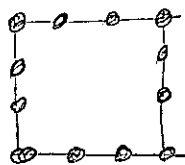
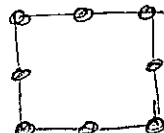
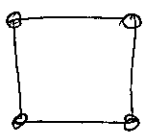
$$N_7 = \frac{1}{2}(1-\xi^2)(1+\eta)$$

$$N_8 = \frac{1}{2}(1-\xi)(1-\eta^2)$$

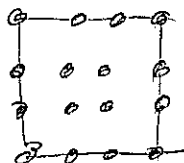
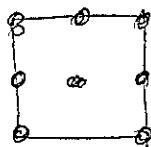
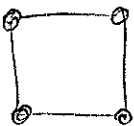
$n_{en}=5$	$n_{en}=6$	$n_{en}=7$	$n_{en}=8$
$-\frac{1}{2}N_5$			$-\frac{1}{2}N_8$
$-\frac{1}{2}N_5$	$-\frac{1}{2}N_6$		
	$-\frac{1}{2}N_6$	$-\frac{1}{2}N_7$	
		$-\frac{1}{2}N_7$	$-\frac{1}{2}N_8$

Famílias de Elementos

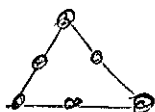
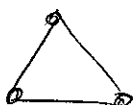
(i) Serendipity



(ii) Lagrange



(ii) Triângulos



...

Exercício 1 - p. 135

3.9. Integração Numérica: Quadratura de Gauss

seja $f: \Omega^e \subset \mathbb{R}^{n_{sd}} \rightarrow \mathbb{R}$. $\int_{\Omega^e} f(x) d\Omega = ?$

Por exemplo, $f(x) = \underline{B}^T \underline{a} \underline{B}$. A operação será efetuada no espaço- ξ (coordenadas naturais). Para $n_{sd} = 1$, temos,

$$\int_{\Omega^e} f(x) d\Omega = \int_{-1}^1 f(x(\xi)) x_{,\xi}(\xi) d\xi$$

• $n_{sd} = 2$

$$\int_{\Omega^e} f(x, y) d\Omega = \int_{-1}^1 \int_{-1}^1 f(x(\xi, \eta), y(\xi, \eta)) j(\xi, \eta) d\xi d\eta$$

• $n_{sd} = 3$

$$\int_{\Omega^e} f(x, y, z) d\Omega = \int_{-1}^1 \int_{-1}^1 \int_{-1}^1 f(x(\xi, \eta, \zeta), y(\xi, \eta, \zeta), z(\xi, \eta, \zeta)) j(\xi, \eta, \zeta) d\xi d\eta d\zeta$$

onde $j = \det(\partial x / \partial \underline{\xi}) \equiv \text{Jacobiano}$.

As integrais serão computadas numericamente, ou seja,

$$\int_{-1}^1 g(\xi) d\xi = \sum_{l=1}^{n_{int}} g(\tilde{\xi}_l) w_l + R \approx \sum_{l=1}^{n_{int}} g(\tilde{\xi}_l) w_l$$

$\left\{ \begin{array}{l} n_{int} = \text{numero de pontos de integração} \\ \tilde{\xi}_l = \text{coordenada do pto de integração} \\ w_l = \text{peso do l-ésimo ponto de integração} \end{array} \right.$

Quadratura de Gauss

- Ótima em 1D. Precisa de ordem $2n_{int}$ e alcançada por n_{int} pontos.

$$1. n_{int} = 1 \Rightarrow \tilde{\xi}_1 = 0; W_1 = 2; R = \frac{g(\xi)(\tilde{\xi})}{3}$$

$$2. n_{int} = 2 \Rightarrow \tilde{\xi}_1 = \pm \frac{1}{\sqrt{3}}; W_1 = W_2 = 1; R = \frac{g^{(4)}(\tilde{\xi})}{135}$$

$$3. n_{int} = 3 \Rightarrow \tilde{\xi}_{1,3} = -\sqrt{\frac{3}{5}}; W_{1,3} = 5/9; R = \frac{g^{(6)}(\tilde{\xi})}{15750}$$

$$\tilde{\xi}_2 = 0; W_2 = 8/9$$

Exemplo: Regra 4 2 pontos exata p/ um polinômio cúbico

$$g(\xi) = \alpha_0 + \alpha_1 \xi + \alpha_2 \xi^2 + \alpha_3 \xi^3$$

$$W_1 = W_2; \tilde{\xi}_1 = -\tilde{\xi}_2$$

$$\int_{-1}^1 g(\xi) d\xi = 2\alpha_0 + \frac{2}{3}\alpha_2 = \sum_{l=1}^2 g(\tilde{\xi}_l) W_l = 2W_2(\alpha_0 + \alpha_2 \tilde{\xi}_2^2)$$

\Downarrow

$$\begin{cases} 2 = 2W_2 \Rightarrow W_2 = W_1 = 1 \\ \frac{2}{3} = 2\tilde{\xi}_2^2 \Rightarrow \tilde{\xi}_2 = \pm \frac{1}{\sqrt{3}} \end{cases}$$

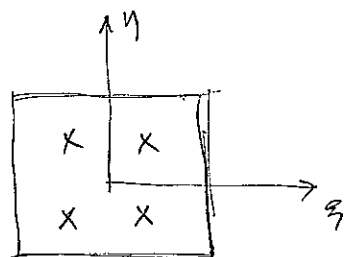
Exercício 2-pg. 143.

Quadratura de Gauss em \mathbb{R}^2

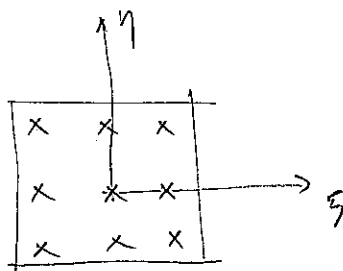
Regra de Gauss em ξ_1 !

$$\int_{-1}^1 \int_{-1}^1 g(\xi, \eta) d\xi d\eta \approx \int_{-1}^1 \left\{ \sum_{l^{(1)}=1}^{n_{int}^{(1)}} g(\tilde{\xi}_{l^{(1)}}^{(1)}, \eta) W_{l^{(1)}}^{(1)} \right\} d\eta \approx$$

$$\sum_{l^{(1)}=1}^{n_{int}^{(1)}} \sum_{l^{(2)}=1}^{n_{int}^{(2)}} g(\tilde{\xi}_{l^{(1)}}^{(1)}, \tilde{\eta}_{l^{(2)}}^{(2)}) W_{l^{(1)}}^{(1)} W_{l^{(2)}}^{(2)}$$



2x2



3x3

3.10 - Derivadas das Funções de Forma e Rotinas de Funções de Forma.

$$\begin{cases} N_{a,x} = N_{a,\xi} \xi_{,x} + N_{a,\eta} \eta_{,x} \\ N_{a,y} = N_{a,\xi} \xi_{,y} + N_{a,\eta} \eta_{,y} \end{cases} = (N_{a,\xi} \quad N_{a,\eta}) \begin{bmatrix} \xi_{,x} & \xi_{,y} \\ \eta_{,x} & \eta_{,y} \end{bmatrix}$$

As derivadas $N_{a,\xi}$ e $N_{a,\eta}$ podem ser computadas explicitamente. Entretanto, os termos da matriz nos.

Usando as relações inversas,

$$\begin{cases} x(\xi, \eta) = \sum_{a=1}^{n_{en}} N_a(\xi, \eta) x_a^e \\ y(\xi, \eta) = \sum_{a=1}^{n_{en}} N_a(\xi, \eta) y_a^e \end{cases}$$

podemos calcular a matriz

$$x_{,i,j} = \begin{bmatrix} x_{,\xi} & x_{,\eta} \\ y_{,\xi} & y_{,\eta} \end{bmatrix}$$

onde

$$\begin{cases} x_{,\xi} = \sum_{a=1}^{n_{en}} N_{a,\xi} x_a^e & ; & x_{,\eta} = \sum_{a=1}^{n_{en}} N_{a,\eta} x_a^e \\ y_{,\xi} = \sum_{a=1}^{n_{en}} N_{a,\xi} y_a^e & ; & y_{,\eta} = \sum_{a=1}^{n_{en}} N_{a,\eta} y_a^e \end{cases}$$

Portanto,

$$\begin{bmatrix} \xi_{,x} & \xi_{,y} \\ \eta_{,x} & \eta_{,y} \end{bmatrix} = (\underline{\underline{x}}_{,\underline{\underline{\xi}}})^{-1} = \frac{1}{j} \begin{bmatrix} y_{,\eta} & -x_{,\eta} \\ -y_{,\xi} & x_{,\xi} \end{bmatrix}$$

$$j = \det(\underline{\underline{x}}_{,\underline{\underline{\xi}}}) = x_{,\xi} y_{,\eta} - x_{,\eta} y_{,\xi}$$

3.12 Cálculo da Matriz de Rigidez de Elemento

$$\underline{\underline{k}}^e = \int_{\Omega} \underline{\underline{B}}^T \underline{\underline{D}} \underline{\underline{B}} d\Omega = \int_{\square} \underline{\underline{B}}^T \underline{\underline{D}} \underline{\underline{B}} j d\xi$$

$$\cong \sum_{l=1}^{nint} (\underline{\underline{B}}^T \underline{\underline{D}} \underline{\underline{B}} j) \Big|_{\tilde{\xi}_l} w_l$$

Se fizermos $\tilde{\underline{\underline{D}}} = j(\tilde{\xi}_l) w_l \underline{\underline{D}} \Rightarrow \underline{\underline{k}}^e = \sum_{l=1}^{nint} (\underline{\underline{B}}^T \tilde{\underline{\underline{D}}} \underline{\underline{B}})_l$

for $l = 1, \dots, nint$

calcule matriz $\underline{\underline{B}}$

calcule a matriz constitutiva $\tilde{\underline{\underline{D}}}$

multiplique $\tilde{\underline{\underline{D}}} * \underline{\underline{B}}$

multiplique $\underline{\underline{B}}^T * (\tilde{\underline{\underline{D}}} \underline{\underline{B}})$, levando em conta a simetria,

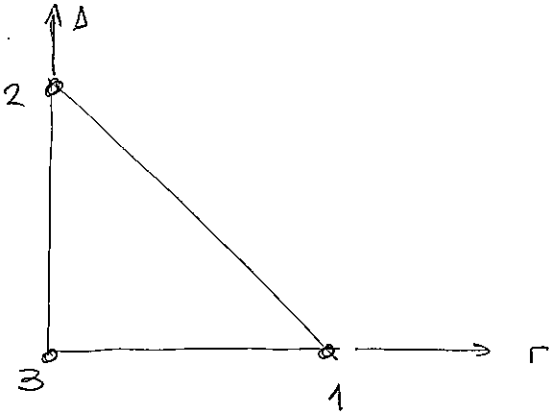
acumulando em $\underline{\underline{k}}^e$

enddo.

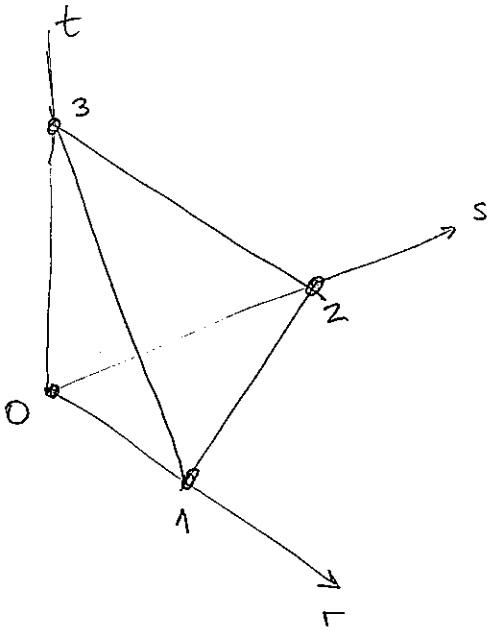
→ Exercício

2	ps	157 X
3	ps.	159 o X
6	ps	161 o v
7	ps	161 o v
12	ps.	163 v

3.13. Elementos Triangulares e Tetraedros



$$\begin{cases} N_1(r,s) = r \\ N_2(r,s) = s \\ N_3(r,s) = t(r,s) = 1 - r - s \end{cases}$$



$$\begin{cases} N_1(r,s,t) = r \\ N_2(r,s,t) = s \\ N_3(r,s,t) = t \\ N_4(r,s,t) = u(r,s,t) = 1 - r - s - t \end{cases}$$

Exercício : Usando as funções de interpolação acima, obtenha a matriz de rigidez do Δ da Eq. 3.1 através da formulação isoparamétrica.

3.8. Elementos Finitos p/ Condução de Calor em 2-D

A eq. de condução de calor em regime permanente em 2-D é:

$$\frac{\partial}{\partial x} \left(k \frac{\partial \phi}{\partial x} \right) + \frac{\partial}{\partial y} \left(k \frac{\partial \phi}{\partial y} \right) + Q = 0$$

$$\phi = \bar{\phi} \quad \text{em } \Gamma_{\phi}$$

$$k \frac{\partial \phi}{\partial n} = -\bar{q} \quad \text{em } \Gamma_q$$

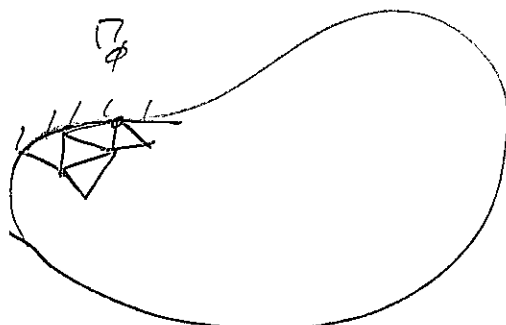
onde $\Gamma = \Gamma_{\phi} \cup \Gamma_q$, n é a normal exterior e

o problema é ISOTRÓPICO ($k_x = k_y = k$)

Aproximando o problema pelo MEF de maneira usual,

$$\phi \approx \hat{\phi} = \sum_{m=1}^M \phi_m N_m$$

pode-se notar que a c.c. em Γ_{ϕ} pode ser satisfeita imediatamente nos nós que \in a Γ_{ϕ} , especificando-se os valores nodais apropriados



A sentença de resíduos ponderados correspondente ao método de Galerkin com integração por partes é, no caso (refaça como exercício):

$$\int_{\Omega} \left(\frac{\partial N_l}{\partial x} k \frac{\partial \phi}{\partial x} + \frac{\partial N_l}{\partial y} k \frac{\partial \phi}{\partial y} \right) dx dy = \int_{\Omega} Q N_l dx dy - \int_{\Gamma_q} \bar{q} N_l d\Gamma$$

$$l=1,2,\dots,M$$

Inserindo a aproximação do DEF, chega-se ao problema matricial padrão,

$$\underline{K} \underline{\phi} = \underline{f}$$

onde

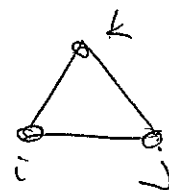
$$K_{lm}^e = \int_{\Omega^e} \left(\frac{\partial N_l^e}{\partial x} k \frac{\partial N_m^e}{\partial x} + \frac{\partial N_l^e}{\partial y} k \frac{\partial N_m^e}{\partial y} \right) dx dy$$

$$f_l^e = \int_{\Omega^e} Q N_l^e dx dy - \int_{\Gamma_q^e} N_l^e \bar{q} d\Gamma$$

e são ainda válidas as propriedades

$$K_{lm}^e = 0 \quad , \text{ se } l,m \neq i,j,k$$

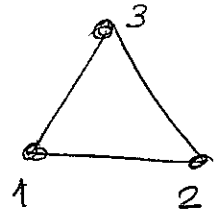
$$K_{lm}^e \neq 0 \quad \text{ se } l,m = i,j,k$$



3.8.1. Elementos Triangulares de Lado Reto:

Chamando-se de,

$$B_a = \nabla N_a = \begin{bmatrix} \frac{\partial N_a}{\partial x} \\ \frac{\partial N_a}{\partial y} \end{bmatrix}, \quad a=1,2,3$$



a expressão para K^e pode ser rearranjada como,

$$\underline{\underline{B}}^e = \begin{bmatrix} \frac{\partial N_i}{\partial x} & \frac{\partial N_j}{\partial x} & \frac{\partial N_k}{\partial x} \\ \frac{\partial N_i}{\partial y} & \frac{\partial N_j}{\partial y} & \frac{\partial N_k}{\partial y} \end{bmatrix}; \quad \underline{\underline{D}} = \begin{bmatrix} k & 0 \\ 0 & k \end{bmatrix}$$

$$\underline{\underline{K}}^e = \int_{\Omega} \underline{\underline{B}}^T \underline{\underline{D}} \underline{\underline{B}} d\Omega =$$

$$= \int_{\Omega} \begin{bmatrix} \frac{\partial N_i}{\partial x} & \frac{\partial N_i}{\partial y} \\ \frac{\partial N_j}{\partial x} & \frac{\partial N_j}{\partial y} \\ \frac{\partial N_k}{\partial x} & \frac{\partial N_k}{\partial y} \end{bmatrix} \begin{bmatrix} k & 0 \\ 0 & k \end{bmatrix} \begin{bmatrix} \frac{\partial N_i}{\partial x} & \frac{\partial N_j}{\partial x} & \frac{\partial N_k}{\partial x} \\ \frac{\partial N_i}{\partial y} & \frac{\partial N_j}{\partial y} & \frac{\partial N_k}{\partial y} \end{bmatrix} d\Omega$$

(verifique)

Resta-nos ainda estabelecer como serão efetuadas as integrações de forma conveniente.

4. Formulaco de Problemas Dependentes do Tempo 66

4.1. Caso Parablico: Equaco do Calor.

Este captulo trata da generalizaco da formulaco do Cap. 2 - conducco de calor em regime permanente - para problemas dependentes do tempo.

$$f: \Omega \times]0, T[\rightarrow \mathbb{R} \quad ; \quad f = f(\underline{x}, t)$$

$$g: \Gamma_g \times]0, T[\rightarrow \mathbb{R}$$

$$h: \Gamma_h \times]0, T[\rightarrow \mathbb{R}$$

Devese notar que Γ_g e Γ_h nao variam com o tempo.

Para que o problema seja bem-posto, uma condico inicial para a temperatura tem que ser especificada:

$$u_0: \Omega \rightarrow \mathbb{R}$$

Alm disso, temos:

$$\rho \rightarrow \text{densidade} \Rightarrow \rho = \rho(\underline{x})$$

$$c \rightarrow \text{capacidade} \Rightarrow c = c(\underline{x})$$

FORTIA FORTE

Dados f, g, h e u_0 , ache $u: \bar{\Omega} \times [0, T] \rightarrow \mathbb{R}$

tal que

$$\rho c u_{,t} + q_{i,i} = f \quad \text{em } \Omega \times]0, T[\quad (\text{Equaco do Calor})$$

$$u = g \quad \text{em } \Gamma_g \times]0, T[$$

$$-q_i n_i = h \quad \text{em } \Gamma_h \times]0, T[$$

$$u(\underline{x}, 0) = u_0(\underline{x}) \quad \underline{x} \in \Omega$$

$$\longrightarrow u_{,t} = \frac{\partial u}{\partial t} \quad ; \quad q_i = -k_{ij} u_{,j}$$

Seja V o espaço das funções peso ($w=0$ em Γ_g !). ⁶⁷

Note que $\forall w \in V$, $w = w(x)$ somente! Seja $S = S_t$ o espaço das funções teste. Note que S depende do tempo,

$$S = S_t = \{ u(\cdot, t) \mid u(x, t) = g(x, t), x \in \Gamma_g, u(\cdot, t) \in H^1(\Omega) \}$$

logo, a formulação fraca consiste em:

(w) { Dados f, g, h e u_0 , ache $u(t) \in S_t, t \in [0, T]$ tal que $\forall w \in V$,

$$\boxed{(w, \rho c \dot{u}) + a(w, u) = (w, f) + (w, h) \pi}$$

$$(w, \rho c u(0)) = (w, \rho c u_0)$$

Observação

$$\# \quad \dot{u} = \frac{\partial u}{\partial t} \quad ; \quad u(\cdot, t) = u(x, t) \quad ; \quad u(\cdot, 0) = u_0$$

$$\# \quad (w, \rho c \dot{u}) = \int_{\Omega} w \rho c \frac{\partial u}{\partial t} \, d\Omega$$

→ Exercício 4. π_g 420!

68

Para se desenvolver a formulação de Galerkin, precisamos construir funções $u^h \in \mathcal{S}^h$, tais que,

$$u^h = v^h + g^h$$

onde

$$\begin{cases} v^h(t) \in \mathcal{V}^h, & \text{para } \forall t, v^h(\cdot, t) \in \mathcal{V}^h \\ g^h(t) \in \mathcal{S}_t^h \end{cases}$$

e consequentemente,

$$u^h(\underline{x}, t) = v^h(\underline{x}, t) + g^h(\underline{x}, t)$$

Formulação de Galerkin

Dados $f, g, h \in u_0$, ache $u^h = v^h + g^h$, $u^h(t) \in \mathcal{S}_t^h$

tal que $\forall w^h \in \mathcal{V}^h$

$$(G) \left\{ \begin{array}{l} (w^h, \rho c v^h) + a(w^h, v^h) = (w^h, f) + (w^h, h)_\Gamma \\ \quad - (w^h, \rho c \ddot{g}^h) - a(w^h, \dot{g}^h) \end{array} \right.$$

$$(w^h, \rho c v^h(0)) = (w^h, \rho c u_0) - (w^h, \rho c \dot{g}^h(0))$$

Observação

A formulação de Galerkin é dita SPETI-DISCRETA já que o tempo permanece contínuo.

Interpolação

$$\left\{ \begin{aligned} v^h(\underline{x}, t) &= \sum_{A \in \mathcal{N}_{\eta_g}} N_A(\underline{x}) \underline{v}_A(t) \\ g^h(\underline{x}, t) &= \sum_{A \in \mathcal{N}_g} N_A(\underline{x}) g_A(t) \end{aligned} \right.$$

Observações

- A dependência do tempo é levada em conta apenas através dos valores nodais \underline{v}_A .
- As funções de forma são as mesmas dos capítulos anteriores — elas NÃO dependem de t !

Forma Matricial

Dado $\underline{F} :]0, T[\rightarrow \mathbb{R}^{n_{eq}}$, ache $\underline{d} : [0, T] \rightarrow \mathbb{R}^{n_{eq}}$ tal que,

$$\boxed{\begin{aligned} \underline{M} \dot{\underline{d}} + \underline{K} \underline{d} &= \underline{F}, \quad t \in]0, T[\\ \underline{d}(0) &= \underline{d}_0 \end{aligned}}$$

onde

$$\underline{M} = \sum_{e=1}^{n_{el}} \underline{A}^e (\underline{w}^e)$$

$$\underline{w} = [w_{ab}^e]$$

$$w_{ab}^e = \int_{\Omega^e} N_a \rho c N_b \, d\Omega$$

$$\underline{K} = \sum_{e=1}^{nel} \underline{A}(\underline{k}^e)$$

$$\underline{k}^e = [k_{ab}^e]$$

$$k_{ab}^e = \int_{\Omega^e} \underline{B}_a^T \underline{D} \underline{B}_b \, d\Omega$$

$$\underline{F}(t) = \underline{F}_{\text{nodal}}(t) + \sum_{e=1}^{nel} \underline{A}(\underline{f}^e(t))$$

$$\underline{f}^e = \{f_a^e\}$$

$$f_a^e = \int_{\Omega} N_a f \, d\Omega + \int_{\Gamma_h^e} N_a h \, d\Gamma - \sum_{b=1}^{neu} (k_{ab}^e g_b^e + w_{ab}^e \dot{g}_b^e)$$

$$\underline{d}_0 = \underline{\Gamma}^{-1} \sum_{e=1}^{nel} \underline{A}(\underline{\hat{d}}^e)$$

$$\underline{\hat{d}}^e = \{\hat{d}_a^e\}$$

$$\hat{d}_a^e = \int_{\Omega} N_a \rho c u_0 \, d\Omega - \sum_{a=1}^{neu} w_{ab}^e g_b^e(0)$$

Observações

#1 A única diferença com a formulação em regime permanente é a matriz de massa \underline{M} (\underline{M} tb é SPD! Verifique...).

#2 A formulação matricial é uma EDO.

#3 Na prática, a condição inicial é especificada diretamente nos nós $\Rightarrow \underline{d}_{0A} = u_0(x_A)$, $A \in \eta - \eta_g$. Para determinarmos $\underline{\dot{d}}_0$, solucionamos a eq. de equilíbrio, isto é,

$$\underline{M} \underline{\dot{d}}_0 = \underline{F}_0 - \underline{K} \underline{d}_0 \Rightarrow \underline{\dot{d}}_0 = \underline{M}^{-1} (\underline{F}_0 - \underline{K} \underline{d}_0)$$

4.2. Formas da matriz de massa.

• Massa Consistente

$$\underline{M} = \int_{\Omega} \underline{N}^T \underline{N} d\Omega$$

— Elemento Δ de lados retos:

$$m_{ab}^e = \rho c \int_{\Omega} \xi_a \xi_b d\Omega = \begin{cases} \frac{At}{6}, & a=b \\ \frac{At}{12}, & a \neq b \end{cases}$$

$$\underline{m}^e = \rho c A t \begin{bmatrix} \frac{1}{6} & \frac{1}{12} & \frac{1}{12} \\ \frac{1}{12} & \frac{1}{6} & \frac{1}{12} \\ \frac{1}{12} & \frac{1}{12} & \frac{1}{6} \end{bmatrix}$$

• Massa Diagonal ("Lumped")

— Elemento Δ

$$\underline{m}^e = \rho c A t \begin{bmatrix} 1/3 & 0 & 0 \\ 0 & 1/3 & 0 \\ 0 & 0 & 1/3 \end{bmatrix}$$

— Elemento Isoparamétrico Linear

$$\underline{m}^e = \frac{\rho c A t}{4} \begin{bmatrix} 1 & 0 & 0 & 0 \\ 0 & 1 & 0 & 0 \\ 0 & 0 & 1 & 0 \\ 0 & 0 & 0 & 1 \end{bmatrix}$$

— Diagonalização por Quadratura Nodal

$$\int_{\square} g(\xi) d\square \approx \sum_{a=1}^{n_{\text{en}}} g(\xi_a) W_a \quad \left(\begin{array}{l} \text{pontos de integração} \\ \text{coincidentes e/ou} \\ \text{n\acute{o}s} \end{array} \right)$$

$$m_{pq}^e = \delta_{ij} \int_{\Omega^e} N_a \rho c N_b d\Omega =$$

$$= \delta_{ij} \int_{\square} N_a \rho c N_b j d\square =$$

$$\approx \delta_{ij} \sum_{a=1}^{n_{\text{en}}} \underbrace{N_a(\xi_c)}_{\delta_{ac}} \rho c \underbrace{N_b(\xi_c)}_{\delta_{bc}} j(\xi_c) W_c =$$

$$= \begin{cases} \delta_{ij} \rho c j(\xi_a) W_a, & a=b \\ 0 & , a \neq b. \end{cases}$$

▷ Regra de Lobatto p/ ξ_a e W_a !

- Técnica de Soma das Linhas

$$\tilde{w}_{pq}^e = \begin{cases} \delta_{ij} \int_{\Omega^e} \rho c N_a d\Omega & , a=b \\ 0 & , a \neq b \end{cases}$$

Exemplo: Δ linear

$$\tilde{w}^{consist.} = \rho c A t \begin{bmatrix} \frac{1}{6} & \frac{1}{12} & \frac{1}{12} \\ \frac{1}{12} & \frac{1}{6} & \frac{1}{12} \\ \frac{1}{12} & \frac{1}{12} & \frac{1}{6} \end{bmatrix}$$

$$\tilde{w}^{sl} = \rho c A t \begin{bmatrix} 2/6 & 0 & 0 \\ 0 & 2/6 & 0 \\ 0 & 0 & 2/6 \end{bmatrix} \equiv \text{massa "lumped"}$$

- Técnica de Hinton et al \rightarrow Massa sempre positiva!

$$\tilde{w}_{pq}^e = \begin{cases} \alpha \delta_{ij} \int_{\Omega^e} \rho c N_a^2 d\Omega & , a=b \\ 0 & , a \neq b \end{cases}$$

$$\alpha = \int_{\Omega^e} \rho c d\Omega / \sum_{a=1}^{n_{en}} \int_{\Omega^e} \rho c N_a^2 d\Omega$$

Exercícios 7 e 8 - p. 445!

↑
quadático

5. Algoritmos para Problemas Parabólicos

74

5.1. Algoritmos "Um-Passo" para a Equação Semi-Discreta de Condução de Calor: O método Trapezoidal Generalizado

$$\boxed{\underline{M} \dot{\underline{d}} + \underline{K} \underline{d} = \underline{F}} \quad \text{e} \quad \boxed{\underline{d}(0) = \underline{d}_0}$$

Método Trapezoidal Generalizado

$$\boxed{\begin{aligned} \underline{M} \underline{v}_{n+1} + \underline{K} \underline{d}_{n+1} &= \underline{F}_{n+1} \\ \underline{d}_{n+1} &= \underline{d}_n + \Delta t \underline{v}_{n+\alpha} \\ \underline{v}_{n+\alpha} &= (1-\alpha) \underline{v}_n + \alpha \underline{v}_{n+1} \end{aligned}}$$

onde $\underline{d}_n \rightsquigarrow \underline{d}(t_n)$; $\underline{v}_n \rightsquigarrow \dot{\underline{d}}(t_n)$

$\underline{F}_{n+1} \rightsquigarrow \underline{F}(t_{n+1})$; $\Delta t \equiv$ intervalo de tempo

$$\alpha \in [0, 1]$$

α	Método
0	Diferenças p/ Frente
$\frac{1}{2}$	Regra Trapezoidal ; Crank-Nicolson
1	Diferenças p/ Trás

• Implementação 1: forma- \underline{v} .

- PREDIÇÃO:

$$\underline{\bar{d}}_{n+1} = \underline{d}_n + (1-\alpha) \Delta t \underline{v}_n$$

Logo,

$$\underline{\tilde{d}}_{n+1} = \underline{\bar{d}}_{n+1} + \alpha \Delta t \underline{v}_{n+1}$$

Substituindo na equação de equilíbrio,

$$(\underline{M} + \alpha \Delta t \underline{K}) \underline{v}_{n+1} = \underline{F}_{n+1} - \underline{K} \underline{\bar{d}}_{n+1}$$

- CORREÇÃO

$$\underline{\tilde{d}}_{n+1} = \underline{\bar{d}}_{n+1} + \alpha \Delta t \underline{v}_{n+1}$$

Observações

#1. Se $\alpha=0$, o método é dito EXPLÍCITO e a equação a ser resolvida é,

$$\underline{M} \underline{v}_{n+1} = \underline{F}_{n+1} - \underline{K} \underline{\bar{d}}_{n+1}.$$

Portanto, se \underline{M} for diagonal, a solução para \underline{v}_{n+1} é trivial. O avanço no tempo, se dá solucionando-se em t_{n+1} apenas com termos em t_n , já que $\underline{\bar{d}}_{n+1} = \underline{d}_{n+1} = \underline{d}_n + \Delta t \underline{v}_n$.

#2 Se $\alpha \neq 0$ o método é IMPLÍCITO. Nestes casos, deve-se solucionar um sistema de equações em cada instante, no qual a matriz de coeficientes é,

$$\underline{M}^* = \underline{M} + \alpha \Delta t \underline{K} \quad (\text{"Matriz de Massa Efetiva"})$$

#3. O lado direito do sistema de equações,

$$\underline{F}^* = \underline{F} - \underline{K} \underline{\bar{d}}_{n+1}$$

é conhecido como RESÍDUO. O termo,

$$\underline{K} \underline{\bar{d}}_{n+1} = \sum_{e=1}^{nel} \underline{A}^e (\underline{k}^e \underline{\bar{d}}_{n+1})$$

transm pode ser obtido através do "assembly".

#4. Esta forma de implementação pode ser generalizada para métodos IMPLÍCITOS-EXPLÍCITOS, como será visto adiante.

• Implementação 2 : forma-d.

Eliminando-se \underline{v}_{n+1} , temos,

$$\frac{1}{\alpha \Delta t} (\underline{M} + \alpha \Delta t \underline{K}) \underline{\bar{d}}_{n+1} = \underline{F}_{n+1} + \frac{1}{\alpha \Delta t} \underline{M} \underline{\bar{d}}_{n+1}$$

$$\underline{v}_{n+1} = \frac{\underline{\bar{d}}_{n+1} - \underline{\bar{d}}_{n+1}}{\alpha \Delta t}$$

Esta implementação é 'vantajosa' quando \tilde{M} é diagonal. Neste caso, o cálculo do resíduo, \tilde{F}^* é muito + económico.

5.2. Análise do Método Trapetoidal Generalizado.

Os algoritmos apresentados anteriormente devem ser CONVERGENTES, isto é, para um t_n fixo e

$\Delta t = t_n/n$, $\tilde{d}_n \rightarrow \underline{d}(t_n)$ qdo $\Delta t \rightarrow 0$. Para se estabelecer a convergência de um algoritmo dois conceitos devem ser estabelecidos: ESTABILIDADE e

CONSISTÊNCIA. Veremos que se a estabilidade e consistência são verificadas, então o algoritmo é convergente. Além disso, a PRECISÃO do algoritmo deve ser estudada. Por precisão entende-se a taxa de convergência qdo $\Delta t \rightarrow 0$. A técnica empregada para estudar estes tópicos será a da redução modal, onde o sistema de equações acoplado é reduzido a apenas 1 equação.

Redução Modal.

Seja o problema de autovalor associado a equação de equilíbrio transiente,

$$(\tilde{K} - \lambda_l^h \tilde{M}) \tilde{\psi}_l = \tilde{0} \quad l \in \{1, 2, \dots, n_q\}$$

onde $0 \leq \lambda_1^h \leq \lambda_2^h \leq \dots \leq \lambda_{n_{eq}}^h \equiv \text{AUTOVALORES}$ e

$\underline{\phi} = [\underline{\psi}_1, \underline{\psi}_2, \dots, \underline{\psi}_{n_{eq}}]$ os AUTO VETORES. Os

auto vetores são tais que,

$$\underline{\phi}^+ \underline{M} \underline{\phi} = \underline{I} \quad \text{ou} \quad \underline{\psi}_l^+ \underline{M} \underline{\psi}_m = \delta_{lm}$$

↑ condições de ORTONORMALIDADE

e além disso, constituem uma base para o $\mathbb{R}^{n_{eq}}$,

isto é, q. vetor em $\mathbb{R}^{n_{eq}}$ pode ser escrito como

uma combinação linear dos $\underline{\psi}_l$! Pré-multiplicando-se

o prob. de autovalor por $\underline{\phi}^+$,

$$\underline{\phi}^+ \underline{K} \underline{\phi} = \underline{\phi}^+ \underline{\Lambda} \underline{M} \underline{\phi} = \underline{0} \Rightarrow \underline{\phi}^+ \underline{K} \underline{\phi} = \underline{\Lambda}, \text{ ou seja,}$$

$$\underline{\psi}_l^+ \underline{K} \underline{\psi}_m = \lambda_l^h \delta_{lm} \quad \text{e} \quad \underline{\Lambda} = \begin{bmatrix} \lambda_1 & & 0 \\ & \ddots & \\ 0 & & \lambda_{n_{eq}} \end{bmatrix}$$

Seja agora a equação semi-discreta de condução de calor,

$$\underline{M} \underline{\ddot{u}} + \underline{K} \underline{\dot{u}} = \underline{F}$$

Pré-multiplicando... por $\underline{\phi}^+$, temos,

$$\underline{\phi}^+ \underline{M} \underline{\ddot{u}} + \underline{\phi}^+ \underline{K} \underline{\dot{u}} = \underline{\phi}^+ \underline{F}$$

e introduzindo-se agora a transformação de coordenadas,

$$\underline{d}(t) = \underline{\Phi} \underline{x}(t) \quad \text{e} \quad \underline{x} = \underline{\Phi} \underline{\dot{z}}(t)$$

onde as novas coordenadas \underline{x} e $\underline{\dot{z}}$ são os coeficientes de Fourier, temos,

$$\underbrace{\underline{\Phi}^T \underline{M} \underline{\Phi}}_{\underline{\Gamma}} \underline{\dot{z}} + \underbrace{\underline{\Phi}^T \underline{K} \underline{\Phi}}_{\underline{\Delta}} \underline{z} = \underline{\Phi}^T \underline{F}$$



$$\boxed{\underline{\dot{z}} + \underline{\Delta} \underline{z} = \underline{\Phi}^T \underline{F}}$$

A equação acima é um sistema desacoplado de EDO, cuja condição inicial é

$$\underline{d}_0 = \underline{\Phi} \underline{x}_0 \Rightarrow \underline{\Phi}^T \underline{M} \underline{d}_0 = \underline{\Phi}^T \underline{M} \underline{\Phi} \underline{x}_0 \Rightarrow \boxed{\underline{x}_0 = \underline{\Phi}^T \underline{M} \underline{d}_0}$$

ou seja, $\underline{\Phi}^{-1} = \underline{\Phi}^T \underline{M}!$

Desta forma, basta-nos estudar uma equação do sistema desacoplado para conhecermos o comportamento dos algoritmos - logo, o nosso problema de valor inicial modelado pode ser enunciado como:

$$\boxed{\begin{aligned} \text{Dado } f:]0, T[\text{ ache } d = d(t) \text{ tal que} \\ d + \chi^n d = f \\ d(0) = d_0 \end{aligned}}$$

onde d é uma componente de \underline{x} !

Algoritmo Trapezoidal Generalizado

$$\underline{d}_n = \underline{\Phi} \underline{x} \quad \text{e} \quad \underline{x} = \underline{M} \underline{\Phi} \underline{d}_n$$

$$\underline{d}_{n+1} = \underline{\Phi} \underline{x}_{n+1} \quad ; \quad \underline{x}_{n+1} = \underline{M} \underline{\Phi} \underline{d}_{n+1}$$

Para o problema ~~modelo~~ acoplado,

$$\begin{cases} \underline{\Phi}^T (\underline{M} + \alpha \Delta t \underline{K}) \underline{\Phi} \underline{x}_{n+1} - \underline{\Phi}^T (\underline{M} - (1-\alpha) \Delta t \underline{K}) \underline{\Phi} \underline{x}_n = \Delta t \underline{\Phi}^T \underline{F}_{n+\alpha} \\ \underline{F}_{n+\alpha} = (1-\alpha) \underline{F}_n + \alpha \underline{F}_{n+1} \end{cases}$$

Para uma equação desacoplada,

$$\begin{cases} (\Delta + \alpha \Delta t \lambda^h) \underline{d}_{n+1} = (1 - (1-\alpha) \Delta t \lambda^h) \underline{d}_n + \Delta t f_{n+\alpha} \\ \text{do dado} \end{cases}$$

Observações

#1 Validade do problema modelo \Rightarrow Convergência de $\underline{d}_n \rightarrow \underline{d}(t_n)$:

seja $\underline{e}(t_n) = \underline{d}_n - \underline{d}(t_n)$ e $e_\ell(t_n) = d_\ell - d_\ell(t_n) \quad \forall \ell=1,2,\dots,n_{eq}$

$\underline{E} = [e_1, e_2, \dots, e_{n_{eq}}]^T$ então:

$$\underline{e}(t_n)^T \underline{M} \underline{e}(t_n) = (\underline{\Phi} \underline{E})^T \underline{M} (\underline{\Phi} \underline{E}) = \underline{E}^T \underline{\Phi}^T \underline{M} \underline{\Phi} \underline{E} = \underline{E}^T \underline{\Pi} \underline{E}$$

Logo $\underline{e}(t_n)^T \underline{\Pi} \underline{e}(t_n) \rightarrow 0$ se e somente se $\underline{E}^T \underline{\Pi} \underline{E} \rightarrow 0$,

isto é $[e_\ell(t_n)]^2 \rightarrow 0, \ell=1,2,\dots,n_{eq}$. Como $\underline{\Pi}$ é SPD,

a quantidade $\underline{e}(t_n)^T \underline{\Pi} \underline{e}(t_n) \rightarrow 0$ se e somente se $\underline{e}(t_n) \rightarrow 0$,

portanto, só é necessário considerar o problema modelo!

#2.

$$\underline{M} \dot{\underline{d}} + \underline{K} \underline{d} = \underline{F}$$

$$\underline{d}(0) = \underline{d}_0$$

DISCRETIZAÇÃO

TEMPORAL

$$(\underline{M} + \alpha \Delta t \underline{K}) \underline{d}_{n+1} =$$

$$(\underline{M} - (1-\alpha) \Delta t \underline{K}) \underline{d}_n +$$

$$+ \Delta t \underline{F}_{n+1}$$

$$\underline{d}_0 \text{ dado}$$

DECOMPOSIÇÃO
MODAL

$$\dot{d} + \lambda^h d = F$$

$$d(0) = d_0$$

DISCRETIZAÇÃO

TEMPORAL

$$(1 + \alpha \Delta t \lambda^h) d_{n+1} =$$

$$(1 - (1-\alpha) \Delta t \lambda^h) d_n +$$

$$\Delta t f_{n+1}$$

$$d_0 \text{ dado}$$

Estabilidade

Seja o problema homogêneo

$$\dot{d} + \lambda^h d = 0$$

$$\text{solved} \Rightarrow d(t_{n+1}) = e^{-\lambda^h(t_{n+1}-t_n)} d(t_n) = e^{-\lambda^h \Delta t} d(t_n)$$

Em consequência:

$$\left\{ \begin{array}{l} |d(t_{n+1})| < |d(t_n)|, \quad \lambda^h > 0 \\ d(t_{n+1}) = d(t_n), \quad \lambda^h = 0 \end{array} \right.$$

As condições acima devem ser atadas também no caso discreto. Para o problema modal,

$$(1 + \alpha \Delta t \lambda^n) d_{n+1} = (1 - (1 - \alpha) \Delta t \lambda^n) d_n$$

Já que $(1 + \alpha \Delta t \lambda^n) > 0$, $\forall \alpha, \Delta t, \lambda^n$ podemos escrever:

$$d_{n+1} = A d_n$$

onde $A = \frac{(1 - (1 - \alpha) \Delta t \lambda^n)}{(1 + \alpha \Delta t \lambda^n)}$

é o FATOR DE AMPLIFICAÇÃO!

As condições de estabilidade requerem que:

$$\begin{cases} |d_{n+1}| < |d_n| & , \lambda^n > 0 \\ d_{n+1} = d_n & , \lambda^n = 0 \end{cases}$$

A segunda condição é sempre satisfeita, já que $A(\lambda^n=0) = 1$!

A primeira é equivalente a,

$$|A| < 1 \quad ; \quad \lambda^n > 0$$

ou seja,

$$\left| -1 < \frac{(1 - (1 - \alpha) \Delta t \lambda^n)}{(1 + \alpha \Delta t \lambda^n)} < 1 \right| , \lambda^n > 0$$

A desigualdade $A < 1$ é satisfeita $\forall \alpha, \Delta t, \lambda^n > 0$,
porém $A > -1$ só é satisfeita se $\alpha \geq 1/2$. Porém
se $\alpha < 1/2$ a desigualdade implica em

$$\lambda^n \Delta t < \frac{2}{(1 - 2\alpha)}$$

o que significa uma restrição em Δt . Qd maior λ^h , menor o Δt ! Tais algoritmos são ditos CONDICIONALMENTE ESTÁVEIS

Observações :

#1 Algoritmos condicionalmente estáveis

$$\Delta t < \frac{2}{[(1-2\alpha)\lambda_l^h]}, \quad l=1,2,\dots,n_{\text{eq}}$$

Logo, $\Delta t < 2/[(1-2\alpha)\lambda_{\text{neq}}^h]$! Em problemas de condução de calor pode-se mostrar que $\lambda_{\text{neq}}^h = O(h^{-2})$
 $\Rightarrow \Delta t < \text{cte. } h^2$.

Resumo : Estabilidade de Métodos Trapetoriais Generalizados

Fator de Amplificação: $A = \frac{1 - (1-\alpha)\Delta t \lambda^h}{1 + \alpha \Delta t \lambda^h}$

Condição de Estabilidade: $|A| < 1$ para $\lambda^h = \lambda_{\text{neq}}^h$

Estabilidade Incondicional: $\alpha \geq 1/2$

Estabilidade Condicional: $\alpha < 1/2$, $\Delta t < \frac{2}{(1-2\alpha)\lambda_{\text{neq}}^h}$

$$\Delta t_{cr} < \frac{2}{\lambda_{max}^h} \quad (\alpha=0)$$

Coeficiente de Rayleigh

$$\lambda = \frac{\underline{d}^T \underline{K} \underline{d}}{\underline{d}^T \underline{M} \underline{d}} \quad (\text{Coeficiente de Rayleigh})$$

Se \underline{d} aproxima o ínfimo ~~de~~ autovalor, então
 $\lambda = \lambda_i^h (O(h^2))$. Entretanto, é válida a relação

$$\lambda_{min} \leq \frac{\underline{v}^T \underline{K} \underline{v}}{\underline{v}^T \underline{M} \underline{v}} \leq \lambda_{max} \quad (\underline{M} \text{ PD}!)$$

Um valor limite p/ λ_{max} pode ser obtido
 levando em conta 1 elemento finito

$$\det [\underline{K}^e - \lambda^i \underline{M}^e] = 0$$

e de acordo com Irons,

$$\lambda_{max}^h \leq \lambda_{max}^i$$

Portanto,

$$\Delta t_{cr} \approx \frac{2}{\lambda_{max}^i}$$

Convergência

O problema modelo discreto pode ser escrito na forma:

$$\boxed{d_{n+1} - A d_n - L_n = 0} \quad (*)$$

onde a "carga", $L_n = \Delta t f_{n+1} / (1 + \alpha \Delta t \lambda^h)$. Substituindo ~~os valores de~~ d_n e d_{n+1} por seus valores exatos, podemos obter a expressão,

$$\boxed{d(t_{n+1}) - A d(t_n) - L_n = \Delta t \cdot \tau(t_n)} \quad (*')$$

onde $\tau(t_n)$ é o ERRO DE TRUNCAMENTO LOCAL.

Se $|\tau(t_n)| \leq c \Delta t^k$, $\forall t \in [0, T]$ onde $c \in \mathbb{R}^+$ não depende de Δt e $k > 0$, o algoritmo definido pela equação discreta (*) é dito CONSISTENTE. k é conhecido como ordem de precisão ou taxa de convergência.

PROPOSIÇÃO: Os métodos trapetoidais generalizados são consistentes e $k=1 \quad \forall \alpha \in [0, 1]$, exceto $\alpha=1/2 \Rightarrow k=2$.

Prova \rightarrow baseada na expansão em série de Taylor de $d(t_{n+1})$ e $d(t_n)$ em torno de t_{n+k} .

$$\boxed{\tau = (1 - 2\alpha) O(\Delta t) + O(\Delta t^2)} \quad \left| \right.$$

Observação

A regra trapezoidal ($\alpha = 1/2$) é o ÚNICO membro da família que possui $k=2$!!

Teorema: Considere as equações (*) e (**). Seja t_n fixo e assumamos válidas as seguintes condições:

(i) $|A| \leq 1$ (ESTABILIDADE)

(ii) $|Z(t)| \leq c \Delta t^k$, $t \in [0, T]$, $k > 0$ (CONSISTÊNCIA)

Então: $e(t_n) \rightarrow 0$ quando $\Delta t \rightarrow 0$.

Prova: (*) - (**)

$$d_{n+1} - d(t_{n+1}) = A(d_n - d(t_n)) - \Delta t Z(t_n)$$

$$\boxed{e(t_{n+1}) = A e(t_n) - \Delta t Z(t_n)} \quad \text{EQUAÇÃO DO ERRO}$$

Mas, $A e(t_n) = A [A e(t_{n-1}) - \Delta t Z(t_{n-1})] \Rightarrow$

$$e(t_{n+1}) = A^2 e(t_{n-1}) - \Delta t A Z(t_{n-1}) - \Delta t Z(t_n)$$

Repetindo-se este processo, chega-se a:

$$\boxed{e(t_{n+1}) = A^{n+1} e(0) - \Delta t \sum_{i=0}^n A^i Z(t_{n-i})}$$

(97)

já que $e(0) = d_0 - d(0) = 0$. Tomando-se os módulos,

$$|e(t_n)| = \Delta t \left| \sum_{i=0}^{n-1} A^i \tau(t_{n-1-i}) \right|$$

$$\leq \Delta t \sum_{i=0}^{n-1} |A^i| |\tau(t_{n-1-i})|$$

$$\leq \Delta t \sum_{i=0}^{n-1} |\tau(t_{n-1-i})|$$

ESTABILIDADE

$$\leq t_n \max |\tau(t)|$$

 $t \in [0, T]$

$$\leq t_n C \Delta t^k$$

CONSISTÊNCIA

Logo, $e(t_n) \rightarrow 0$ quando $\Delta t \rightarrow 0$ e a taxa de convergência é k !

Observação:

#1 Este teorema é uma forma particular do Teorema de Lax \Rightarrow CONSISTÊNCIA + ESTABILIDADE \Rightarrow NECESSÁRIO E SUFICIENTE PARA CONVERGÊNCIA.

Exercício 2.07 pg 473/477

(8)

Método da Energia (Envelope Alternativo p/ Estabilidade)

$$\left\{ \begin{array}{l} [\underline{d}_n] = \underline{d}_{n+1} - \underline{d}_n \\ \langle \underline{d}_n \rangle = \frac{\underline{d}_{n+1} + \underline{d}_n}{2} \end{array} \right. \Rightarrow \langle \underline{d}_n \rangle^T \underline{M} [\underline{d}_n] = \frac{1}{2} [\underline{d}_n^T \underline{M} \underline{d}_n] \\ = \frac{1}{2} \left\{ \underline{d}_{n+1}^T \underline{M} \underline{d}_{n+1} - \underline{d}_n^T \underline{M} \underline{d}_n \right\}$$

Reescrevendo-se as equações do método temporal generalizado

$$\underline{d}_{n+1} = \underline{d}_n + \Delta t \underline{v}_{n+1/2} \Rightarrow [\underline{d}_n] = \Delta t \underline{v}_{n+1/2}$$

$$\underline{v}_{n+1/2} = (1-\alpha) \underline{v}_n + \alpha \underline{v}_{n+1} \Rightarrow [\underline{d}_n] = \Delta t \left(\langle \underline{v}_n \rangle + \left(\alpha - \frac{1}{2}\right) [\underline{v}_n] \right)$$

Escrevendo-se a equação de equilíbrio em $n+1/2$

$$\underline{M} \underline{v}_{n+1/2} + \underline{K} \underline{d}_{n+1/2} = \underline{F}_{n+1/2} \Rightarrow \frac{1}{\Delta t} \underline{M} [\underline{d}_n] + \underline{K} \underline{d}_{n+1/2} = \underline{F}_{n+1/2}$$

Pre-multiplicando-se por $\langle \underline{d}_n \rangle^T$

$$\frac{1}{\Delta t} \langle \underline{d}_n \rangle^T \underline{M} [\underline{d}_n] + \langle \underline{d}_n \rangle^T \underline{K} \underline{d}_{n+1/2} = \langle \underline{d}_n \rangle^T \underline{F}_{n+1/2}$$

$$\frac{1}{2\Delta t} [\underline{d}_n^T \underline{M} \underline{d}_n] = - \langle \underline{d}_n \rangle^T \underline{K} \underline{d}_{n+1/2} + \langle \underline{d}_n \rangle^T \underline{F}_{n+1/2} =$$

$$= - \langle \underline{d}_n \rangle^T \underline{K} \left(\langle \underline{d}_n \rangle + \left(\alpha - \frac{1}{2}\right) [\underline{d}_n] \right) + \langle \underline{d}_n \rangle^T \underline{F}_{n+1/2} =$$

$$= - \langle \underline{d}_n \rangle^T \underline{K} \langle \underline{d}_n \rangle - \frac{(\alpha - 1/2)}{2} [\underline{d}_n^T \underline{K} \underline{d}_n] + \langle \underline{d}_n \rangle^T \underline{F}_{n+1/2} =$$

~~Resposta 2.0 4.13/4.15!~~

Rearranjando,

$$\underline{d}_{n+1}^T \underline{A} \underline{d}_{n+1} = \underline{d}_n^T \underline{A} \underline{d}_n - 2\Delta t \langle \underline{d}_n^T \rangle \underline{K} \langle \underline{d}_n^T \rangle + 2\Delta t \langle \underline{d}_n^T \rangle \underline{F}_{n+1}$$

onde $\underline{A} = \underline{I} + (\alpha - \frac{1}{2}) \Delta t \underline{K}$

mas

$$\underline{d}_{n+1}^T \underline{A} \underline{d}_{n+1} \leq \underline{d}_n^T \underline{A} \underline{d}_n + 2\Delta t \langle \underline{d}_n^T \rangle \underline{F}_{n+1}$$

para o caso homogêneo:

$$\underline{d}_{n+1}^T \underline{A} \underline{d}_{n+1} \leq \underline{d}_n^T \underline{A} \underline{d}_n \quad \forall n.$$

expandindo-se em termos dos autovalores, $\underline{d}_{n+1} = \underline{\Phi} \underline{x}_{n+1}$, $\underline{d}_n = \underline{\Phi} \underline{x}_n$

$$\underline{x}_{n+1}^T \underline{\Phi}^T \underline{A} \underline{\Phi} \underline{x}_{n+1} \leq \underline{x}_n^T \underline{\Phi}^T \underline{A} \underline{\Phi} \underline{x}_n$$

$$\underline{x}_{n+1}^T \left[\underline{I} + (\alpha - \frac{1}{2}) \Delta t \underline{\Lambda} \right] \underline{x}_{n+1} \leq \underline{x}_n^T \left[\underline{I} + (\alpha - \frac{1}{2}) \Delta t \underline{\Lambda} \right] \underline{x}_n$$

Portanto:

$$1 + (\alpha - \frac{1}{2}) \Delta t \lambda_\ell^n > 0, \quad \forall \ell = 1, 2, \dots, nq$$

que é a mesma condição de estabilidade estabelecida anteriormente.

~~Exercício 2~~ ~~473/479~~

5.3. Algoritmos Baseados em Separação dos Operadores e Partículas de Malhas.

Algoritmo Predictor-Corretor

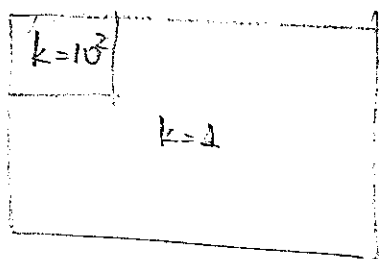
- o Predição: $\bar{d}_{n+1} = d_n + (1-\alpha) \Delta t v_n$
- o Equilíbrio: $M v_{n+1} + K \bar{d}_{n+1} = F_{n+1}$
- o Correção: $d_{n+1} = \bar{d}_{n+1} + \alpha \Delta t v_{n+1}$

* Observações

* Um método explícito predictor-corrector implica em substituir o cálculo de equilíbrio por (a=0!).

$$\square d_{n+1} = \bar{d}_{n+1} = F_{n+1} \quad (Ex2, Tg443!).$$

Algoritmos Implícitos-Explícitos



Heterogeneidades



Malhas Irregulares

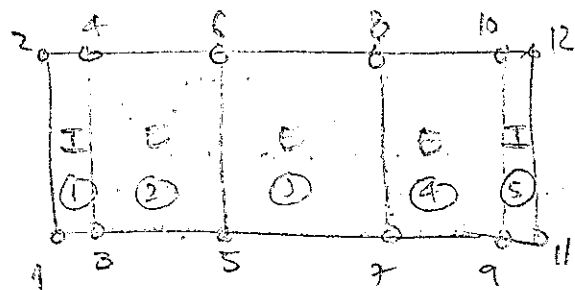
Em ambos os casos, nas regiões assinaladas, o Δt necessário para o método explícito é muito pequeno. Porém, fora destas regiões, este Δt já é muito maior.

Portanto, a ideia é de se utilizar um Δt compatível com um método implícito (incondicionalmente estável) nas regiões que requerem um Δt muito pequeno para o método explícito, e um algoritmo explícito nas regiões que podem ser integradas eficientemente com este Δt com um operador explícito!

Ingredientes Básicos

- # Um operador implícito
- # Um operador explícito predictor-corrector, construído de forma compatível com um dado operador implícito
- # Uma escala de refinamento compatível

Considere um modelo de elementos finitos nos quais os elementos são divididos em 2 grupos, um IMPLÍCITO (I) e outro EXPLÍCITO (E).



$$\underline{M}^I, \underline{K}^I$$

$$\underline{M}^E, \underline{K}^E, \underline{M}^E \text{ diagonal}$$

Portanto,

$$\underline{M} \underline{v}_{n+1} + \underline{K}^I \underline{d}_{n+1} + \underline{K}^E \underline{d}_{n+1} = \underline{F}_{n+1}$$

ou seja

$$\underline{M} = \underline{M}^I + \underline{M}^E$$

$$\underline{K} = \underline{K}^I + \underline{K}^E$$

$$\underline{F} = \underline{F}^I + \underline{F}^E$$

Substituindo-se as expressões correspondentes, chegamos a,

$$\underline{M}^* \underline{\ddot{v}}_{n+1} = \underline{F}_{n+1} - \underline{K} \underline{\bar{d}}_{n+1}$$

$$\underline{M}^* = \underline{M} + \alpha \Delta t \underline{K}^I$$

Note que a matriz de massa efetiva \underline{M}^* é afetada na parte implícita da partícula. Além disso, a contribuição da matriz de rigidez da partícula implícita resulta numa estrutura em banda (skyline) somente nas regiões correspondentes a contribuições dos elementos implícitos.

	1	2	3	4	5	6	7	8	9	10	11	12
1	1	1	1	1	1	1	1	1	1	1	1	1
2	1	1	1	1	1	1	1	1	1	1	1	1
3	1	1	1	1	1	1	1	1	1	1	1	1
4	1	1	1	1	1	1	1	1	1	1	1	1
5	1	1	1	1	1	1	1	1	1	1	1	1
6	1	1	1	1	1	1	1	1	1	1	1	1
7	1	1	1	1	1	1	1	1	1	1	1	1
8	1	1	1	1	1	1	1	1	1	1	1	1
9	1	1	1	1	1	1	1	1	1	1	1	1
10	1	1	1	1	1	1	1	1	1	1	1	1
11	1	1	1	1	1	1	1	1	1	1	1	1
12	1	1	1	1	1	1	1	1	1	1	1	1

$$= \underline{M}^*$$

ou seja,

$$\left(\underline{M}^*\right)^1 = \underline{M}^1 + \alpha \Delta t \underline{K}^1$$

$$\left(\underline{M}^*\right)^2 = \underline{M}^2 \quad (\text{diagonal})$$

$$\left(\underline{M}^*\right)^3 = \underline{M}^3 \quad (\text{diagonal})$$

$$\left(\underline{M}^*\right)^4 = \underline{M}^4 \quad (\text{diagonal})$$

$$\left(\underline{M}^*\right)^5 = \underline{M}^5 + \alpha \Delta t \underline{K}^5$$

Observação

≡ Se os elementos correspondentes às partições I e E não mudam ao longo do tempo (PARTIÇÃO-FIXA), os esquemas I/E são facilmente implementados em códigos de elementos finitos que utilizam um solucionador skyline.

Algoritmos Predictor-Multicorretoras

$i = 0$ (contador da iteração)

$$\left. \begin{aligned} \underline{d}_{n+1}^{(0)} &= \underline{\bar{d}}_{n+1} = \underline{d}_n + (1-\alpha) \Delta t \underline{F}_n \\ \underline{v}_{n+1}^{(0)} &= \underline{0} \end{aligned} \right\} \text{PREDIÇÃO}$$

for $i=0,1,2, \dots$, until convergence do

$$\Delta F_{n+1} = \sum_{e=1}^{n+1} \left(f_{n+1}^{ext} - \frac{1}{2} m \dot{v}_{n+1}^{e(i)} - \frac{1}{2} k^e d_{n+1}^{e(i)} \right)$$

$$\underline{M}^* \Delta \underline{v} = \Delta \underline{F}_{n+1}^{(i)}$$

$$\underline{v}_{n+1}^{(i)} = \underline{v}_{n+1}^{(i)} + \Delta \underline{v}$$

$$\underline{d}_{n+1}^{(i)} = \underline{d}_{n+1}^{(i-1)} + \Delta t \Delta \underline{v}_{n+1}^{(i)}$$

until

A definição de \underline{M}^* é originária da equação de equilíbrio discreta. Para métodos I/E ela tem a forma,

$$\underline{M} \underline{v}_{n+1}^{(i+1)} + \underline{K}^I \underline{d}_{n+1}^{(i+1)} + \underline{K}^E \underline{d}_{n+1}^{(i)} = \underline{F}_{n+1}$$

o que significa que,

$$\underline{M}^* = \underline{M} + \Delta t \underline{K}^I$$

Observações

- #1. Se apenas 1 passo é efetuado, o algoritmo é equivalente ao anterior.
- #2. Uma análise completa da estabilidade do algoritmo PNC não foi efetuada até a presente data. Entretanto, pode-se mostrar que cada passo aumenta a ordem de precisão do método. Ou seja, ele é ao menos $O(\Delta t)$!
- #3. Note que da forma que o vetor de resíduos (ΔF^*) foi escrito, há uma independência em relação à consideração da massa. Ou seja, é possível formular um algoritmo explícito predictor-corrector no qual a massa que entra no cálculo de ΔF^* é constante. Ou seja, o algoritmo irá convergir para a solução implícita correspondente, numa iteração tipo Jacobi. De forma geral, qualquer que seja a forma de F^* , se no lado direito a massa for constante, o algoritmo irá convergir para a solução implícita correspondente.

6. Problemas Hiperbólicos

6.0. Preliminares

Bibliografia

- C. Johnson - "Numerical Solutions of Partial Differential Equations by the Finite Element Method", Cambridge Press, 1987 (Cap. 9)
- O. C. Zienkiewicz e R. L. Taylor, "The Finite Element Method", 4th Edition, Vol. 2, 1991, (Cap. 12).
- A. N. Brooks e T. J. R. Hughes, "Streamline Upwind/Petrov-Galerkin Formulations for Convection Dominated Flows with Particular Emphasis on the Incompressible Navier-Stokes Equations", Comp. Meth. App. Mech. Engng., 32, pp. 199-259, 1982.

Alguns Conceitos Matemáticos

Seja a equação de convecção-difusão,

$$\frac{\partial u}{\partial t} + \operatorname{div}(u\beta) + \sigma u - \varepsilon \nabla^2 u = 0 \quad \text{em } \Omega \times I$$

u - escalar representando uma quantidade a ser transportada (concentração de um fluido, por exemplo).

β - campo de velocidades conhecido
 $\beta \in \mathbb{R}^{n_{\beta}}$, isto é $\beta = (\beta_x, \beta_y)$ em \mathbb{R}^2 , ou $\beta = (\beta_x, \beta_y, \beta_z)$ em \mathbb{R}^3 .

σ - coeficiente de absorção

ε - coeficiente de difusão.

$\Omega \in \mathbb{R}^{n_{\Omega}}$ e $I = [0, T]$

A equação acima é do tipo hiperbólica-parabólica. O caráter hiperbólico ou parabólico depende fundamentalmente da magnitude das grandezas β e ϵ . Se ϵ for pequeno, a equação é predominantemente hiperbólica. Em particular, se $\epsilon=0$, temos a equação puramente hiperbólica,

$$\frac{\partial u}{\partial t} + \operatorname{div}(u\beta) + \sigma u = 0 \quad \text{em } \Omega \times I$$

ou

$$\frac{\partial u}{\partial t} + \beta \cdot \nabla u + \gamma u = 0 \quad \text{em } \Omega \times I$$

onde $\gamma = \sigma + \operatorname{div}\beta$. Considerando inicialmente o problema puramente hiperbólico estacionário (u, β não dependem do tempo),

$$\beta \cdot \nabla u + \gamma u = 0 \quad \text{em } \Omega.$$

As linhas de corrente (streamlines), correspondentes ao campo de velocidades β , são as curvas $\underline{x}(s)$,

$\underline{x} = (x_1, x_2, \dots, x_{nsd})$, solução do sistema de EDO,

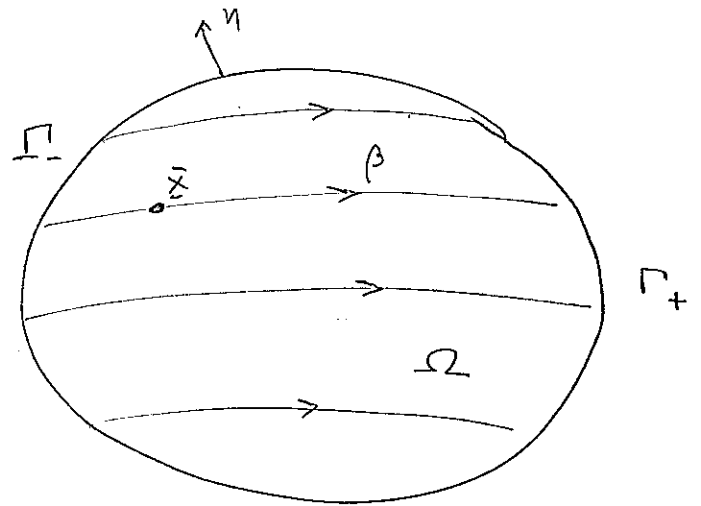
$$\frac{d x_i}{d s} = \beta_i(\underline{x}), \quad i=1, \dots, nsd.$$

Estas curvas, parametrizadas por s , são também chamadas de CARACTERÍSTICAS. Assumindo que β é Lipschitz-continua (isto é, $\|\beta(x) - \beta(y)\| \leq C\|x - y\|, \forall x, y \in \Omega, t > 0$)

↳ as curvas não se cruzam!

existe, para um $\text{pto } \underline{\bar{x}} \in \Omega$, exatamente 1 característica $\underline{x}(s)$ passando por $\underline{\bar{x}}$, ou seja, existe somente uma única função $\underline{x}(s)$, tal que

$$\begin{cases} \frac{d\underline{x}_i}{ds} = \beta_i(\underline{x}), \quad i=1, \dots, n-1 \\ \underline{x}(0) = \underline{\bar{x}} \end{cases}$$



Agora se $\underline{x}(s)$ é uma característica, então,

$$\frac{d}{ds} (u(\underline{x}(s))) = \sum_{i=1}^{n-1} \frac{\partial u}{\partial x_i} \frac{dx_i}{ds} = \sum_{i=1}^{n-1} \frac{\partial u}{\partial x_i} \beta_i = \beta \cdot \nabla u$$

Logo,

$$\frac{d}{ds} (u(\underline{x}(s))) + \gamma u(\underline{x}(s)) = 0 \quad (*)$$

Portanto, ao longo de cada característica a EDP é reduzida a uma EDO! Se u é conhecido em um pto da característica, então u pode ser determinado nos outros ptos $\underline{x}(s)$ pela integração da eq. (*). Como um exemplo, seja u dado no contorno Γ_- , definido

como

$$\Gamma_- = \{ \underline{x} \in \Gamma / \underline{n}(\underline{x}) \cdot \underline{\beta}(\underline{x}) < 0 \}$$

onde $\underline{n}(\underline{x})$ é o vetor normal apontando p/ fora de Ω .

A função u em $\bar{x} \in \Omega$ pode ser obtida por integração ao longo da característica passando por \bar{x} e começando em Γ_- . Como consequência, os efeitos da equação de convecção são propagados ao longo das características!

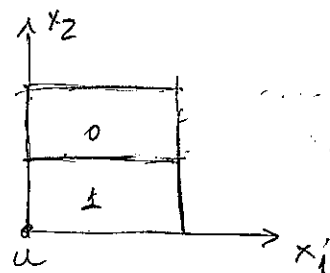
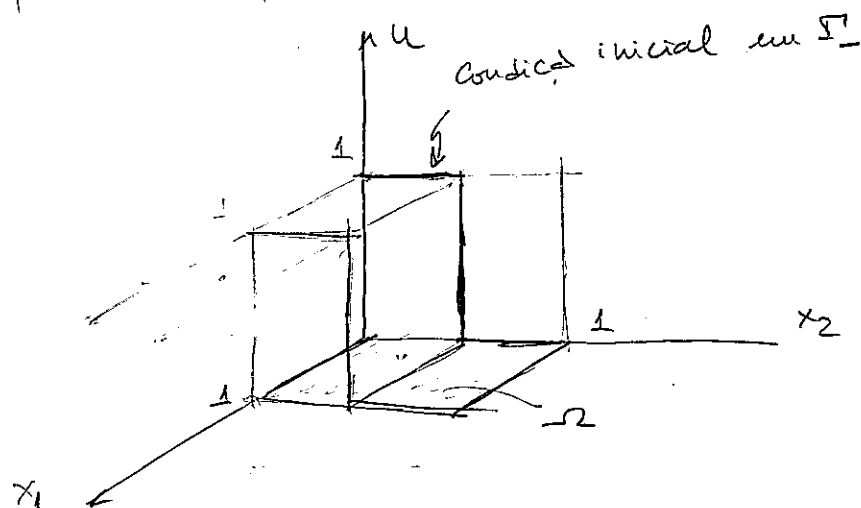
É importante notar que a solução u pode ser DESCONTÍNUA através da característica. Por exemplo, se u dada em Γ_- possuir uma descontinuidade de salto em $\bar{x} \in \Gamma$, então a solução u será descontínua através de toda a característica passando em \bar{x} !

Exemplo:

$$\frac{\partial u}{\partial x_1} = 0 \quad \text{em} \quad \frac{1}{2}x \in \mathbb{R}^2 / 0 < x_2 < 1, c=1,2\}$$

$$u(0, x_2) = 1 \quad \text{p/} \quad 0 < x_2 < 1/2, \quad u(0, x_2) = 0 \quad 1/2 < x_2 < 1$$

o que corresponde a tomar $\beta_1 = 1, \beta_2 = 0$ e $\gamma = 0$.



$$\text{Solução} \quad \begin{cases} u(x_1, x_2) = 1 & 0 < x_2 < 1/2, \quad 0 < x_1 < 1 \\ u(x_1, x_2) = 0 & 1/2 < x_2 < 1, \quad 0 < x_1 < 1 \end{cases}$$

Seja o problema dependente do tempo, substituindo t por x_0 e $\beta_0 = 1$, então a equação pode ser reescrita como,

$$\sum_{i=0}^{n_{sd}} \beta_i \frac{\partial u}{\partial x_i} + \beta u = 0$$

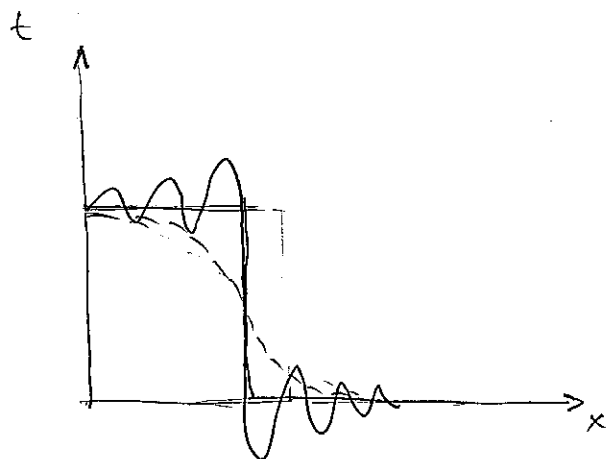
que é formalmente idêntica ao problema estacionário. Em particular, as características desta equação são as curvas $(x(t), t)$ no espaço-tempo, onde $x(t)$ satisfaz a

$$\frac{dx_i}{dt} = \beta_i(x, t), \quad i=1, \dots, n_{sd}$$

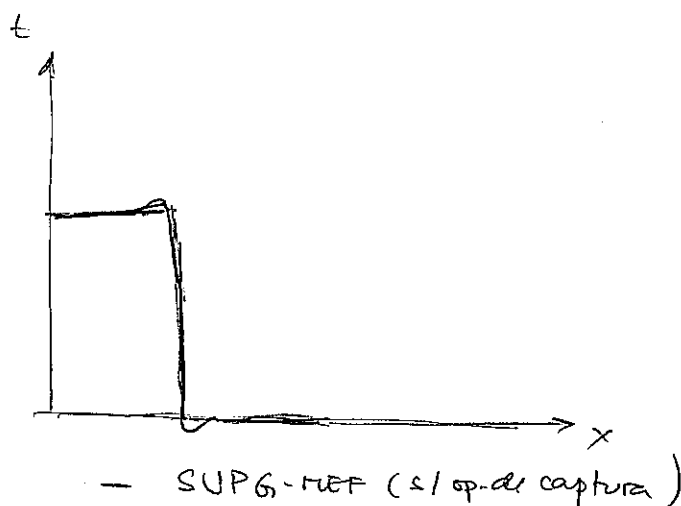
(onde s é escolhido como $t = x_0$, correspondendo a equação $\frac{dx_0}{ds} = (\beta_0 = 1)$)

Métodos Numéricos p/ Equações Hiperbólicas

- Métodos de Características
- Diferenças Finitas
- Elementos Finitos



- Exato
- MET Galerkin Dif. Centradas
- Dif. Art. Clássica (DE 1.º ord.)



- SUPG-MET (slip of capture)

6.1. Problema 1-D em Regime Permanente

Seja a equação de convecção-difusão 1-D, em regime permanente,

$$\begin{cases} \beta \frac{du}{dx} - \epsilon \frac{d^2u}{dx^2} + f = 0 & \text{em } \Omega = [0, L] \\ u(0) = u_0; \quad u(L) = u_L \end{cases}$$

onde u é a função a ser transportada, β , a velocidade, ϵ o termo difusivo e f a fonte. A forma variacional de Galerkin é,

$$\int_0^L w \left(\beta \frac{du}{dx} - \epsilon \frac{d^2u}{dx^2} + f \right) dx = 0$$

onde $w \in V$ e $u \in S$, os espaços usuais definidos anteriormente. Discretizando-se pelo REF, chegamos a, para o i -ésimo nó da malha,

\hookrightarrow ~~função base~~
 $u = \sum N_i d_i; \quad w = \sum N_i c_i$

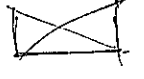
$$k_{ij} d_j + f_i = 0$$

onde

$$k_{ij} = \int_0^L \left(N_i \beta \frac{dN_j}{dx} + \frac{dN_i}{dx} \epsilon \frac{dN_j}{dx} \right) dx$$

$$f_i = \int_0^L N_i f dx$$

Deve-se salientar agora que, devido a presença do termo convectivo, a matriz de rigidez torna-se NÃO-SIMÉTRICA. Entretanto, tal problema é de menor importância, se comparado as dificuldades encontradas na formulação.

Utilizando-se N_i lineares () e elementos de tamanho h , uma equação "assemblada" típica tem a forma,

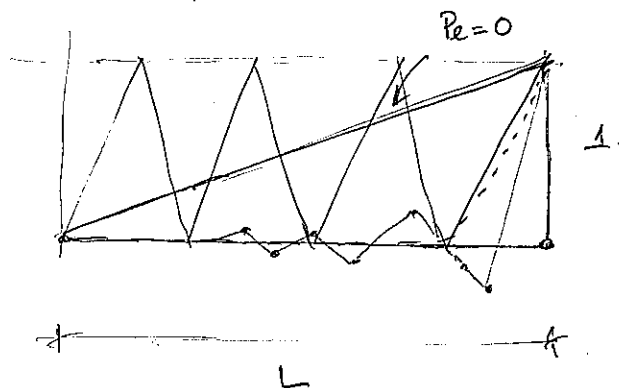
$$(-Pe - 1)d_{i-1} + 2d_i + (Pe - 1)d_{i+1} + \frac{\beta h^2}{\epsilon} = 0$$

onde $Pe = \frac{\beta h}{2\epsilon}$ é o número de Peclet da malha.

A equação acima é idêntica aquela obtida pela aproximação de diferenças centrais, isto é,

$$\frac{du}{dx} = \frac{d_{i+1} - d_i}{2h} ; \quad \frac{d^2u}{dx^2} = \frac{d_{i+1} - 2d_i + d_{i-1}}{h^2}$$

Tomando-se como c.c. $u(0) = 0$ e $u(L) = 1$, temos as seguintes soluções para $Pe \rightarrow \infty$ (convecção pura):



- $Pe=0$ (\equiv EXATO)
- $Pe=1$
- · - $Pe=2.5$
- $Pe=\infty$

Ou seja, a medida que $Pe \rightarrow \infty$, a solução deteriora, e para $Pe = \infty$ ela já não tem mais relação com o problema original. Isto é em parte um problema de condições de contorno. Qdo NÃO se considera a difusão ($Pe = \infty$) somente uma única condição de contorno.

pode ser especificada (em I_-), Qdo. a difusor, é pequena, a condic^o $u(L)=1$ só é "sentida" numa regiao muito proxima e a formac^o de uma camada limite torna-se evidente da soluc^o exata deste problema,

$$u = \frac{1 - e^{\beta x/\epsilon}}{1 - e^{\beta L/\epsilon}}$$

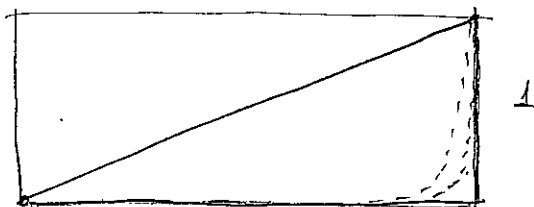
Motivados pelo fato de que as informac^o se propagam na direcc^o de β , o FDF utiliza uma outra aproximac^o (1 pto é montante) para a 1^a derivada, isto é,

$$\frac{du}{dx} = \frac{d_i - d_{i-1}}{h}$$

resultando em,

$$(-2Pe - 1)d_{i-1} + (2 + 2Pe)d_i - d_{i+1} + \frac{fh^2}{\epsilon} = 0$$

Com esta aproximac^o, soluc^oes realísticas (mas nem sempre precisas) podem ser obtidas p/ $\forall Pe$. Em particular, qdo $Pe = \infty$, soluc^oes nodalmente exatas são obtidas



- $Pe = 0$
- $Pe = 1.0$
- · - $Pe = 2.5$
- $Pe = \infty$

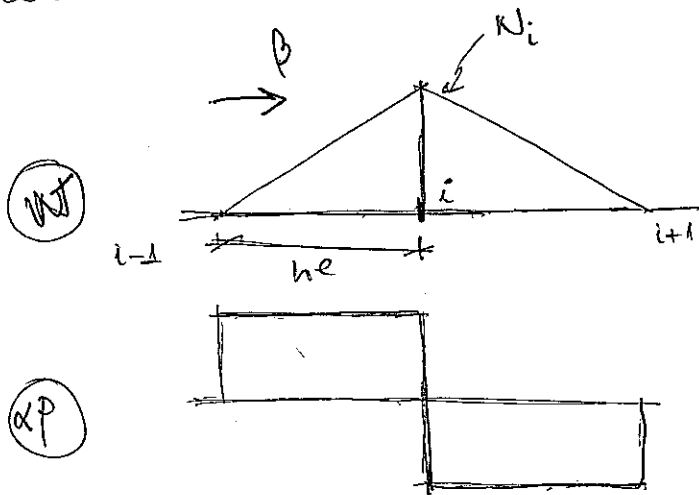
O problema agora é: Como obter boas soluções p/ o HET? (A receita Galerkin NÃO é + válida!!!)

Uma possibilidade é a utilização de funções peso tipo PETROV-GALERKIN (PG), onde $w \notin V$. Em particular, para elementos lineares, a função peso é tal que,

$$\tilde{w} = w + \alpha \phi$$

onde ϕ é tal que $\int_L \phi dx = \pm \frac{h}{2}$ (área da fcs de interpolação!)

Várias formas são possíveis, uma é a função descontinua



$$\alpha\phi = \alpha \frac{h}{2} \frac{dN_i}{dx} (\text{sign } \beta)$$

onde o sinal depende se a velocidade "entra" no nó (+) ou sai (-). Com a expressão acima a equação "assemblada" torna-se:

$$[-Pe(\alpha+1) - 1] d_{i-1} + [2 + 2\alpha(Pe)] d_i + [-Pe(\alpha-1) - 1] d_{i+1} + \frac{f h^2}{E} = 0$$

É dado que $\left\{ \begin{array}{l} \alpha = 0 \Rightarrow \text{GALERKIN} \Rightarrow \text{EXATO } Pe = 0 \\ \alpha = 1 \Rightarrow \text{IPM} \Rightarrow \text{EXATO } Pe = \infty \end{array} \right.$

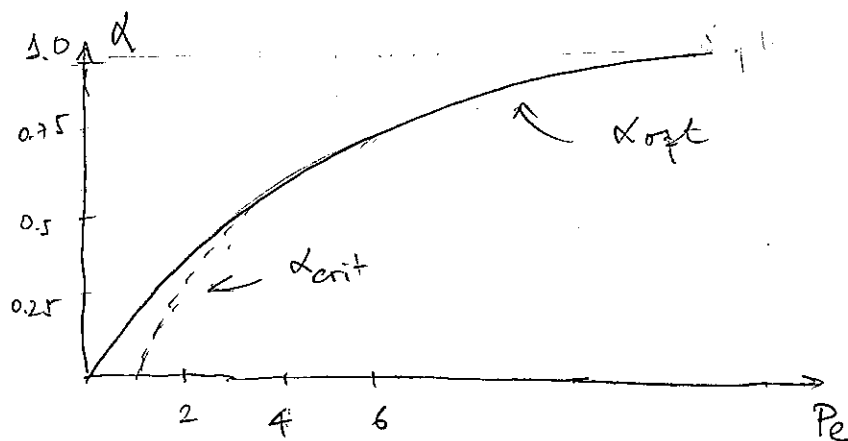
Valendo-se da solução analítica do problema pode-se ajustar α de tal forma que a solução exata seja obtida $\forall Pe$:

$$|\alpha| = \alpha_{opt} = \coth |Pe| - \frac{1}{|Pe|}$$

Verifica-se também se

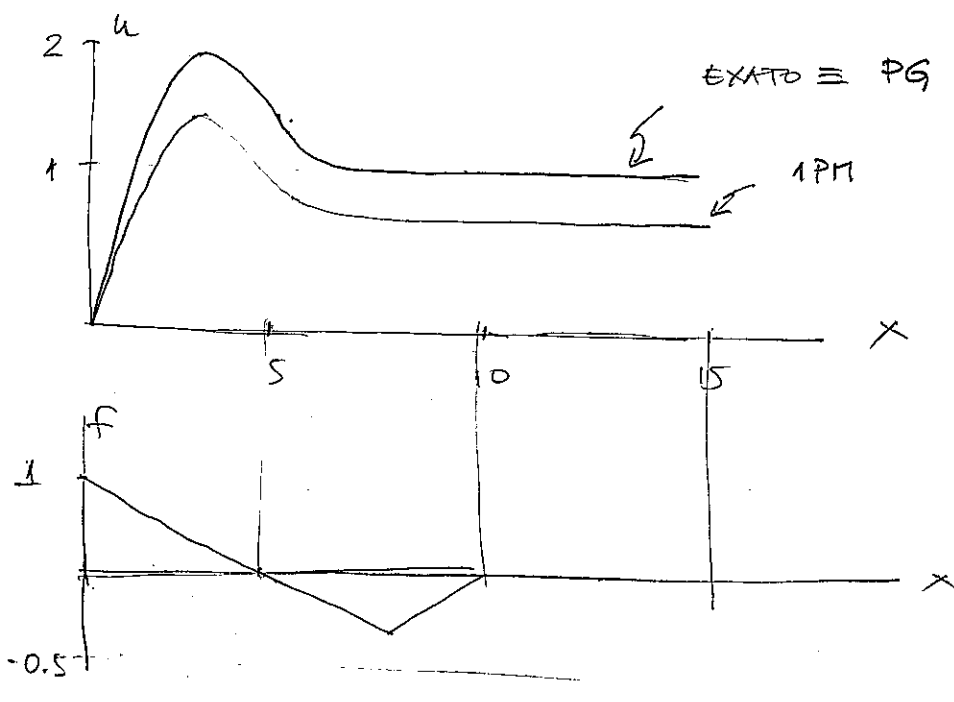
$$|\alpha| > \alpha_{crit} = 1 - \frac{1}{|Pe|}$$

oscilações espúrias nunca mais ocorrer. Portanto, como consequência, oscilações não ocorrer no Método de Galerkin ($\alpha = 0$) $\forall Pe > 1$!



Pode-se mostrar que se $\alpha = \alpha_{opt} \forall e, e=1,2,\dots$ nel valores nodalmente exatos tb serao obtidos, caso $f=f(x)$ e $\beta=\beta(x)$. Entretanto, deve-se salientar que a ponderacao PG

deve ser aplicada a todos os termos da equação, inclusive ao termo fonte. Seja o exemplo proposto por Leonard:

$$\frac{du}{dx} = f$$


Observações

No que diz respeito ao termo convectivo, as funções de ponderação podem ser descontínuas, que as integrais,

$$\int_0^L \tilde{w} \beta \frac{du}{dx} dx = \int_0^L \left(w \beta \frac{du}{dx} + p \beta \frac{du}{dx} \right) dx$$

fazem sentido. Entretanto, o termo difusivo é geralmente obtido integrando-se por partes a integral.

$$\int_0^L \tilde{w} \epsilon \frac{d^2 u}{dx^2} dx = \int_0^L w \epsilon \frac{d^2 u}{dx^2} dx + \int_0^L p \epsilon \frac{d^2 u}{dx^2} dx$$

Aqui a descontinuidade de β causa problemas na integração por partes. Para evitar esta dificuldade, assumimos que a ponderação de PG é descontinua no interior dos elementos somente e a forma

variacional torna-se,

$$\int_0^L w \left(\beta \frac{du}{dx} - \epsilon \frac{d^2 u}{dx^2} + f \right) dx + \sum_{e=1}^{nel} \int_0^L p \left(\beta \frac{du}{dx} - \epsilon \frac{d^2 u}{dx^2} + f \right) dx = 0$$

tudo agora o termo difusivo da ponderação de

PG é integrado diretamente, mostrando uma

contribuição nula para elementos C^0 . Entretanto, a ponderação PG é variacionalmente consistente, já que se u for a solução exata a EDP ou a formulação variacional é identicamente satisfeita!!

6.2. Generalização para Varias Dimensões -

Streamline-Upwind Petrov-Galerkin (SUPG)

Difusão Artificial - ~~Diffusion~~

Pode-se verificar que o efeito do procedimento

PG é equivalente a usar um procedimento Galerkin

podrá ~~se~~ adicionando-se uma difusividade

$$k_b = \frac{1}{2} \alpha \beta h$$

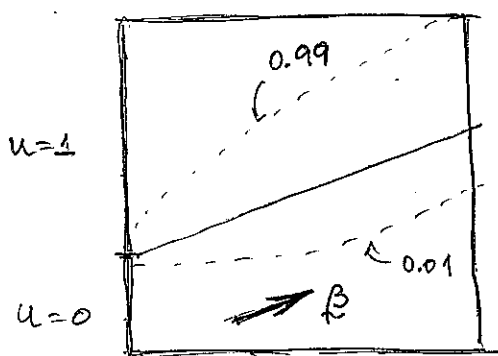
homogenea

a equação diferencial original, que torna-se

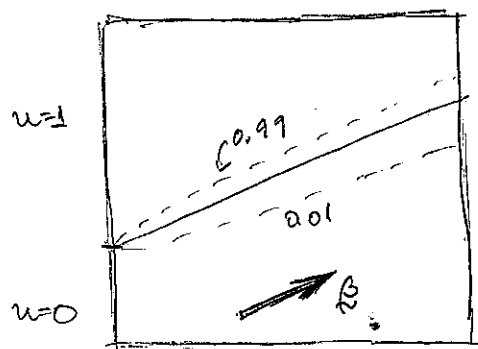
$$\beta \frac{du}{dx} - (k + k_b) \frac{d^2 u}{dx^2} + f = 0$$

Aplicando-se Galerkin, ~~supondo-se~~, chega-se a mesma expressão obtida p/ procedimento PG (VERIFIQUE!)

Este conceito de DIFUSÃO ARTIFICIAL é mais fácil de complementar em 2D/3D e possui uma interpretação física + simples. Entretanto, além de nos influenciar os termos fonte, sofrem do problema de difusão cruzada ("crosswind diffusion"), suponha o seguinte exemplo, proposto por Leonard:



Difusão Artificial



Difusão na Direção do Escoamento
STREAMLINE UPWIND

Fica aparente que só é necessário difusão artificial na direção do escoamento. Em várias dimensões,

$$\tilde{k}_b = \tilde{k} \frac{\beta}{\|\beta\|} \otimes \frac{\beta}{\|\beta\|} = \frac{\tilde{k}}{\|\beta\|^2} \begin{bmatrix} \beta_x^2 & \beta_x \beta_y \\ \beta_x \beta_y & \beta_y^2 \end{bmatrix}$$

⊗ Produto Tensorial

$$\underline{x} \otimes \underline{y} = \underline{x} \underline{y}^T$$

Especificamente, se $\beta_x = 1$ e $\beta_y = 0$,

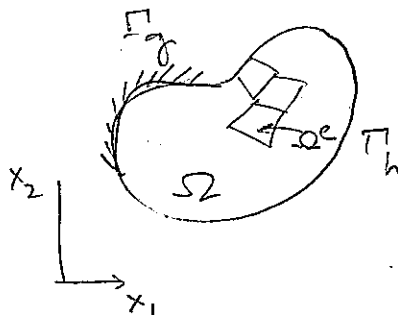
$$\tilde{k}_b = \tilde{k} \begin{bmatrix} 1 & 0 \\ 0 & 0 \end{bmatrix} \rightarrow \text{age na direção do escoamento}$$

Formulação SUPG

• FORMA FORTE

Seja $\Omega \subset \mathbb{R}^{n_{sd}}$, $n_{sd} = 1, 2, \text{ ou } 3$, com contorno Γ , $\underline{x} = \{x_i\}$, $i = 1, 2, \dots, n_{sd}$, um ponto $\in \Omega$ e $\underline{n} = \{n_i\}$ a normal externa a Γ . Seja Γ_g e Γ_h subconjuntos de Γ , satisfazendo a,

$$\begin{cases} \overline{\Gamma_g \cup \Gamma_h} = \Gamma \\ \Gamma_g \cap \Gamma_h = \emptyset \end{cases}$$



Considere uma discretização Ω^e , $e = 1, 2, \dots, nel$, tal que Γ^e é o contorno de Ω^e e assumindo que

$$\begin{cases} \bigcup_e \overline{\Omega^e} = \Omega \\ \bigcap_e \Omega^e = \emptyset \end{cases}$$

Pode-se definir o contorno INTERIOR, Γ_{int}

$$\Gamma_{int} = \bigcup_e \Gamma^e - \Gamma$$

A equação de convecção-difusão linear em regime transiente pode ser escrita como,

$$u_t + \sigma_{i,i} = f$$

onde $\sigma_i = \sigma_i^a + \sigma_i^d \equiv \text{FLUXO TOTAL}$

$\sigma_i^a = \rho i u \equiv \text{FLUXO CONVECTIVO}$

$\sigma_i^d = -k_{ij} u_{,j} \equiv \text{FLUXO DIFUSIVO}$

onde $f = f(\underline{x}, t)$, $\beta_i = \beta_i(\underline{x}, t)$ e $k_{ij} = k_{ij}(\underline{x})$ e $\text{div}(\underline{\beta}) = 0$.

As condições de contorno,

$$u = g \text{ em } \Gamma_g$$

$$-\sigma_n^d = \sigma_i^d n_i = h \text{ em } \Gamma_h$$

e a condição inicial, $u(\underline{x}, 0) = u_0$ terminam a especificação do problema de valor inicial.

• Formulação Variacional

Como visto anteriormente (1-D) a formulação PG requer funções peso descontinuas, da forma,

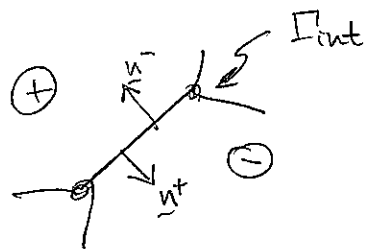
$$\tilde{w} = w + \phi$$

onde w é contínua por partes e ϕ é a contribuição EUPG (descontínua). Entretanto w, ϕ são suaves no interior dos elementos.

Seja $\underline{x} \in \Gamma_{\text{int}}$. Designando, de forma arbitrária,

um lado de Γ_{int} como \oplus e o outro como \ominus , e

\underline{n}^+ , \underline{n}^- respectivamente vetores unitários normais a Γ_{int} em \underline{x} . É claro que $\underline{n}^- = -\underline{n}^+$. Segue



$$\begin{aligned} \sigma_i^+ &\rightarrow \sigma_i \text{ aproximado do lado } \oplus \\ \sigma_i^- &\rightarrow \sigma_i \text{ " " " } \ominus \end{aligned}$$

○ salto em σ_n em \underline{x} é:

$$[\sigma_n] = (\sigma_i^+ - \sigma_i^-) n_i^+ = \sigma_i^+ n_i^+ + \sigma_i^- n_i^-$$

A formulação variacional é:

$$\int_{\Omega} \tilde{w} (\dot{u} + \sigma_{i,i} - f) d\Omega = \int_{\Omega} w \dot{u} d\Omega + \int_{\Omega} w \sigma_{i,i}^a +$$

$$\int_{\Omega} w_{,i} \sigma_i^d d\Omega + \sum_{e=1}^{nel} \int_{\Omega^e} p (\dot{u} + \sigma_{i,i} - f) d\Omega = \int_{\Omega} w f + \int_{\Gamma_h} w h d\Gamma$$

onde, a contribuição de Galerkin do fluxo difusivo foi integrado por partes, da forma usual.

Integrando-se a equação acima por partes tem-se

$$\sum_e \int_{\Omega^e} \tilde{w} \underbrace{(\dot{u} + \sigma_{i,i} - f)}_{\text{Euler-Lagrange}} d\Omega - \int_{\Gamma_h} w (\sigma_n^d + h) d\Gamma - \int_{\Gamma_{int}} w [\sigma_n^d] d\Gamma = 0$$

onde agora as eqs. de Euler-Lagrange são restritas ao interior dos elementos e a continuidade do fluxo difusivo ao longo do contorno dos elementos implica em:

$$[\sigma_n^d] = 0 \quad \text{ao longo de } \Gamma_{int}.$$

Observação

Se as seguintes condições são válidas

$$(i) \quad k_{ij} = k \delta_{ij} \quad - \text{ISOTROPIA}$$

(ii) u é interpolado p/ funções lineares

Então, no interior dos elementos

$$\boxed{\nabla_{i,i}^d = 0}$$

ou seja, a contribuição SUPG nos afeta o termo difusivo.

• A Função SUPG

O termo convectivo na formulação SUPG é

$$\int_{\Omega} \tilde{w} \beta_i u_i d\Omega = \int_{\Omega} w \beta_i u_i d\Omega + \int_{\Omega^e} \phi \beta_i u_i d\Omega^e$$

Escolhendo-se ϕ como

$$\phi = \frac{\tilde{k} \beta_j w_j}{\|\beta\|}$$

a função ϕ é descontínua, e o termo convectivo para um elemento e ,

$$\int_{\Omega^e} \frac{\tilde{k} \beta_j w_j}{\|\beta\|} \beta_i u_i d\Omega^e$$

que é equivalente a, se β for cte no elemento:

$$\int_{\Omega^e} \frac{\tilde{k}}{\|\beta\|} \nabla w \cdot \beta \otimes \beta \nabla u d\Omega^e$$

onde $\beta \otimes \beta$ é o STREAMLINE DIFFUSION TENSOR.

COPPE/UFRJ

DATA

/ /

NOME :

TRABALHO :

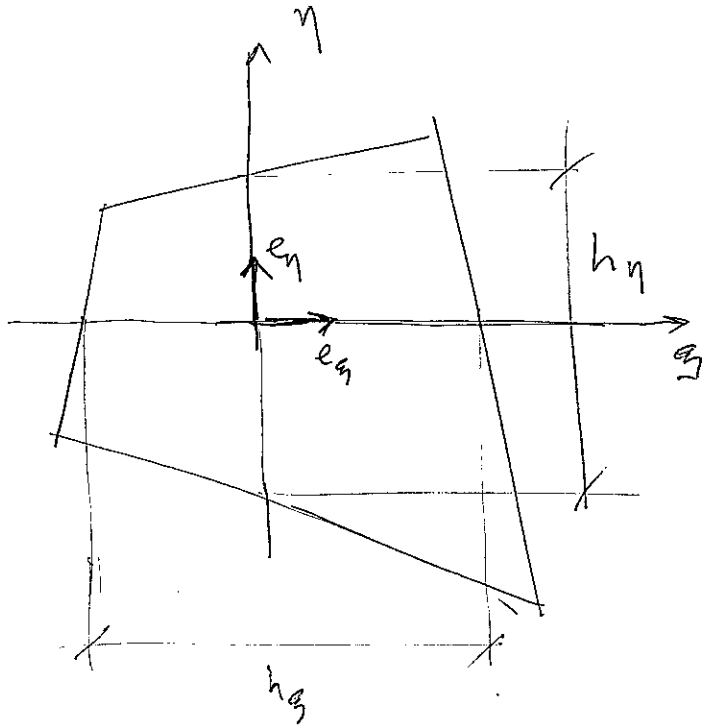
$$\tau_{\text{SUPG}} = \left(\left(\frac{2}{\Delta t} \right)^2 + \left(\frac{2 \| \mathbf{B} \|}{h} \right)^2 + 9 \left(\frac{4 \varepsilon}{h^2} \right)^2 \right)^{-1/2}$$

Codina, Shakib, Tezluvar...

$$h = 2 \sum_{a=1}^{n_{\text{nos}}} \left(\left| \frac{\mathbf{B}}{\| \mathbf{B} \|} - \nabla N_a \right| \right)^{-1} \quad (\text{Tezluvar e co-autores})$$

Pode-se mostrar (ver JOHNSON) que $\bar{k} = O(h)$.

No caso multidimensional, temos para um elemento isoparamétrico bilinear,



$$\bar{k} = (\tilde{\xi} \beta_{\xi} h_{\xi} + \tilde{\eta} \beta_{\eta} h_{\eta}) / 2$$

$$\tilde{\xi} = (\coth \alpha_{\xi}) - 1/\alpha_{\xi}$$

$$\tilde{\eta} = (\coth \alpha_{\eta}) - 1/\alpha_{\eta}$$

$$\alpha_{\xi} = \beta_{\xi} h_{\xi} / 2k$$

$$\alpha_{\eta} = \beta_{\eta} h_{\eta} / 2k$$

Nos de Peclet
Difusivos

$$\begin{cases} \beta_{\xi} = \underline{e}_{\xi} \cdot \underline{\beta} \\ \beta_{\eta} = \underline{e}_{\eta} \cdot \underline{\beta} \end{cases}$$

Entretanto, esta nos é a única possibilidade. Mais importante que a escolha de \bar{k} é a estrutura do termo SUPG. Outras escolhas são possíveis, como as sugeridas p/ o caso transiente (Elem. Bilineares)

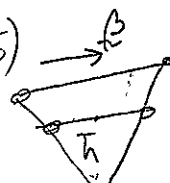
• Hughes $\rightarrow \bar{k} = (\tilde{\xi} \beta_{\xi} h_{\xi} + \tilde{\eta} \beta_{\eta} h_{\eta}) / \sqrt{15}$

• Tezduyar $\rightarrow \bar{k} = \bar{h} / 2, \quad \bar{h} = 2 \sum_{a=1}^4 \left(\frac{1}{\|\beta\|} \left| \underline{\beta} \cdot \nabla N_a \right| \right)^2$

Triângulos

• Steady-state - Mizukami (85)

• Transiente - $\bar{k} = \bar{h} / 2$



- Exemplo: Triângulo linear em Coordenadas de Área
p/ Equação de Convecção-Difusão linear

(i) Galerkin: $w^h = \sum N_a c_a$; $u^h = \sum N_a d_a$

- Matriz de Difusão (ORTOTRÓPICO)

$$\begin{aligned}
 \underline{K}_D^e &= t \int_{\Omega^e} \underline{B}^T \underline{D} \underline{B} d\Omega = t \int_{\Omega^e} \frac{1}{2A^e} \begin{bmatrix} \gamma_{23} & \gamma_{32} \\ \gamma_{31} & \gamma_{13} \\ \gamma_{12} & \gamma_{21} \end{bmatrix} \begin{bmatrix} k_{11} & 0 \\ 0 & k_{22} \end{bmatrix} \frac{1}{2A^e} \begin{bmatrix} \gamma_{23} & \gamma_{31} & \gamma_{12} \\ \gamma_{32} & \gamma_{13} & \gamma_{21} \end{bmatrix} d\Omega = \\
 &= \frac{t}{4A^e} \begin{bmatrix} \gamma_{23} k_{11} \gamma_{23} + \gamma_{32} k_{22} \gamma_{32} & \gamma_{23} k_{11} \gamma_{31} + \gamma_{32} k_{22} \gamma_{13} & \gamma_{23} k_{11} \gamma_{12} + \gamma_{32} k_{22} \gamma_{21} \\ \gamma_{31} k_{11} \gamma_{31} + \gamma_{13} k_{22} \gamma_{13} & \gamma_{31} k_{11} \gamma_{12} + \gamma_{13} k_{22} \gamma_{21} \\ \gamma_{12} k_{11} \gamma_{12} + \gamma_{21} k_{22} \gamma_{21} & \gamma_{12} k_{11} \gamma_{21} + \gamma_{21} k_{22} \gamma_{12} \end{bmatrix}
 \end{aligned}$$

- Matriz de Massa Consistente

$$\underline{M}_G^e = t \int_{\Omega^e} \underline{N}^T \underline{N} d\Omega = t \int_{\Omega^e} \begin{bmatrix} \xi_1 \xi_1 & \xi_1 \xi_2 & \xi_1 \xi_3 \\ \xi_2 \xi_1 & \xi_2 \xi_2 & \xi_2 \xi_3 \\ \xi_3 \xi_1 & \xi_3 \xi_2 & \xi_3 \xi_3 \end{bmatrix} d\Omega = \frac{tA^e}{12} \begin{bmatrix} 2 & 1 & 1 \\ 1 & 2 & 1 \\ 1 & 1 & 2 \end{bmatrix}$$

- Matriz de Convecção

$$\underline{K}_{AG}^e = [\underline{K}_A^e] = t \beta_x \int_{\Omega^e} N_a \frac{\partial N_b}{\partial x} d\Omega + t \beta_y \int_{\Omega^e} N_a \frac{\partial N_b}{\partial y} d\Omega$$

$$\underline{K}_{AG}^e = t \beta_x \int_{\Omega^e} \begin{bmatrix} N_1 \\ N_2 \\ N_3 \end{bmatrix} \begin{bmatrix} \frac{\partial N_1}{\partial x} & \frac{\partial N_2}{\partial x} & \frac{\partial N_3}{\partial x} \end{bmatrix} d\Omega + t \beta_y \int_{\Omega^e} \begin{bmatrix} N_1 \\ N_2 \\ N_3 \end{bmatrix} \begin{bmatrix} \frac{\partial N_1}{\partial y} & \frac{\partial N_2}{\partial y} & \frac{\partial N_3}{\partial y} \end{bmatrix} d\Omega$$

$$K_{-A}^e = \frac{t^2 \beta x}{6} \begin{bmatrix} \gamma_{23} & \gamma_{31} & \gamma_{12} \\ \gamma_{23} & \gamma_{31} & \gamma_{12} \\ \gamma_{23} & \gamma_{31} & \gamma_{12} \end{bmatrix} + \frac{t^2 \beta y}{6} \begin{bmatrix} \gamma_{32} & \gamma_{13} & \gamma_{21} \\ \gamma_{32} & \gamma_{13} & \gamma_{21} \\ \gamma_{32} & \gamma_{13} & \gamma_{21} \end{bmatrix}$$

Observações

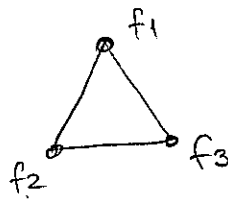
$$\bullet \int_{\Omega^e} N_1 \frac{\partial N_1}{\partial x} d\Omega^e = \int_{\Omega^e} N_1 \left[\frac{\partial N_1}{\partial \xi_1} \frac{\partial \xi_1}{\partial x} + \frac{\partial N_1}{\partial \xi_2} \frac{\partial \xi_2}{\partial x} + \frac{\partial N_1}{\partial \xi_3} \frac{\partial \xi_3}{\partial x} \right] d\Omega^e =$$

Mas $N_1 = \xi_1$, portanto,

$$= \int_{\Omega^e} \xi_1 \frac{\partial \xi_1}{\partial x} d\Omega^e = \frac{\gamma_{23}}{2A} \int_{\Omega^e} \xi_1 d\Omega^e = \frac{\gamma_{23}}{2A} \cdot \frac{2A}{6} = \frac{\gamma_{23}}{6} !$$

K_{-A}^e é NÃO-SIMÉTRICA!

→ Carga consistente



$$f_a^e = t \int_{\Omega^e} N_a N_b f_b \cdot, a=1,2,3.$$

Logo,

$$\begin{aligned} \underline{f}_G^e &= \int_{\Omega^e} \underline{N}^T \underline{N} \underline{f} = \frac{A}{12} \begin{bmatrix} 2 & 1 & 1 \\ 1 & 2 & 1 \\ 1 & 1 & 2 \end{bmatrix} \begin{Bmatrix} f_1 \\ f_2 \\ f_3 \end{Bmatrix} = \\ &= \frac{A}{12} \begin{bmatrix} 2f_1 + f_2 + f_3 \\ f_1 + 2f_2 + f_3 \\ f_1 + f_2 + 2f_3 \end{bmatrix} \end{aligned}$$

Se $f_1 = f_2 = f_3 = f$

$$\underline{f}_G^e = \frac{A}{3} \begin{Bmatrix} f \\ f \\ f \end{Bmatrix}$$

(ii) Petrov-Galerkin : $p_r = \frac{\tau \beta}{\|\beta\|} \cdot \nabla w_r$

- Matriz de Massa.

$$M_{PG}^e = \int_{\Omega^e} \phi \dot{u} \, d\Omega^e = t^e \int_{\Omega^e} \frac{\tau \beta}{\|\beta\|} \cdot \nabla w \, \dot{u} \, d\Omega^e =$$

$$= t^e \int_{\Omega^e} \frac{\tau}{\|\beta\|} (\beta_x w_{,x} + \beta_y w_{,y}) \dot{u} \, d\Omega^e =$$

$$= t^e \int_{\Omega^e} \frac{\tau}{\|\beta\|} (\beta_x w_{,x} \dot{u} + \beta_y w_{,y} \dot{u}) \, d\Omega^e.$$

Discretizando, $(w)^h = \sum_{a=1}^{n_{en}} N_a c_a^e$ e $(\dot{u})^e = \sum_{a=1}^{n_{en}} N_a \dot{c}_a^e$, $a=1,2,3$:

$$[M_{PG}^e] = t^e \int_{\Omega^e} \frac{\tau}{\|\beta\|} \beta_x \frac{\partial N_a}{\partial x} N_b \, d\Omega^e + t^e \int_{\Omega^e} \frac{\tau}{\|\beta\|} \beta_y \frac{\partial N_a}{\partial y} N_b \, d\Omega^e,$$

$a, b = 1, 2, 3$

Como β e τ são constantes no elemento, temos:

$$M_{PG}^e = \frac{t^e \tau \beta_x}{6 \|\beta\|} \begin{bmatrix} \gamma_{23} & \gamma_{23} & \gamma_{23} \\ \gamma_{31} & \gamma_{31} & \gamma_{31} \\ \gamma_{12} & \gamma_{12} & \gamma_{12} \end{bmatrix} + \frac{t^e \tau \beta_y}{6 \|\beta\|} \begin{bmatrix} \gamma_{32} & \gamma_{32} & \gamma_{32} \\ \gamma_{13} & \gamma_{13} & \gamma_{13} \\ \gamma_{21} & \gamma_{21} & \gamma_{21} \end{bmatrix}$$

Observação

A correção de PG da matriz de massa tem a "estrutura" da matriz de advecção de Galerkin!

- Matriz de Convecção.

$$K_{APG}^e = t^e \int_{\Omega^e} \beta \cdot \beta \cdot \nabla u \, d\Omega^e = t^e \int_{\Omega^e} \frac{\tau \beta}{\|\beta\|} \cdot \nabla w \, \beta \cdot \nabla u \, d\Omega^e =$$

$$= t^e \int_{\Omega^e} \frac{\tau}{\|\beta\|} \nabla w \, \beta \otimes \beta \nabla u \, d\Omega^e$$

$$\beta \otimes \beta = \beta \cdot \beta^T = \begin{bmatrix} \beta_x \beta_x & \beta_x \beta_y \\ \beta_y \beta_x & \beta_y \beta_y \end{bmatrix}$$

Discretizando-se, temos:

$$K_{APG}^e = t^e \int_{\Omega^e} \frac{\tau}{\|\beta\|} B^T \begin{bmatrix} \beta_x \beta_x & \beta_x \beta_y \\ \beta_y \beta_x & \beta_y \beta_y \end{bmatrix} B \, d\Omega^e$$

Observação

A correção de PG no termo convectivo produz uma matriz com a "estrutura" de uma matriz de difusão, com um tensor constitutivo anisotrópico. \rightarrow (1)

- Correção da carga consistente.



$$\{f_{PG}^e\} = t^e \int_{\Omega^e} \rho_a N_b f_b \, d\Omega^e = t^e \int_{\Omega^e} \frac{\tau \beta \cdot \nabla N_a N_b f_b}{\|\beta\|} \, d\Omega^e =$$

$$= t^e \int_{\Omega^e} \frac{\tau}{\|\beta\|} \left[\beta_x \frac{\partial N_a N_b f_b}{\partial x} + \beta_y \frac{\partial N_a N_b f_b}{\partial y} \right] \, d\Omega^e, a, b = 1, 2, 3$$

Ou ainda, segundo Codine (2000)

$$\tau = \left(\frac{2 \|\beta\|}{h} + \frac{4 \tilde{k}}{h^2} \right)^{-1}$$

e segundo Shakib, Hughes e Johan (1991)

$$\tau = \left(\left(\frac{2 \|\beta\|}{h} \right)^2 + 9 \left(\frac{4 \tilde{k}}{h^2} \right) \right)^{-1/2}$$

Caso o problema seja transiente, inclui-se o termo $\frac{2}{\Delta t}$ ou $\left(\frac{2}{\Delta t} \right)^2$. Mas com cuidado!

Note que se $\|\beta\| \ll \tilde{k}$, τ será dominado pela parte difusiva e se $\|\beta\| \gg \tilde{k}$, pela parte advectiva.

Uma outra ideia mais recente, Teydugan e Osawa (2000) e usar relação de normas matriciais,

$$\underline{m}^e, \underline{m}_{PA}^e, \underline{k}_D^e, \underline{k}_{AA}^e, \underline{k}_{APA}^e$$

definindo-se,

$$\tau_{S1} = \frac{\|\underline{k}_{AA}^e\|}{\|\underline{k}_{APA}^e\|}$$

$$\tau_{S2} = \frac{\Delta t}{2} \frac{\|\underline{k}_{AA}^e\|}{\|\underline{m}_{PA}^e\|}$$

$$\tau_{S3} = \tau_{S1} \frac{\|\beta\|^2}{\tilde{k}} \frac{\|\underline{k}_{AA}^e\|}{\|\underline{k}_{APA}^e\|}$$

$$\tau_{SUPh} = \left(\frac{1}{\tau_{S1}} + \frac{1}{\tau_{S2}} + \frac{1}{\tau_{S3}} \right)^{-1}$$

Note que em 1D:

$$\tau_{S1} = \frac{h}{2\beta}, \quad \tau_{S2} = \frac{4t}{2}, \quad \tau_{S3} = \frac{h^2}{4K}$$

que é equivalente a fórmula de Codina!

Como notado por Douga e Huerta,
nenhuma "fórmula" é ótima e para
elementos de alta ordem, experimentos
numéricos mostram que τ/p é o
melhor (p = ordem do polinômio de aprox.).

Observação: cálculo de τ .

$$\tau = \alpha \frac{h}{2}$$

$$\alpha \equiv \text{parâmetro do "upwind"} = f(Pe)$$

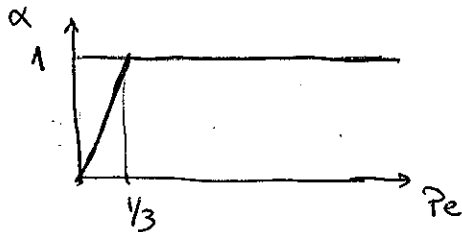
• $Pe \equiv$ número de Péclet do elemento

$$Pe = \frac{\|\beta\| h}{2 \tilde{K}}$$

• $\tilde{K} \equiv$ difusão na direção das streamlines

$$\tilde{K} = \frac{\beta^T}{\|\beta\|} K \frac{\beta}{\|\beta\|}$$

• Expansão assintótica para α : $\alpha = \min\left(\frac{Pe}{3}, 1\right)$



• Valor de h :

$$h \leftarrow \sqrt{A}, \quad A = \text{área do triângulo}$$



$h \leftarrow$ diâmetro do círculo inscrito

$$\underline{\tilde{f}}_{PG}^e = \frac{-\beta_x T}{6 \|\beta\|} \begin{Bmatrix} \gamma_{23}(f_1 + f_2 + f_3) \\ \gamma_{31}(f_1 + f_2 + f_3) \\ \gamma_{12}(f_1 + f_2 + f_3) \end{Bmatrix} + \frac{\beta_y T}{6 \|\beta\|} \begin{Bmatrix} \alpha_{32}(f_1 + f_2 + f_3) \\ \alpha_{13}(f_1 + f_2 + f_3) \\ \alpha_{21}(f_1 + f_2 + f_3) \end{Bmatrix}$$

(iii) Matrices Resultantes

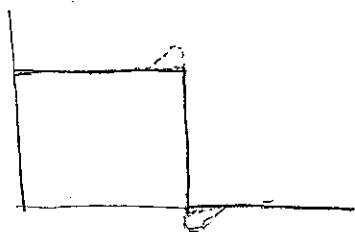
$$\begin{cases} \underline{\tilde{M}}^e = \underline{\tilde{M}}_G^e + \underline{\tilde{M}}_{PG}^e \\ \underline{\tilde{K}}^e = \underline{\tilde{K}}_D^e + \underline{\tilde{K}}_{AG}^e + \underline{\tilde{K}}_{APG}^e \\ \underline{\tilde{F}}^e = \underline{\tilde{f}}_G^e + \underline{\tilde{f}}_{PG}^e \end{cases} \quad \left(\underline{\tilde{K}}_{DPG}^e = \underline{\tilde{0}}! \right)$$

$$\underline{\tilde{M}} = \overset{nel}{\underset{e=1}{\underline{A}}} \underline{\tilde{M}}^e ; \quad \underline{\tilde{K}} = \overset{nel}{\underset{e=1}{\underline{A}}} \underline{\tilde{K}}^e ; \quad \underline{\tilde{F}} = \overset{nel}{\underset{e=1}{\underline{A}}} \underline{\tilde{F}}^e$$

$$\boxed{\underline{\tilde{M}} \underline{\tilde{v}} + \underline{\tilde{K}} \underline{\tilde{d}} = \underline{\tilde{F}}}$$

6.3. Operador de Captura de Descontinuidade

De forma a estabilizar as oscilações da solução que existem no entorno das descontinuidades, vamos introduzir um segundo termo, dependendo agora basicamente do gradiente da solução, ∇u .



- Exato
- SUPG
- SUPG + OCD

Diversos esquemas tem sido propostos na literatura, desde Hughes, Raliet e Tuzukami (86), ~~Gatens~~ Tezduyar e Park (86), Galeas e Dutra do Carmo (88), Johnson e Stepecky (90), Codina (93), etc.

Iremos adotar aqui, basicamente o esquema de Galeas e Dutra do Carmo, conhecido como CAU. Neste esquema a estrutura do operador de captura é semelhante ao SUPG, isto é:

$$\sum_{e=1}^{nel} \frac{1}{2} \alpha_c^e h^e \frac{|L^h(u^h)|}{|\nabla u^h|} \nabla w^h \nabla u^h \, d\Omega, \quad |\nabla u^h| \neq 0$$

onde

$$L^h(u^h) = \frac{\partial u}{\partial t} + \beta \cdot \nabla u - \nabla \cdot (\kappa \nabla u) - f$$

e a formulação variacional torna-se:

$$a_G(u, w) + \sum_e a_{PG}(u, w) + \sum_e a_{DC}(u, w) = (w, f) + \langle w, h \rangle.$$

Observações:

O operador CAU tem a "estrutura" de uma difusor, proporcional ao resíduo discreto $L^h(u^h)$ e só age em regiões onde $|\nabla u^h| \neq 0$.

O resíduo discreto \tilde{r} calculado como:
p/ elementos lineares

$$L^h(u^h) = \tilde{N}(\underline{d})^e + \underline{\beta} \cdot \underline{B}^T \underline{d}^e - f$$

O parâmetro de "upwind" α_e^e é calculado como:

$$\underline{\beta}_{||} = \frac{\underline{\beta} \cdot \nabla u^h}{|\nabla u^h|} \nabla u^h$$

$$\tilde{k}_{||} = \frac{\underline{\beta}_{||}^T}{\|\underline{\beta}_{||}\|} k \frac{\underline{\beta}_{||}}{\|\underline{\beta}_{||}\|}$$

$$Pe_{||} = \frac{\|\underline{\beta}_{||}\| h}{2 \tilde{k}_{||}}$$

$$\alpha_c^e = \min \left(\frac{Pe}{4}, 0.7 \right) \quad (\text{expansão "assintótica"}).$$

Matrizes Resultantes

$$\left\{ \begin{array}{l} \underline{M}^e = \underline{M}_a^e + \underline{M}_{PG}^e \\ \underline{K}^e = \underline{K}_D^e + \underline{K}_{AG}^e + \underline{K}_{APG}^e + \underline{K}_{\alpha}^e \quad (\underline{K}_{DPG}^e = 0!) \\ \underline{F}^e = \underline{f}_a^e + \underline{f}_{PG}^e \end{array} \right.$$

$$\underline{M} = \overset{nel}{\underset{e=1}{A}} \underline{M}^e; \quad \underline{K} = \overset{nel}{\underset{e=1}{A}} \underline{K}^e; \quad \underline{F} = \overset{nel}{\underset{e=1}{A}} \underline{F}^e$$

$$\boxed{\underline{M} \underline{v} + \underline{K}(\underline{d}) \underline{d} = \underline{F}} \quad \text{NÃO-LINEAR.}$$

Ver review paper by John, 2007!

Y2P

6.4. Extension: Galerkin "Least-Squares"

PG method: $p = \tau \beta_{i,x} w_{i,x}$

$$\sum_e \int_{\Omega^e} \tau \beta_{i,x} w_{i,x} \left(\underbrace{\frac{\partial u}{\partial t} + \beta \nabla u - k \nabla^2 u + f}_{\ell(u) = f: \text{residual}} \right) d\Omega$$

$$\ell_t + \ell(u) = \ell_{adv} + \ell_{diff} \quad \begin{cases} \ell_t = \frac{\partial u}{\partial t} \\ \ell_{adv} = \beta \nabla u \\ \ell_{diff} = -k \nabla^2 u \end{cases}$$

~~ℓ_{adv}~~

SUPG: $G + \sum_e \int_{\Omega^e} \tau \beta_{i,x} \ell_{adv}(w) (\ell(u) - f) d\Omega$

GLS:

$$G + \sum_e \int_{\Omega^e} \tau \ell(w) (\ell(u) - f) d\Omega$$

Observation: Steady-state, Elements Lineares

$$\ell(w) = \beta \nabla w - k \nabla^2 w$$

0

Logo: $GLS \equiv SUPG$

De forma abstrata:

Ache u^h tal que:

Galerkin: $B(w^h, u^h) = L(w^h)$, $\forall w^h \in V^h$

$$B(w^h, u^h) = \int_{\Omega} w^h \mathcal{L}_e(u^h) \, d\Omega; \quad L(w^h) = \int_{\Omega} w^h f + \int_{\Gamma} w^h \lambda \, d\Gamma$$

SUPG

$$B_{SUPG}(w^h, u^h) = L_{SUPG}(w^h)$$

$$B_{SUPG}(w^h, u^h) = B(w^h, u^h) + \sum_e \int_{\Omega_e} \tau \mathcal{L}_{adv}(w^h) \mathcal{L}_e(u^h) \, d\Omega$$

$$L_{SUPG}(w^h) = L(w^h) + \sum_{\Omega} \tau \mathcal{L}_{adv}(w^h) f \, d\Omega$$

GLS

$$B_{GLS}(w^h, u^h) = L_{GLS}(w^h)$$

$$B_{GLS}(w^h, u^h) = B(w^h, u^h) + \sum_e \int_{\Omega_e} \tau \mathcal{L}_e(w^h) \mathcal{L}_e(u^h) \, d\Omega$$

$$L_{GLS}(w^h) = L(w^h) + \sum_e \int_{\Omega_e} \tau \mathcal{L}_e(w^h) f \, d\Omega$$

- B 's são formas bilineares e os L 's formas lineares.

Diversos esquemas tem sido propostos na literatura, desde Hughes, Mallet e Mizukami (86), Galeas e Dutra do Carmo (88), Johnson e Szepeszy (90), etc. Iremos adotar aqui, basicamente pela sua facilidade de implementa-
CRIAR, 59, pp 301-325!
 ção, o esquema proposto por Tetsuya e Park (1986). Neste esquema a função peso de PG tem a

forma:

$$p = w + \phi + q \quad \leftarrow \text{operador de captura de descontinuidade}$$

onde

$$q = \tau_{bc} g \cdot \nabla w, \quad \left. \begin{aligned} g &= \frac{\nabla u}{\|\nabla u\|}, \text{ vetor unitário na} \\ &\text{direção do gradiente} \\ &\text{da solução.} \\ \tau_{bc} &= \text{parâmetro } O(h). \end{aligned} \right\}$$

Esta escolha retém a mesma estrutura da formulação SUPG e a formulação variacional correspondente torna-se:

$$\int_{\Omega} \tilde{w} (\dot{u} + \sigma_{i,i} - f) d\Omega = \int_{\Omega} w \dot{u} d\Omega + \int_{\Omega} w \sigma_{i,i}^a + \int_{\Omega} w_{,i} \sigma_i^d d\Omega +$$

$$\sum_{e=1}^{nel} \int_{\Omega^e} p (\dot{u} + \sigma_{i,i} - f) d\Omega^e + \sum_{e=1}^{nel} \int_{\Omega^e} q (\dot{u} + \sigma_{i,i} - f) d\Omega^e = \int_{\Omega} w f d\Omega +$$

$$\int_{\Gamma_h} w h d\Gamma$$

Deve-se notar agora que a introdução do termo de captura de descontinuidade torna o problema não-linear, já que a ponderação DC depende da solução u (mais precisamente, de ∇u !). Por outro lado, esta formulação é também variacionalmente consistente já que se u for solução exata, a formulação variacional é identicamente satisfeita.

• A Função DC

Para um determinado nó a , a função DC tem a forma,

$$f_a = \tau_{DC}^a g^a \cdot \nabla N_a$$

onde $g^a = \frac{\nabla u^a}{\|\nabla u^a\|}$, vetor unitário na direção do gradiente da solução e τ_{DC}^a é um parâmetro determinado através de: seja a componente de f paralela a ∇u :

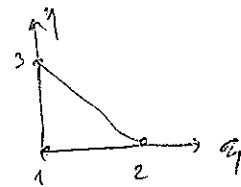
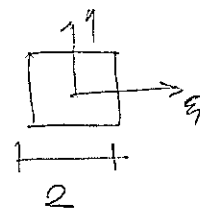
$$\beta_g^a = f \cdot g^a$$

• vetor na direção de ∇u com esta magnitude é,

$$\beta_g^a = \beta_g^a g^a = (f \cdot g^a) g^a$$

• comprimento efetivo do elemento na direção do gradiente da solução é

$$h_g^a = 2 \left(\sum_a |g^a \cdot \nabla N_a|^{-1} \right)$$



Interpolaco no elemento de referncia!

portanto, podemos definir o coeficiente

$$\eta^a = \eta \cdot \frac{\|\beta g^a\|}{\|\beta\|} = 2 \left(1 - \frac{\|\beta g^a\|}{\|\beta\|} \right) \frac{\|\beta g^a\|}{\|\beta\|}$$

e ento

$$\tau_{DC} = \frac{1}{2} h_g^a \text{sign}(\beta g^a) \eta^a$$

Observaces:

#1  interessante notar que $\eta^a = 0$ toda a vez que $\beta \perp \nabla u$ ou $\beta \parallel \nabla u$. Ou seja, no h contribuio do termo DC nestes casos.

#2. A contribuio DC depende somente do vetor unitrio g . Consequentemente, a magnitude do gradiente no  levada em consideraco. Isto implica que regies com um gradiente baixo (isto , usualmente praticamente suave) e regies com um gradiente alto tenham a mesma contribuio para o esquema DC. Sendo assim,  usual modificar-se a expresso de τ_{DC} para se levar

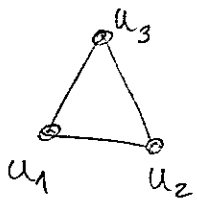
em conta a magnitude do gradiente. Portanto,

$$\tau_{bc} = \frac{1}{2} h_g^a \operatorname{sign}(\beta_g^a) G^a \eta^a$$

$$G^a = h_g^a \frac{\|\nabla u^a\|}{u_0^a}, \quad u_0^a = \text{valor de referência.}$$

- Exemplo: Operador de Captura de Descontinuidade p/ o Triângulo Linear em Coordenadas de Área

(i) Vetor Unitário na Direção do Gradiente da Solução



$$u_{,x} = \frac{\partial u}{\partial x} = \frac{1}{2A} [\gamma_{23} u_1 + \gamma_{31} u_2 + \gamma_{12} u_3]$$

$$u_{,y} = \frac{\partial u}{\partial y} = \frac{1}{2A} [\gamma_{32} u_1 + \gamma_{13} u_2 + \gamma_{21} u_3]$$

$$\vec{g} = \frac{1}{[(u_{,x})^2 + (u_{,y})^2]^{1/2}} \begin{Bmatrix} u_{,x} \\ u_{,y} \end{Bmatrix} = \begin{Bmatrix} g_1 \\ g_2 \end{Bmatrix}$$

(ii) Componente da Velocidade na Direção do Gradiente da Solução

$$\beta \cdot \vec{g} = \beta_x g_1 + \beta_y g_2$$

$$\beta g = \beta_g \begin{Bmatrix} g_1 \\ g_2 \end{Bmatrix} = \begin{Bmatrix} \beta g_1 \\ \beta g_2 \end{Bmatrix}$$

(iii) Comprimento efetivo do elemento na direção do gradiente da solução

$$hg_1 = \text{dabs}(\gamma_{23} \cdot g_1 + x_{32} \cdot g_2)$$

$$hg_2 = \text{dabs}(\gamma_{31} \cdot g_1 + x_{13} \cdot g_2)$$

$$hg_3 = \text{dabs}(\gamma_{12} \cdot g_1 + x_{21} \cdot g_2)$$

$$hg = 4A / (hg_1 + hg_2 + hg_3)$$

(iv) Coeficiente Parabólico

$$\|\beta\| = (\beta_x^2 + \beta_y^2)^{1/2}; \quad \|\beta g\| = (\beta g_1^2 + \beta g_2^2)^{1/2}$$

$$\eta = 2 \left(1 - \frac{\|\beta\|}{\|\beta g\|} \right) \frac{\|\beta\|}{\|\beta g\|}$$

(v) Constante τ_{DC}

$$\left\{ \begin{array}{l} \tau_{DC} = \frac{hg}{2} \cdot \text{sign}(\beta g) \cdot hg \frac{\|\nabla u\|}{u_0} \eta \\ u_0 = (u_1 + u_2 + u_3) / 3 \end{array} \right.$$

(vi) Função de Ponderação DC

$$q = \tau_{DC} \cdot g \nabla w$$

(vii) Correção da Matriz de Massa

$$M_{DC}^e = \ell \int_{\Omega^e} \tau_{DC} \mathbf{g} \cdot \nabla \mathbf{w} \dot{\mathbf{u}} \, d\Omega^e = \ell \int_{\Omega^e} \tau_{DC} \{g_1 w_{1x} \dot{u} + g_2 w_{1y} \dot{u}\} \, d\Omega^e$$

Discretizando-se, $(\mathbf{w}^h)^e = \sum_{a=1}^{n_{en}} N_a \mathbf{c}_a^e$; $(\dot{\mathbf{u}}^h)^e = \sum_{a=1}^{n_{en}} N_a \dot{\mathbf{d}}_a^e$
 $a=1,2,3$

$$[M_{DC}^e] = \ell \int_{\Omega^e} \tau_{DC} g_1 \frac{\partial N_a}{\partial x} N_b \, d\Omega^e + \ell \int_{\Omega^e} \tau_{DC} g_2 \frac{\partial N_a}{\partial y} N_b \, d\Omega^e \quad a,b=1,2,3$$

$$M_{DC}^e = \ell \frac{\tau_{DC} g_1}{6} \begin{bmatrix} \gamma_{23} & \gamma_{23} & \gamma_{23} \\ \gamma_{31} & \gamma_{31} & \gamma_{31} \\ \gamma_{12} & \gamma_{12} & \gamma_{12} \end{bmatrix} + \ell \frac{\tau_{DC} g_2}{6} \begin{bmatrix} x_{32} & x_{32} & x_{32} \\ x_{13} & x_{13} & x_{13} \\ x_{21} & x_{21} & x_{21} \end{bmatrix}$$

(viii) Matriz de Convecção

$$K_{ADC}^e = \ell \int_{\Omega^e} \mathbf{g} \cdot \beta \cdot \nabla u \, d\Omega^e = \ell \int_{\Omega^e} \tau_{DC} \mathbf{g} \cdot \nabla \mathbf{w} \beta \cdot \nabla u \, d\Omega^e =$$

$$= \ell \int_{\Omega^e} \tau_{DC} \nabla \mathbf{w} \mathbf{g} \otimes \beta \cdot \nabla u \, d\Omega^e$$

$$\mathbf{g} \otimes \beta = \mathbf{g} \cdot \beta^T = \begin{bmatrix} g_1 \beta_x & g_1 \beta_y \\ g_2 \beta_x & g_2 \beta_y \end{bmatrix}$$

Discretizando-se

$$K_{ADC}^e = \ell \int_{\Omega^e} \tau_{DC} \underline{\beta}^T \begin{bmatrix} g_1 \beta_x & g_1 \beta_y \\ g_2 \beta_x & g_2 \beta_y \end{bmatrix} \underline{\beta} \, d\Omega^e$$

(ix) Correção da carga consistente

$$\{ \underline{f}_{DC}^e \} = t \int_{\Omega^e} q_a N_b f_b d\Omega^e = t \int_{\Omega^e} \tau_{DC} g \cdot \nabla N_a N_b f_b d\Omega^e =$$

$$= t \int_{\Omega^e} \tau_{DC} \left[g_1 \frac{\partial N_a N_b f_b}{\partial x} + g_2 \frac{\partial N_a N_b f_b}{\partial y} \right] d\Omega^e$$

$$\underline{f}_{DC}^e = t \tau_{DC} g_1 \begin{Bmatrix} \gamma_{23} f_1 \\ \gamma_{31} f_2 \\ \gamma_{12} f_3 \end{Bmatrix} + t \tau_{DC} g_2 \begin{Bmatrix} \alpha_{32} f_1 \\ \alpha_{13} f_2 \\ \alpha_{21} f_3 \end{Bmatrix}$$

(x) Matrices Resultantes

$$\begin{cases} \underline{M}^e = \underline{M}_G + \underline{M}_{DG}^e + \underline{M}_{DC}^e \\ \underline{K}^e = \underline{K}_D^e + \underline{K}_{AG}^e + \underline{K}_{APG}^e + \underline{K}_{ADC}^e \quad (\underline{K}_{DPG}^e = \underline{K}_{DDC}^e = 0!) \\ \underline{F}^e = \underline{f}_G^e + \underline{f}_{PG}^e + \underline{f}_{DC}^e \end{cases}$$

$$\underline{M} = \sum_{e=1}^{nel} \underline{A}^e \underline{M}^e ; \quad \underline{K} = \sum_{e=1}^{nel} \underline{A}^e \underline{K}^e ; \quad \underline{F} = \sum_{e=1}^{nel} \underline{A}^e \underline{F}^e$$

$$\boxed{\underline{M} \underline{v} + \underline{K} \underline{d} = \underline{F}}$$

NÃO - LINEAR !



$$\boxed{\underline{M}(\underline{d}) \underline{v} + \underline{K}(\underline{d}) \underline{d} = \underline{F}(\underline{d})}$$

(1)

5. Solução das Eqs N-S Incompressíveis na Forma de Função de Corrente e Vorticidade.

5.1 Definição e Interpretação

Se u, v ser as velocidades então a FUNÇÃO DE CORRENTE $\Psi(x, y)$ é definida como:

$$\frac{\partial \Psi(x, y)}{\partial x} = -v ; \quad \frac{\partial \Psi(x, y)}{\partial y} = u$$

ou ainda;

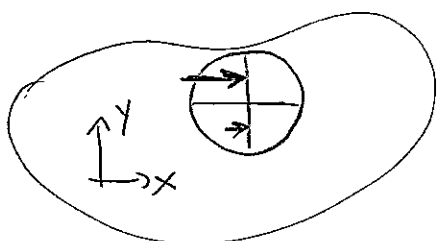
$$\underline{u}^T = \left\{ \frac{\partial \Psi}{\partial y}, -\frac{\partial \Psi}{\partial x} \right\}.$$

Já a VORTICIDADE é definida como:

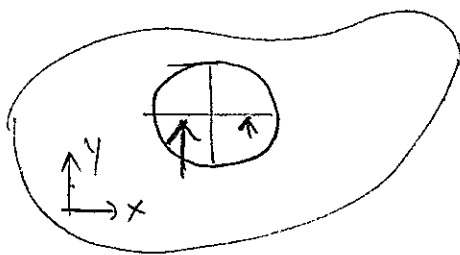
$$w(x, y) = \frac{\partial u}{\partial y} - \frac{\partial v}{\partial x}$$

Interpretação:

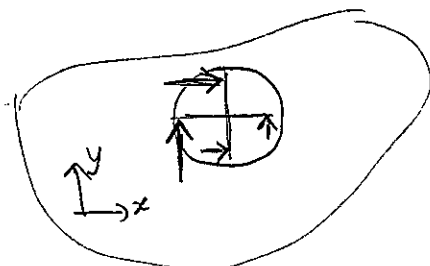
#1 VORTICIDADE w = mede a força dos vórtices.



$$\frac{\partial u}{\partial y} > 0$$



$$\frac{\partial v}{\partial x} < 0$$



$$w = \frac{\partial u}{\partial y} - \frac{\partial v}{\partial x}$$

#2. Função de corrente $\Psi(x,y)$

(2)

A condição de integrabilidade deve ser satisfeita

isto é:

$$\frac{\partial^2 \Psi}{\partial x \partial y} = \frac{\partial^2 \Psi}{\partial y \partial x}$$

Seja a equação de continuidade (incompressibilidade):

$$\frac{\partial u}{\partial x} + \frac{\partial v}{\partial y} = 0 \Rightarrow \frac{\partial}{\partial x} \left(\frac{\partial \Psi}{\partial y} \right) + \frac{\partial}{\partial y} \left(-\frac{\partial \Psi}{\partial x} \right) = 0 \Rightarrow$$

$$\frac{\partial^2 \Psi}{\partial x \partial y} = \frac{\partial^2 \Psi}{\partial y \partial x} \quad !$$

Linha de corrente: é a curva cuja tangente é paralela a $\underline{u} = h \underline{v}$ em cada um dos seus pontos $\{x, y\}$ em um tempo fixo t .

Logo, as linhas de corrente são as isolinhas

de Ψ . Podemos ver isso através de:

(i) Ao longo das isolinhas $\Psi_c(s)$, $\nabla \Psi \perp \dot{\Psi}_c(s)$, isto é:

$$\begin{aligned} 0 &= \frac{d\Psi(\Psi_c(s))}{ds} = \frac{\partial \Psi}{\partial x} \frac{dx_c(s)}{ds} + \frac{\partial \Psi}{\partial y} \frac{dy_c(s)}{ds} = \\ &= \left(\frac{\partial \Psi}{\partial x}, \frac{\partial \Psi}{\partial y} \right) \cdot \begin{pmatrix} \dot{x}_c(s) \\ \dot{y}_c(s) \end{pmatrix} = \nabla \Psi \cdot \dot{\Psi}_c(s) \end{aligned}$$

$$(ii) \quad \nabla \psi \perp \underline{u}$$

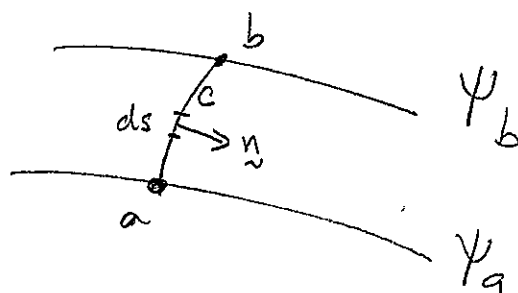
$$\nabla \psi \cdot \begin{pmatrix} u \\ v \end{pmatrix} = \left(\frac{\partial \psi}{\partial x}, \frac{\partial \psi}{\partial y} \right) \cdot \begin{pmatrix} u \\ v \end{pmatrix} = (-v, u) \cdot \begin{pmatrix} u \\ v \end{pmatrix} =$$

$$-vu + uv = 0$$

$$(iii) \text{ De (i) e (ii) } \Rightarrow \dot{\psi}_c(s) \parallel \underline{u} !$$

(iv) $m^t = \psi_b - \psi_a \equiv$ fluxo de massa entre 2 linhas de corrente ψ constante!

$$m^t = \int_c \rho \underline{u} \cdot \underline{n} \, ds$$



Escoamento incompressível: $\rho = \text{cte}$

Para o sistema adimensionalizado ($\rho = 1$) temos:

$$m^t = \int_c \underline{u} \cdot \underline{n} \, ds = \int_a^b (u, v) \begin{pmatrix} dy \\ -dx \end{pmatrix} = \int_a^b u \, dy - \int_a^b v \, dx =$$

$$= \int_a^b \left(\frac{\partial \psi}{\partial y} dy + \frac{\partial \psi}{\partial x} dx \right) = \int_a^b d\psi = \psi_b - \psi_a$$

(4)

5.2. Equações de N-S na Formulação

Vorticidade - Funções de Corrente:

N-S em variáveis primitivas

$$\rho \left(\frac{\partial \underline{u}}{\partial t} + \underline{u} \cdot \nabla \underline{u} \right) - \nabla \cdot \underline{\sigma} = 0 \quad \text{em } \Omega \times [0, T]$$

$$\nabla \cdot \underline{u} = 0 \quad \text{em } \Omega \times [0, T]$$

$$\underline{\sigma} = -p \underline{I} + 2\mu \underline{\varepsilon}(\underline{u})$$

$$\underline{\varepsilon}(\underline{u}) = \frac{(\nabla \underline{u} + \nabla^T \underline{u})}{2}$$

c. contorno:

$$\underline{u} = \underline{g} \quad \text{em } \Gamma_g$$

$$\underline{n} \cdot \underline{\sigma} = \underline{h} \quad \text{em } \Gamma_h$$

Considere agora o caso adimensionalizado
em 2D:

$$\frac{\partial u}{\partial t} + u \frac{\partial u}{\partial x} + v \frac{\partial u}{\partial y} + \frac{\partial p}{\partial x} = \frac{1}{Re} \left(\frac{\partial^2 u}{\partial x^2} + \frac{\partial^2 u}{\partial y^2} \right) \quad (*)$$

$$\frac{\partial v}{\partial t} + u \frac{\partial v}{\partial x} + v \frac{\partial v}{\partial y} + \frac{\partial p}{\partial y} = \frac{1}{Re} \left(\frac{\partial^2 v}{\partial x^2} + \frac{\partial^2 v}{\partial y^2} \right) \quad (**)$$

$$\frac{\partial u}{\partial x} + \frac{\partial v}{\partial y} = 0$$

Derivando - te (*) $p / \frac{\partial}{\partial y}$ e (***) $p / \frac{\partial}{\partial x}$: (5)

$$\frac{\partial u}{\partial t \partial y} + \frac{\partial u}{\partial y} \frac{\partial u}{\partial x} + u \frac{\partial^2 u}{\partial x \partial y} + \frac{\partial v}{\partial y} \frac{\partial u}{\partial y} + v \frac{\partial^2 u}{\partial y^2} + \frac{\partial^2 p}{\partial x \partial y} =$$

$$= \frac{1}{Re} \frac{\partial}{\partial y} ()$$

$$\frac{\partial v}{\partial t \partial x} + \frac{\partial u}{\partial x} \frac{\partial v}{\partial x} + u \frac{\partial^2 v}{\partial x^2} + \frac{\partial v}{\partial x} \frac{\partial v}{\partial y} + v \frac{\partial^2 v}{\partial y \partial x} + \frac{\partial^2 p}{\partial y \partial x} =$$

$$= \frac{1}{Re} \frac{\partial}{\partial x} ()$$

Subtraindo-se uma da outra:

$$\frac{\partial}{\partial t} \left(\frac{\partial u}{\partial y} - \frac{\partial v}{\partial x} \right) + \frac{\partial u}{\partial x} \left(\frac{\partial u}{\partial y} - \frac{\partial v}{\partial x} \right) + u \left(\frac{\partial^2 u}{\partial x \partial y} - \frac{\partial^2 v}{\partial x^2} \right) +$$

$$\frac{\partial v}{\partial y} \left(\frac{\partial u}{\partial y} - \frac{\partial v}{\partial x} \right) + v \left(\frac{\partial^2 u}{\partial y^2} - \frac{\partial^2 v}{\partial y \partial x} \right) = \frac{1}{Re} \left[\frac{\partial}{\partial x} () - \frac{\partial}{\partial y} () \right]$$

Portem

$$w = \frac{\partial u}{\partial y} - \frac{\partial v}{\partial x} ; \quad \frac{\partial w}{\partial x} = \frac{\partial^2 u}{\partial y \partial x} - \frac{\partial^2 v}{\partial x^2}$$

$$\frac{\partial w}{\partial t} + \frac{\partial u}{\partial x} w + u \frac{\partial w}{\partial x} + \frac{\partial v}{\partial y} w + v \frac{\partial w}{\partial y} = \frac{1}{Re}$$

$$\left(\frac{\partial^2 w}{\partial x^2} + \frac{\partial^2 w}{\partial y^2} \right)$$

Como $w \left(\frac{\partial u}{\partial x} + \frac{\partial v}{\partial y} \right) = 0$, temos

$$\frac{\partial w}{\partial t} + u \frac{\partial w}{\partial x} + v \frac{\partial w}{\partial y} = \frac{1}{Re} \left(\frac{\partial^2 w}{\partial x^2} + \frac{\partial^2 w}{\partial y^2} \right)$$

ou ainda,

$$\boxed{\frac{\partial w}{\partial t} + \underline{u} \cdot \nabla w = \frac{1}{Re} \nabla^2 w} \quad (*)$$

↑ Equação de Transporte de Vorticidade

Substituindo a definição de ψ na
definição de w , temos:

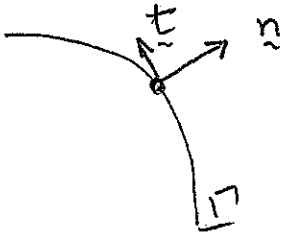
$$w(x,y) = \frac{\partial^2 \psi}{\partial y^2} - \frac{\partial}{\partial x} \left(- \frac{\partial \psi}{\partial x} \right) = \frac{\partial^2 \psi}{\partial y^2} + \frac{\partial^2 \psi}{\partial x^2}$$

$$\boxed{\nabla^2 \psi = w} \quad (**)$$

Logo $(*)$ e $(**)$ formam um sistema acoplado
de PDE não-lineares no qual a pressão foi
eliminada e a condição de continuidade é
satisfeita automaticamente.

(7)

Condições de Contorno para
Formular as Eqs N-S em $\omega \times \psi$:



\underline{n} = normal unitária externa = $\begin{Bmatrix} n_x \\ n_y \end{Bmatrix}$
 \underline{t} = tangente unitária externa = $\begin{Bmatrix} n_y \\ -n_x \end{Bmatrix}$

$$\begin{cases} u_n = \underline{n} \cdot \underline{u} = n_x \frac{\partial \psi}{\partial y} - n_y \frac{\partial \psi}{\partial x} = \frac{\partial \psi}{\partial t} \\ u_t = \underline{t} \cdot \underline{u} = \frac{\partial \psi}{\partial n} \end{cases}$$

• Nas- deslizeamento: $u_n = \bar{u}_n \Rightarrow \frac{\partial \psi}{\partial t} = -\bar{u}_n$

Escoamentos viscosos: $u_t = \bar{u}_t \Rightarrow \frac{\partial \psi}{\partial n} = \bar{u}_t$

• Simetria

$$u_n = 0 \Rightarrow \frac{\partial \psi}{\partial t} = 0$$

$$\frac{\partial u_t}{\partial n} = 0 \Rightarrow \omega = 0$$

• Tensão nula (condição de saída)

$$\begin{cases} \sigma_n = \underline{n} \cdot \underline{\sigma} \cdot \underline{n} = 0 \\ \sigma_t = \underline{n} \cdot \underline{\sigma} \cdot \underline{t} = 0 \end{cases}$$

\neq

$$\begin{cases} \frac{\partial \omega}{\partial n} = 0 \\ \frac{\partial \psi}{\partial n} = 0 \end{cases}$$

▷ saída tem que estar longe o bastante para não dar problemas.

Formulação Semi-discreta de EF

- Eq. Vorticidade

$$\int_{\Omega} w^h \left(\frac{\partial w^h}{\partial t} + \underline{u}^h \cdot \nabla w^h \right) d\Omega + \int_{\Omega} \frac{1}{Re} \nabla w^h \cdot \nabla w^h d\Omega +$$

$$\sum_e \int_{\Omega^e} \tau_{SUPG} \underline{u}^h \cdot \nabla w^h \left(\frac{\partial w^h}{\partial t} + \underline{u}^h \cdot \nabla w^h - \frac{1}{Re} \nabla^2 w^h \right) =$$

$$\int_{\Gamma_h} w^h h d\Gamma \quad ; \quad h \equiv \text{c.c. natural de } w^h$$

- Eq. Função de Corrente

$$\int_{\Omega} \nabla w^h \cdot \nabla \psi^h d\Omega - \int_{\Omega} w^h \omega^h d\Omega = \int_{\Gamma} w^h H d\Gamma \quad ;$$

$$H \equiv \text{c.c. natural de } \psi$$

- Discretização de EF

$$w^h = \sum N_i(x) w_i(t)$$

$$\psi^h = \sum N_i(x) \psi_i(t)$$

$$w^h = \sum N_i(x) c_i$$

(9)

• Equações Semi-Discretas

$$\begin{cases} \underline{\tilde{M}} \underline{\tilde{\omega}} + \underline{\tilde{N}}(\underline{\tilde{\omega}}, \underline{\tilde{\psi}}) = \underline{\tilde{F}}_{\omega} \\ -\underline{\tilde{\omega}} + \underline{\tilde{K}} \underline{\tilde{\psi}} = \underline{\tilde{F}}_{\psi} \end{cases}$$

$\underline{\tilde{N}}(\underline{\tilde{\omega}}, \underline{\tilde{\psi}}) \equiv$ vetor não-linear de $\underline{\tilde{\omega}}$ e $\underline{\tilde{\psi}}$

A não-linearidade vem dos termos:

$$\textcircled{1} \int_{\Omega} w^h \underline{u}^h \cdot \nabla w^h d\Omega$$

$$\textcircled{2} \int_{\Omega} \epsilon \tau_{\text{supg}} \underline{u}^h \cdot \nabla w^h () d\Omega$$

Vamos olhar com detalhe $\textcircled{1}$:

$$\textcircled{1} \int_{\Omega} N_i \left(\underbrace{\frac{\partial N_j}{\partial y} \psi_j}_{f} \frac{\partial N_i}{\partial x} w_j + \underbrace{\frac{\partial N_j}{\partial x} \psi_j}_{g} \frac{\partial N_i}{\partial y} w_j \right) d\Omega, \quad i=1,2,\dots,n_{\text{nos}}$$

Para i fixo:

$$\frac{\partial f}{\partial w_j} = \int_{\Omega} N_i \left(\frac{\partial N_j}{\partial y} \psi_j \right) \frac{\partial N_i}{\partial x} d\Omega$$

$$\frac{\partial g}{\partial w_j} = \dots$$

$$\frac{\partial f}{\partial \psi_j} = \int_{\Omega} N_i \left(\frac{\partial N_i}{\partial y} \frac{\partial N_j}{\partial x} w_j \right) d\Omega$$

$$\frac{\partial g}{\partial \psi_j} = \dots$$

Portanto:

$$\begin{bmatrix} \underline{\tilde{M}} & \underline{\tilde{0}} \\ \underline{\tilde{0}} & \underline{\tilde{0}} \end{bmatrix} \begin{Bmatrix} \underline{\tilde{\dot{w}}} \\ \underline{\tilde{0}} \end{Bmatrix} + \begin{bmatrix} \frac{\partial \underline{\tilde{N}}}{\partial \underline{\tilde{w}}} & \frac{\partial \underline{\tilde{N}}}{\partial \underline{\tilde{\psi}}} \\ \underline{\tilde{0}} & \underline{\tilde{K}} \end{bmatrix} \begin{Bmatrix} \underline{\tilde{w}} \\ \underline{\tilde{\psi}} \end{Bmatrix} = \begin{Bmatrix} \underline{\tilde{F}}_w \\ \underline{\tilde{F}}_\psi \end{Bmatrix}$$

Agora, se descartarmos o termo de acoplamento $\frac{\partial \underline{\tilde{N}}}{\partial \underline{\tilde{\psi}}}$, e introduzirmos um esquema iterativo para resolvermos o sistema não-linear, temos:

para $i=1, 2, \dots$

$$\underline{\tilde{M}} \underline{\tilde{\dot{w}}}^{(i)} + \frac{\partial \underline{\tilde{N}}}{\partial \underline{\tilde{w}}}(\underline{\tilde{u}}^{(i)}) \underline{\tilde{w}}^{(i)} = \underline{\tilde{F}}_w$$

$$\underline{\tilde{K}} \underline{\tilde{\psi}}^{(i+1)} = \underline{\tilde{F}}_\psi^{(i)}$$

$$\underline{\tilde{u}}^{(i+1)} = \underline{\tilde{B}} \underline{\tilde{\psi}}^{(i+1)}; \quad \underline{\tilde{B}} = \begin{bmatrix} \frac{\partial \underline{\tilde{N}}}{\partial \underline{\tilde{\psi}}} \\ -\frac{\partial \underline{\tilde{N}}}{\partial \underline{\tilde{y}}} \end{bmatrix}$$

→ fim para.

(11)

Agora note que

$$\frac{\partial \tilde{N}}{\partial \tilde{w}}(\underline{u}^{(i)}) = \tilde{K} \tilde{w}^{(i)} \quad \left(\frac{\partial f}{\partial w_j} = \int \tilde{N}_i \underline{u}^{(i)} \frac{\partial \tilde{N}_j}{\partial x} w_j dx \right)$$

Porém, $\underline{u}^{(i)}$ é uma ordem de precisão inferior a $\underline{w}, \underline{\psi}$. Para aumentarmos a ordem de precisão de $\underline{u}^{(i)}$ vamos introduzir um formulador auxiliar, supondo $\underline{u}^{(i)}$ um campo de velocidades aproximado como:

$$\underline{\bar{u}}^{(i)} = \sum \tilde{N}_j \underline{\bar{u}}_j \quad ; \quad \underline{\bar{w}} = \sum \tilde{N}_j \underline{\bar{e}}_j$$

e a formulador variacional.

$$\int_{\Omega} \underline{\bar{w}} \underline{\bar{u}}^{(i)} d\Omega = \int_{\Omega} \underline{\bar{w}} \underline{u}^{(i)} d\Omega \quad , \quad c.c. \quad \underline{\bar{u}} = \underline{u}$$

logo:

$$\underline{\bar{M}} \underline{\bar{u}}^{(i)} = \underline{\bar{F}}$$

onde

$$\underline{\bar{M}} = \sum_{e=1}^{n_e} \underline{\bar{m}}^e \quad ; \quad [\underline{\bar{m}}^e]_{ij} = \int_{\Omega} \tilde{N}_i \tilde{N}_j d\Omega$$

$$\underline{\bar{F}} = \sum_{e=1}^{n_e} \underline{\bar{f}}^e \quad ; \quad [\underline{\bar{f}}^e]_j = \int_{\Omega} \tilde{N}_i \underline{\bar{B}} \cdot \underline{\psi}^{(i)} d\Omega$$

Introduzindo-se agora a discretização temporal de $\dot{\omega}$ pelo método trapezoidal generalizado chegamos ao seguinte algoritmo bloco-iterativo preditor multicometer para avançar do tempo n p/ $n+1$:

Dados $\underline{\omega}_n, \underline{\dot{\omega}}_n, \underline{\psi}_n$ e $\underline{\bar{u}}_n$

$i=0$:

$$\left. \begin{aligned} \underline{\omega}_{n+1}^{(0)} &= \underline{\bar{\omega}}_{n+1} = \underline{\omega}_n + (1-\alpha)\Delta t \underline{\dot{\omega}}_n \\ \underline{\dot{\omega}}_{n+1}^{(0)} &= \underline{0} \end{aligned} \right\} \text{PREDIÇ\u00c3O}$$

para $i=0, 1, 2, \dots$

BLOCO 1

$$\underline{M}^* \Delta \underline{\dot{\omega}} = \underline{F}^*$$

$$\underline{M}^* = \underline{M}(\underline{\dot{\omega}}_{n+1}^{(i)}) + \alpha \Delta t \underline{K}(\underline{\omega}_{n+1}^{(i)}, \underline{\bar{u}}_{n+1}^{(i)})$$

$$\underline{F}^* = \underline{F}_{\omega} - \underline{M}(\underline{\dot{\omega}}_{n+1}^{(i)}) \underline{\dot{\omega}}_{n+1}^{(i)} - \underline{K}(\underline{\omega}_{n+1}^{(i)}, \underline{\bar{u}}_{n+1}^{(i)}) \underline{\omega}_{n+1}^{(i)}$$

$$\underline{\dot{\omega}}_{n+1}^{(i+1)} = \underline{\dot{\omega}}_{n+1}^{(i)} + \alpha \Delta t \Delta \underline{\dot{\omega}}$$

$$\underline{\omega}_{n+1}^{(i+1)} = \underline{\omega}_{n+1}^{(i)} + \alpha \Delta t \Delta \underline{\omega}$$

} CORREÇ\u00c3O

Bloco 2

$$\bar{K}_{\sim} \psi_{\sim n+1}^{(i+1)} = \bar{F}_{\sim}(\omega_{\sim n+1}^{(i+1)})$$

Bloco 3

$$\bar{M}_{\sim} \bar{u}_{\sim n+1}^{(i+1)} = \bar{F}_{\sim}(\psi_{\sim n+1}^{(i+1)})$$

fim para.

OBS:

- # É claro que o bloco 1 acomoda um esquema I/E.
- # Podemos solucionar os blocos 1, 2 e 3 de forma iterativa.